

Monitoring a předpověď počasí

RNDr. Milan Šálek, Ph.D.

Amper Meteo

milan.salek@email.cz

Předpověď počasí

- ▶ Předpověď počasí – předpověď vyjadřující budoucí stav povětrnostních podmínek (*Meteorologický slovník*)
- ▶ Meteorologická předpověď je fyzikální úloha, jejíž cílem je vytvořit nejpravděpodobnější scénář nebo scénáře budoucího vývoje atmosféry v časovém horizontu typicky několika hodin, dnů až týdnů, max. měsíců. Využívá základní zákony klasické fyziky (zákon pohybu, zákony termodynamiky) a řeší je pomocí matematiky, případně s pomocí znalostí chování synoptických objektů (tlakové útvary, fronty, bouřky).
 - U dlouhodobé předpovědi se využívají více klimatické údaje a vazby mezi jednotlivými složkami klimatického systému (např. teplotou povrchu oceánů a průměrnou teplotou v blízké oblasti).

Měřítka meteorologických dějů

Úspěšnost meteorologické předpovědi závisí mj. na charakteristické velikosti (měřítku) jevu či procesu v atmosféře. Čím je daný proces či jev větší, tím větší je využitelný časový předstih předpovědi, který zhruba odpovídá charakteristické délce životního cyklu jevu (srv. cyklony s životností dnů např. s bouřkami, které mají typickou životnost v řádu desítek minut, případně několika hodin).

Rozdělení předpovědí počasí

- Podle období, místa a účelu
- Také podle převažující technologie či zdrojových údajů
 - (numerické modely, pozorování, metody dálkové detekce apod.)

Rozdělení předpovědí počasí

I. Podle období, na které je vydána:

- 1) **Velmi krátkodobá 0–12h, nowcasting 0–2h.**
 - využití numerických modelů, metod dálkové detekce (radary, družice, systémy detekce blesků), koncepčních modelů (znalosti „chování“ určitých atmosférických struktur)
- 2) **Krátkodobá: 1–3 dny (1–2 dny)**
 - dominantní využití numerických modelů, částečně i koncepčních modelů

Rozdělení předpovědí počasí

- I. Podle období, na které je vydána (pokr.):
- 3) Střednědobá: 3–15 dnů (2–15 dnů)
 - dominantní využití numerických modelů, využití poznatků z teorie deterministického chaosu k odhadu pravděpodobnosti jednotlivých scénářů vývoje
 - 4) Dlouhodobá
 - měsíční, sezónní – využívá vlivu některých faktorů na dlouhodobý režim počasí (významný je vliv teploty povrchu oceánů, zejména v tropech, a dále vliv obsahu vlhkosti v půdě a tloušťka sněhové pokryvky)

Rozdělení předpovědí počasí

I. Podle období, na které je vydána (pokr.):

- 5) Předpověď klimatu
 - předpověď dlouhodobého režimu počasí (klimatu) v časovém horizontu typicky roky až staletí, většinou desetiletí

Pozor na záměnu s *klimatickou „předpovědí“* počasí, tj. rámcovou „předpovědí“ (odhadem počasí) na základě znalosti klimatu dané oblasti

Rozdělení předpovědí počasí

II. Podle účelu:

- 1) **Všeobecná** – určená pro nejširší veřejnost, prezentovaná ve sdělovacích prostředcích
- 2) **Speciální** – pro specializované uživatele, jimž se přizpůsobuje obsah i forma předpovědi (předpovědi pro letectví, údržbu silnic, energetiku, zemědělské práce, stavebnictví atd.)

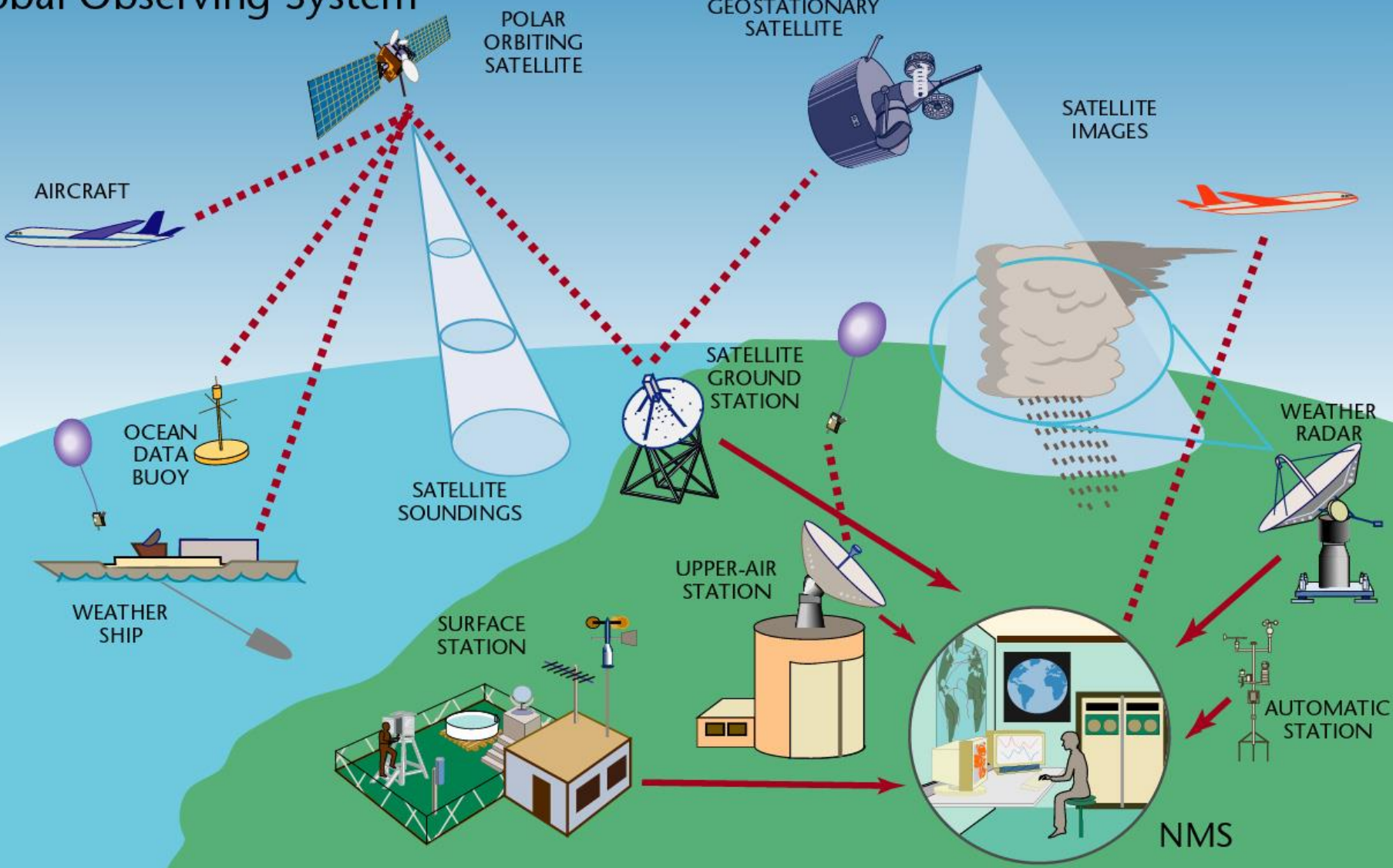
Rozdělení předpovědí počasí

III. Podle místa / oblasti:

- 1) **Oblastní** (pro administrativně nebo jinak specifikované území)
- 2) **Liniová (traťová)** – speciální předpověď zejména pro sféru dopravy – letectví, silnice.
- 3) **Místní** – speciální předpověď pro určitou lokalitu (dnes je velmi rozšířená v mobilních zařízeních)

Měřená data pro předpověď počasí

Global Observing System



Pozemní stanice (zprávy SYNOP, BUFR)

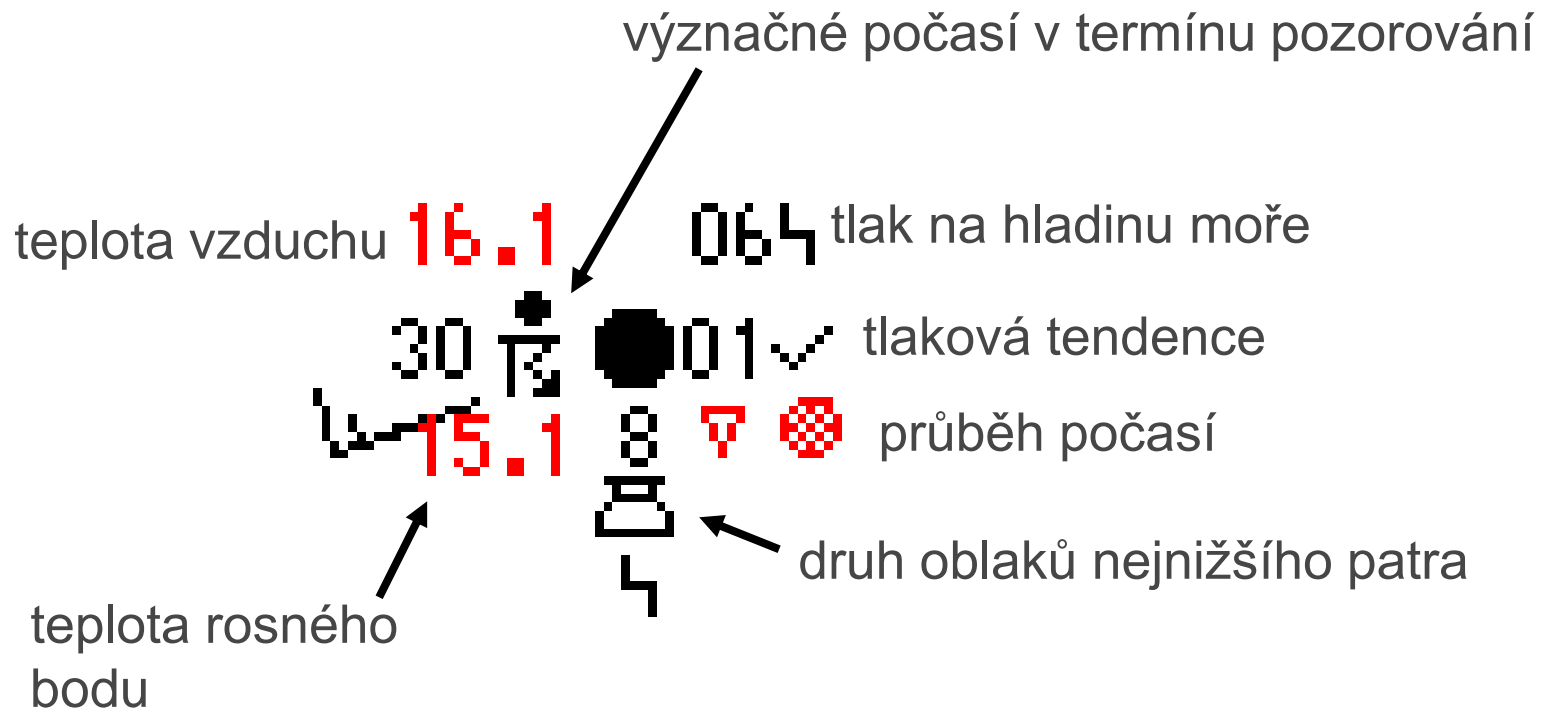
Síť pozemních (oceánských) stanic o počtu kolem 10000: alespoň každé 3 hodiny, nejčastěji každou hodinu zpráva, t.č. SYNOP (přechází se na kód BUFR):

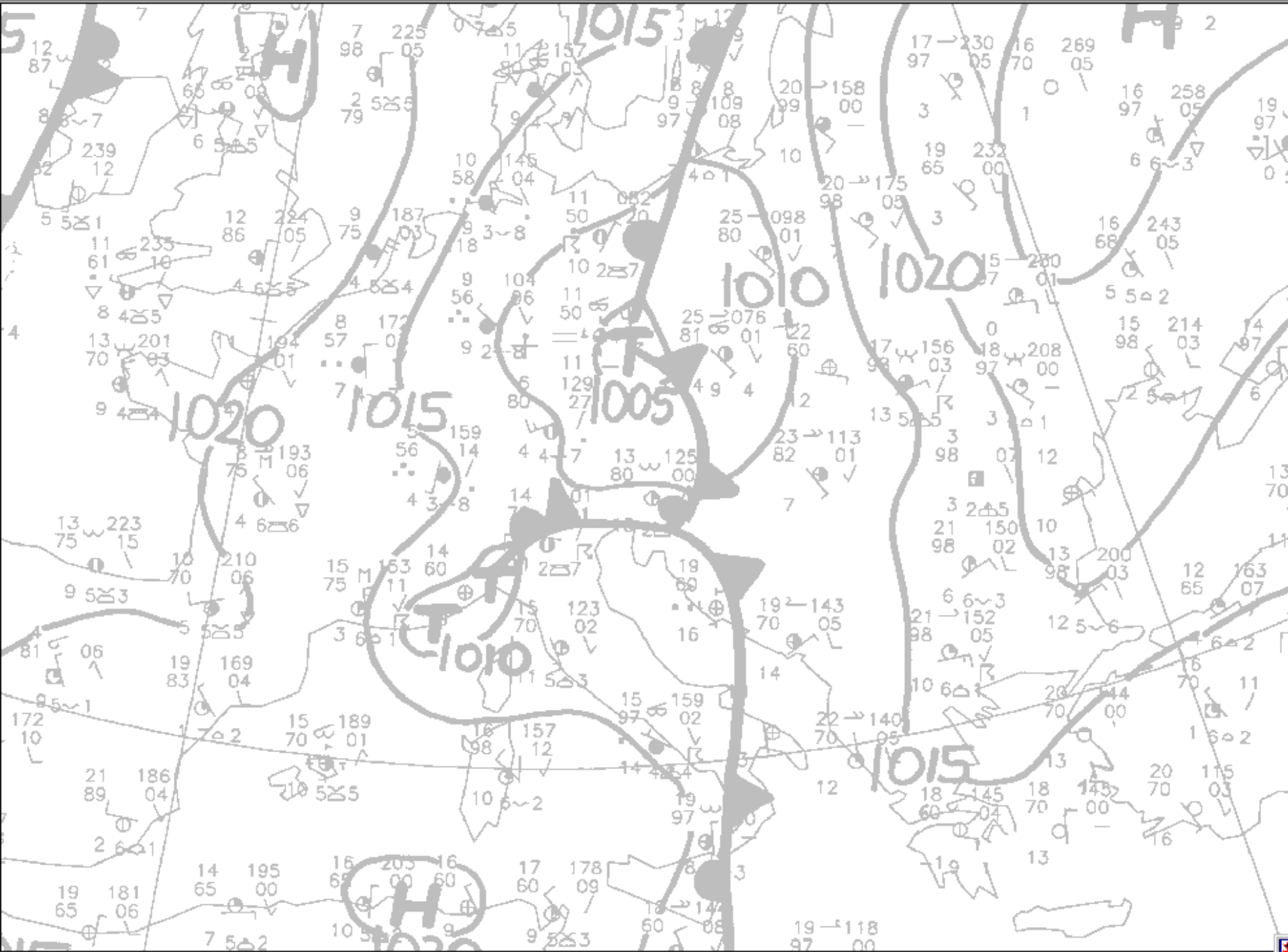
11624 11760 79901 10187 20179 39906 40184
57006 60051 72598 87500
333 55044 87656
555 395// =

Meteorologická stanice Svatouch



Zápis stavu a průběhu počasí na přízemních povětrnostních mapách





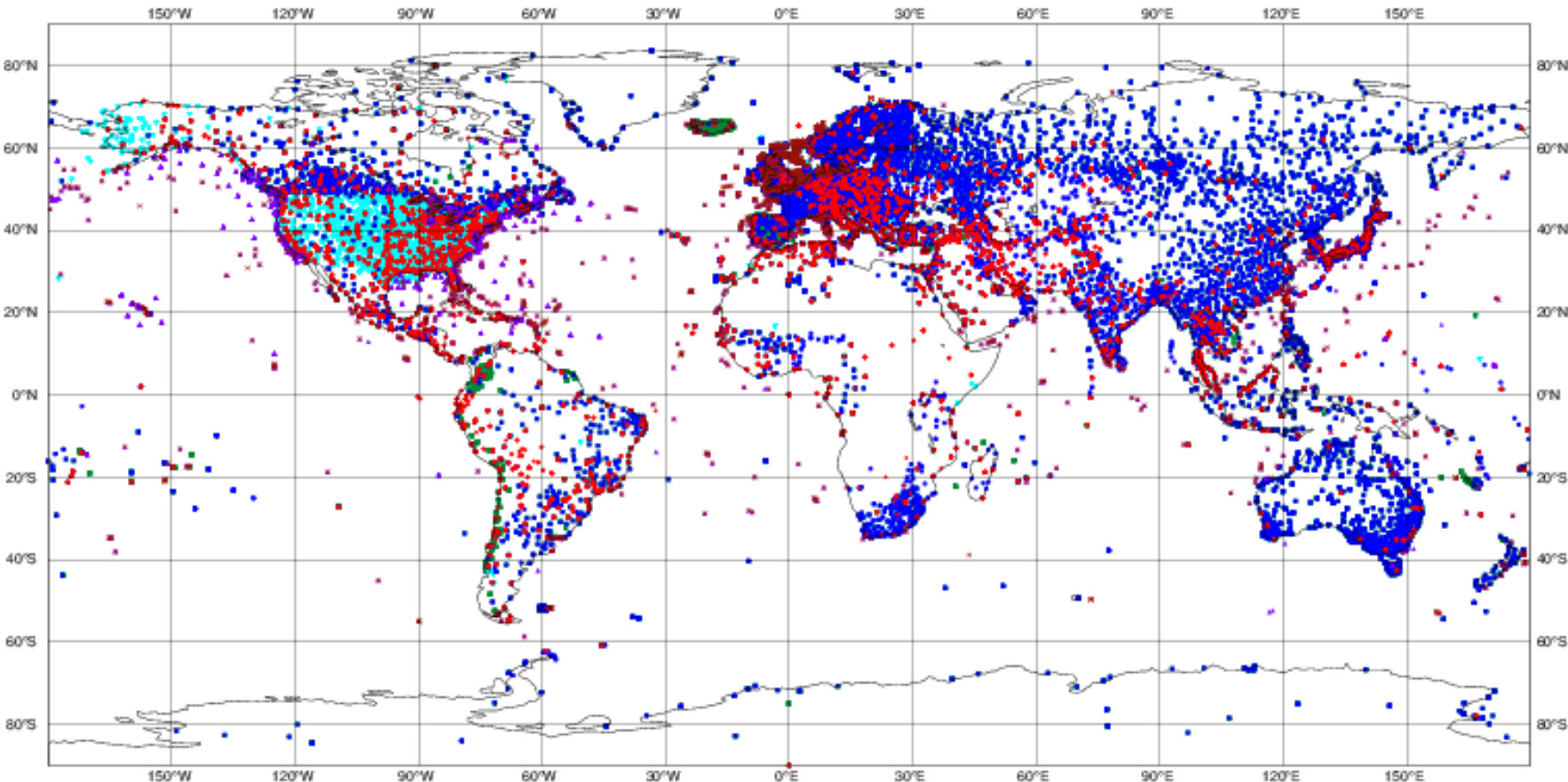
Illustrace rozložení pozemních synoptických stanic

ECMWF data coverage (all observations) - SYNOP-SHIP-METAR

06/11/2017 00

Total number of obs = 100498

- SYNOP-LAND TAC (25146)
- SYNOP-SHIP BUFR (2184)
- METAR (14993)
- SYNOP-LAND BUFR (25151)
- SHIP-TAC (3832)
- METAR-AUTO (29192)

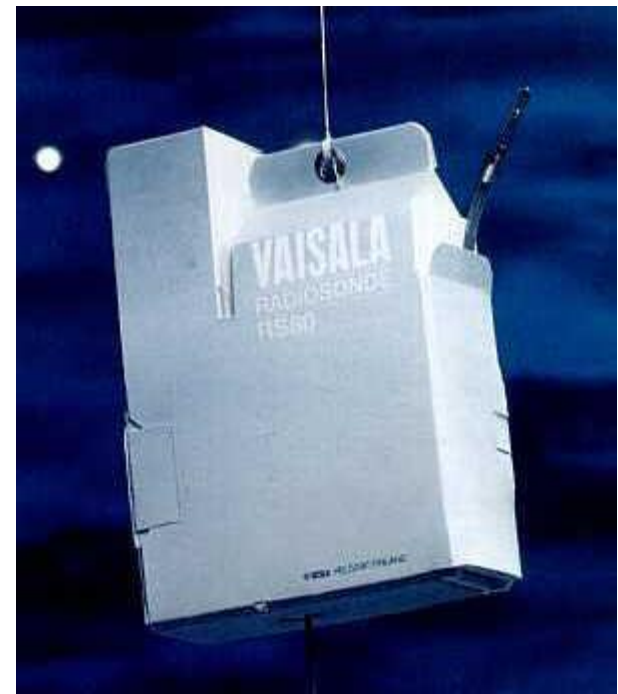


Podklady pro tvorbu předpovědi počasí

2) **Informace z aerologických stanic:**
600–800 stanic na Zemi měří výškový profil základních meteorologických prvků (teplota, vlhkost, tlak vzduchu, vítr)
alespoň 1x denně



Vypouštění sondy



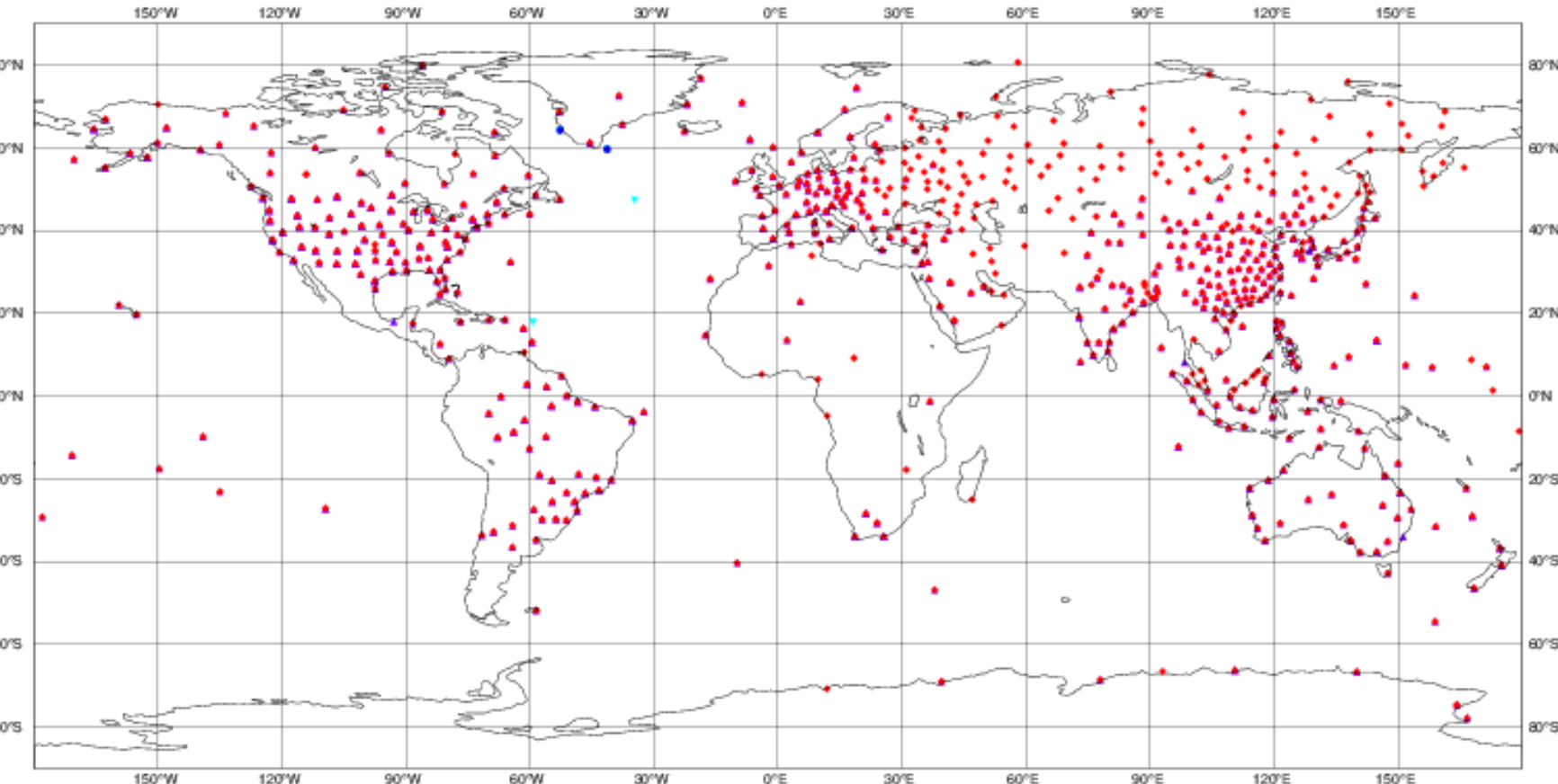
Illustrace rozložení aerologických stanic

ECMWF data coverage (all observations) - RADIOSONDE

06/11/2017 00

Total number of obs = 1387

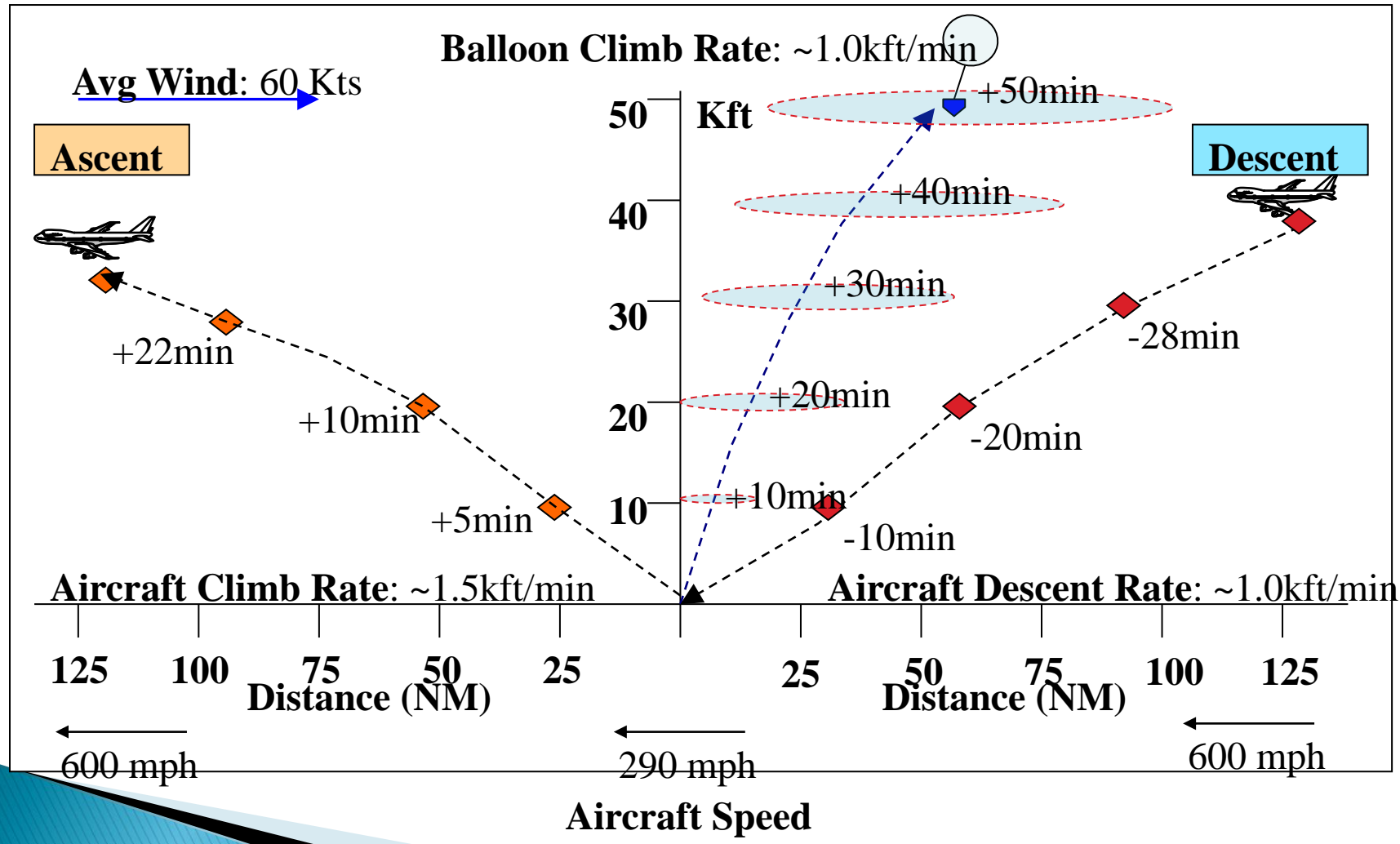
- TEMP-SHIP TAC (2)
- TEMP-Land TAC (674)
- ▲ TEMP-Land (BUFR) (707)
- ▼ TEMP-Ship (BUFR) (4)



Další zdroje přímo měřených meteorologických údajů

- ▶ Účelové stanice dalších organizací (problémy s kvalitou dat)
- ▶ Údaje z letadel (zprávy AMDAR – Aircraft Meteorological DAta and Reporting)

AMDAR vs. balonové sondáže



Rozložení data z letadel (AMDAR)

ECMWF data coverage (all observations) - AIRCRAFT

06/11/2017 00

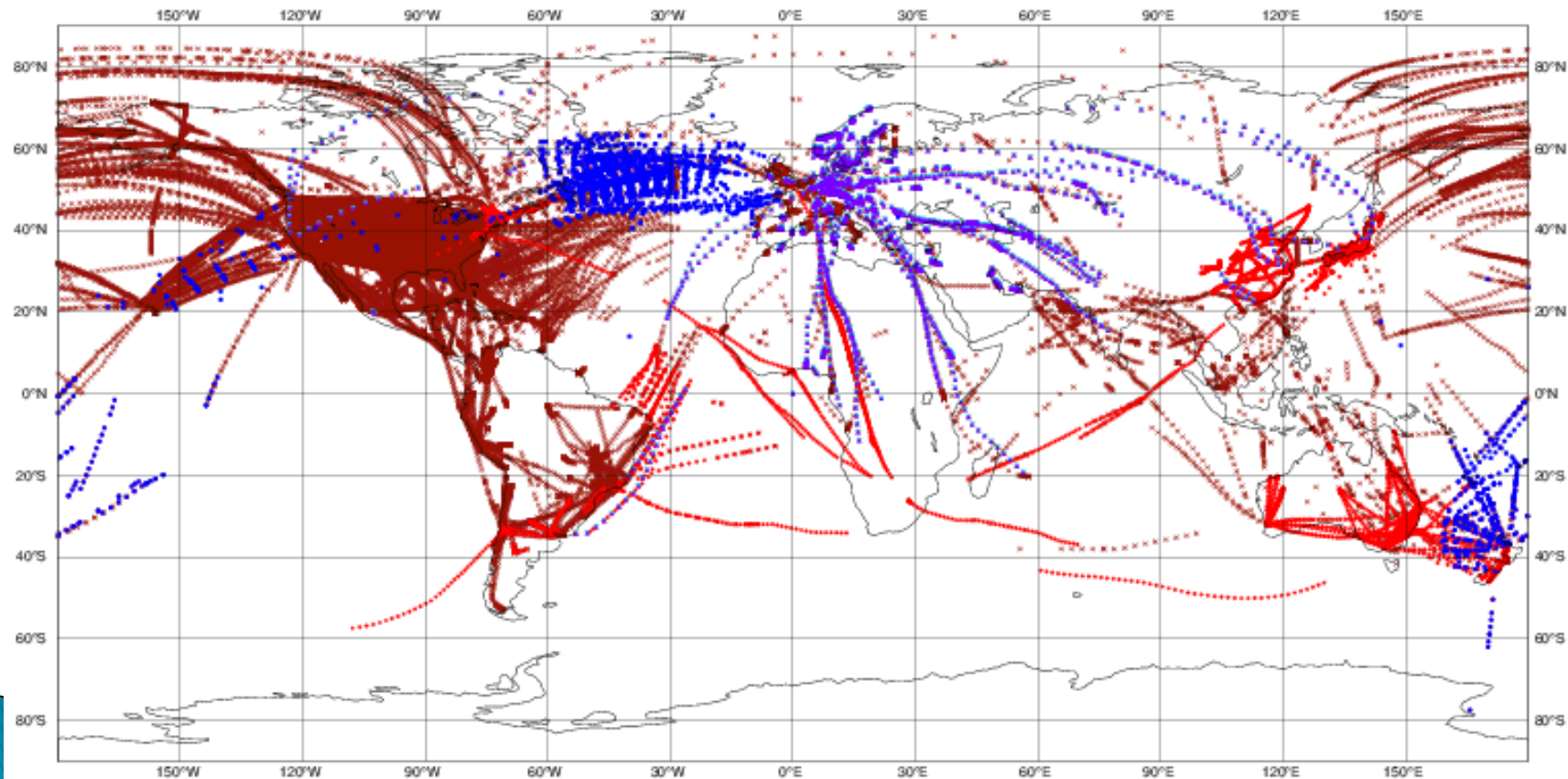
Total number of obs = 212821

• AIREP (2872)
• WIGOS AMDAR (189715)

• AMDAR (13206)

• ACARS (3514)

• ACARs with mixing ratio (3514)

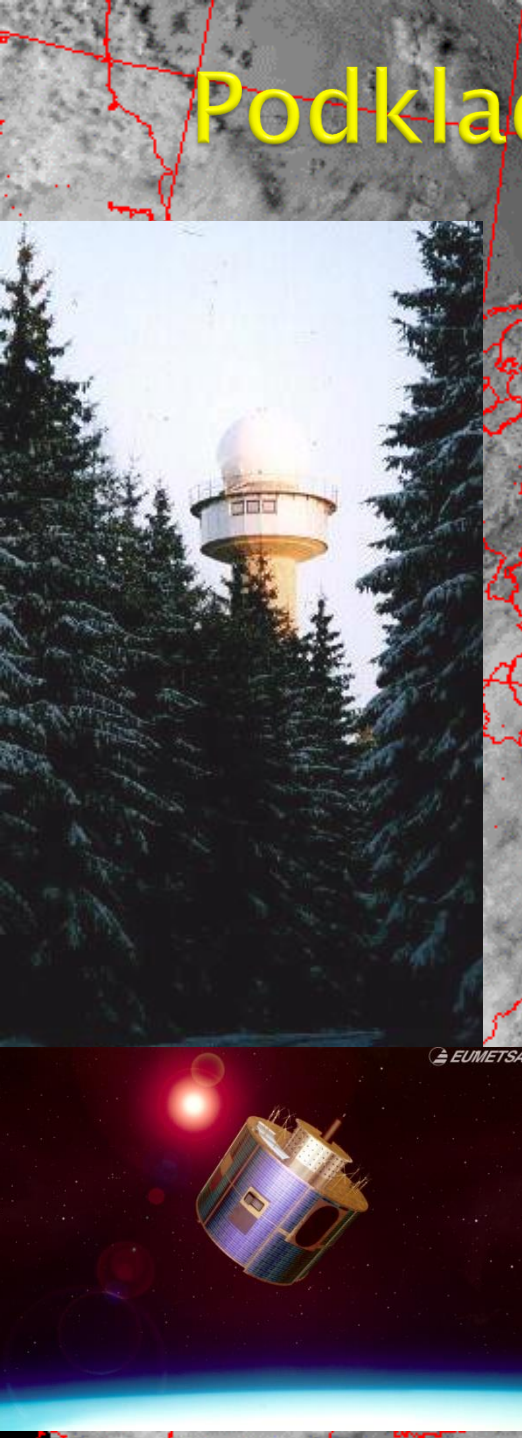
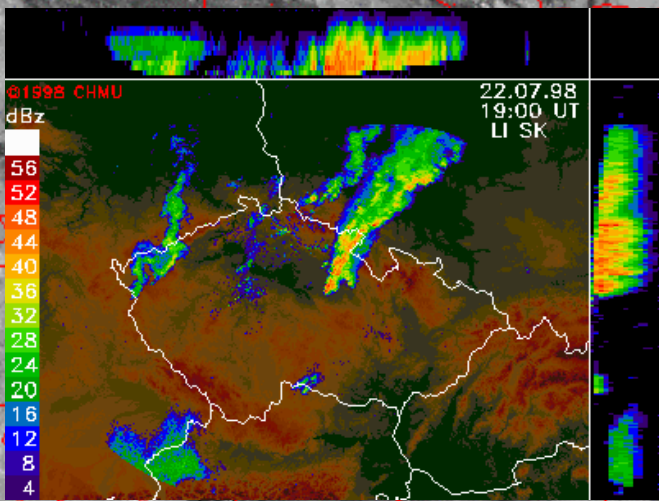


Podklady pro tvorbu předpovědi počasí (pokrač.)

24.08. 14:53

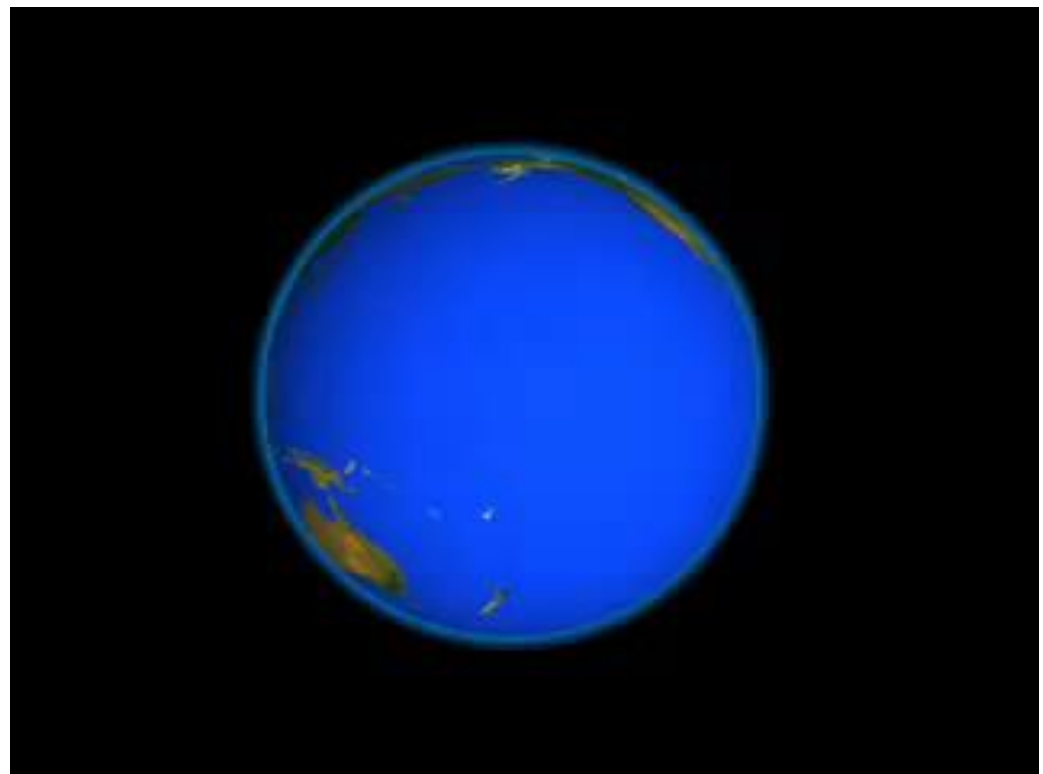
NOAA ch 2

3) Informace získané metodami dálkové detekce (meteorologické družice, meteorologické radary)



Metody dálkové detekce

- ▶ meteorologické družice
- ▶ meteorologické radary
- ▶ sodary, lidary



Geostacionární meteorologické družice

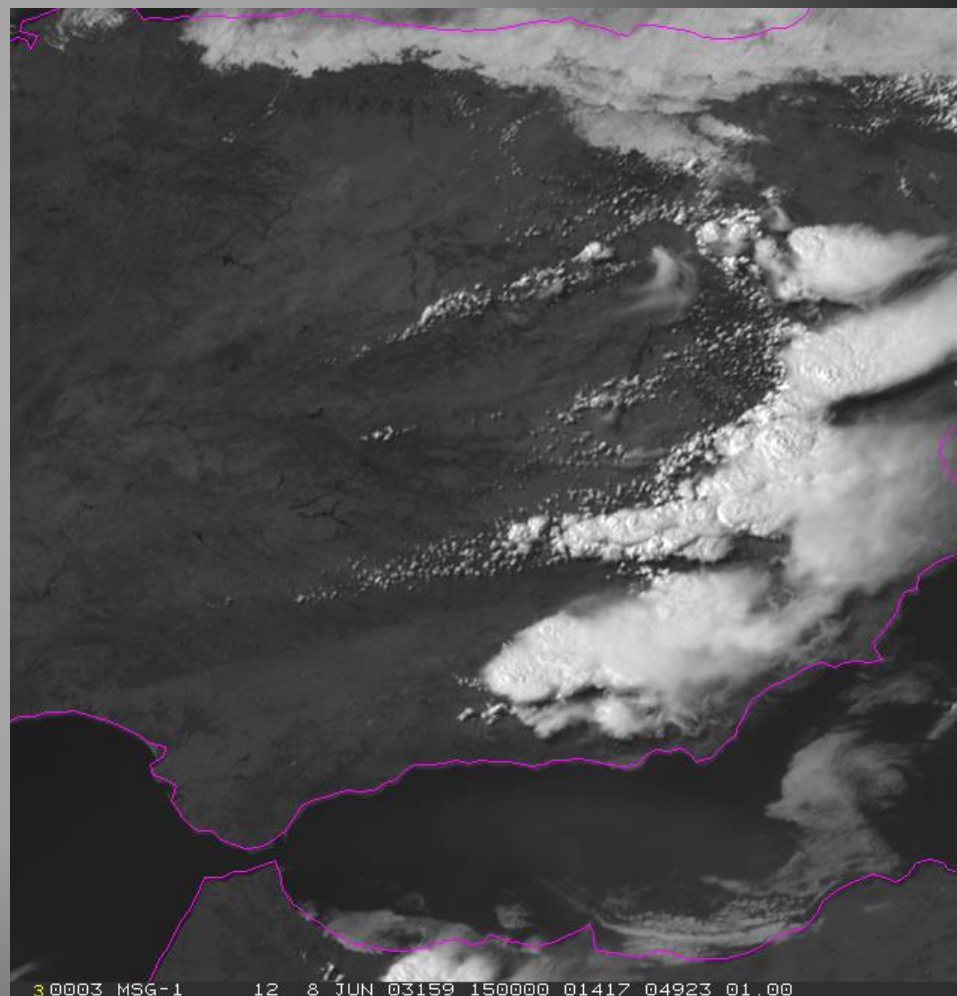
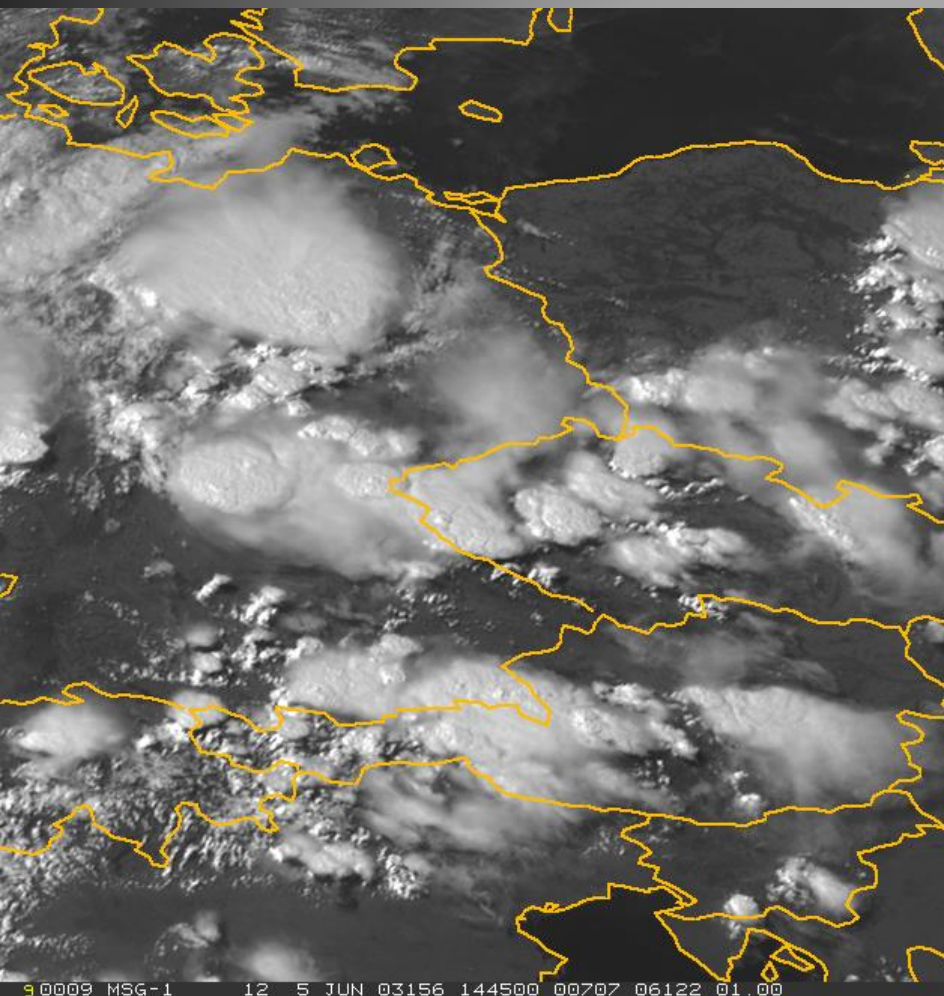


- METEOSAT 8 (od r. 2003; 41.5° E)
- METEOSAT 9 (od r. 2006; 3.5° E)
- METEOSAT 10 (od r. 2012, 9.0° E)
- METEOSAT 11 (od r. 2015, 0°)

Kanály MSG

- ▶ Vидitelná (a blízká infračervená) část spektra (Visible, VIS)
 - HRV (high resolution visible):
 - VIS 0.6
 - VIS 0.8
 - IR 1.6
- ▶ Spektrum pro odhad obsahu vodní páry (Water Vapour – WV)
 - WV 6.2
 - WV 7.3
- ▶ Infračervená atmosférická okna (IR Window)
 - IR 3.8
 - IR 8.7
 - IR 10.8
 - IR 12.0
- ▶ Pseudo sondáže atmosféry (Pseudo Sounding)
 - IR 9.7
 - IR 13.4

High Resolution Visible

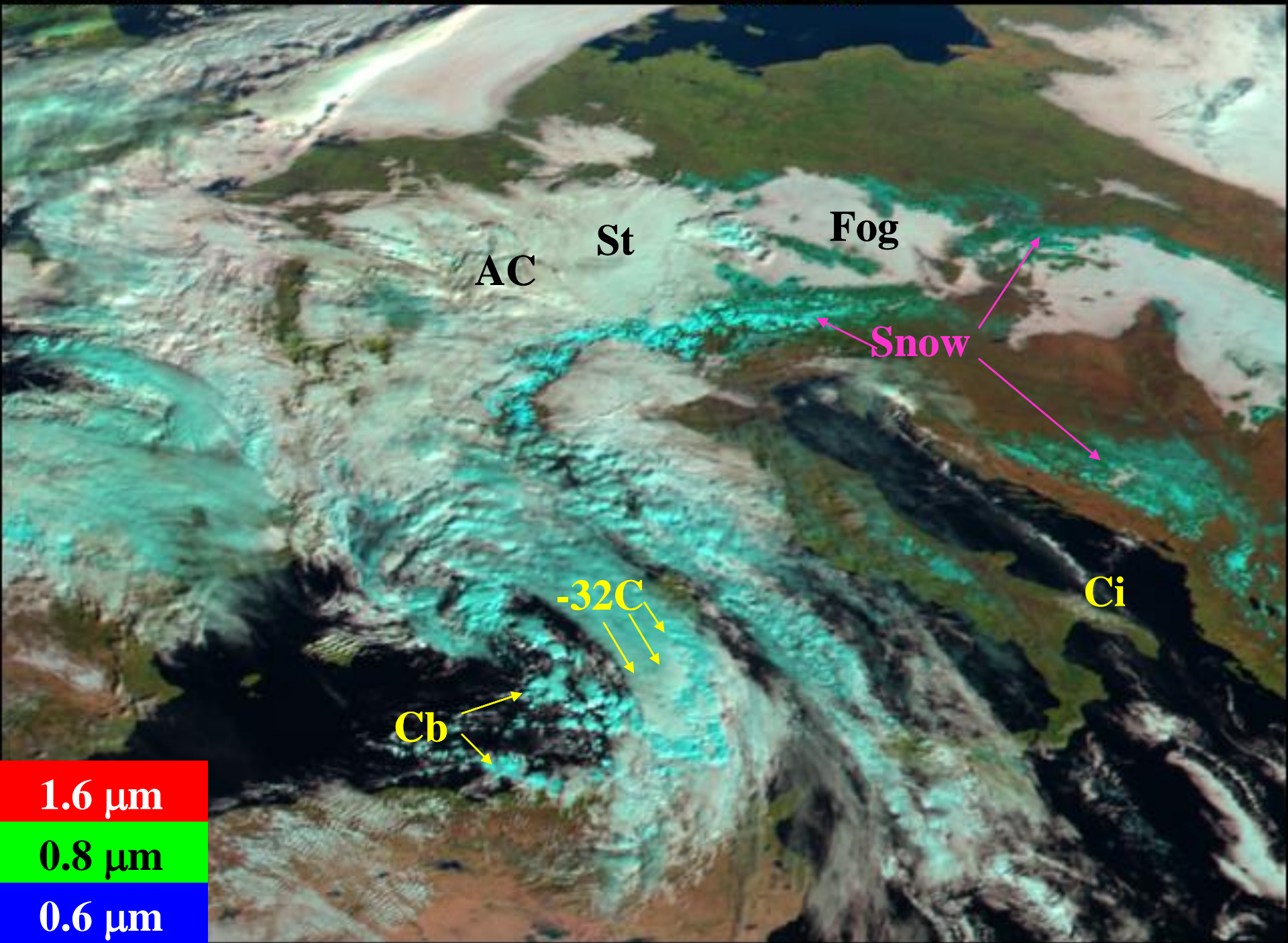


2003/12/19 10:27

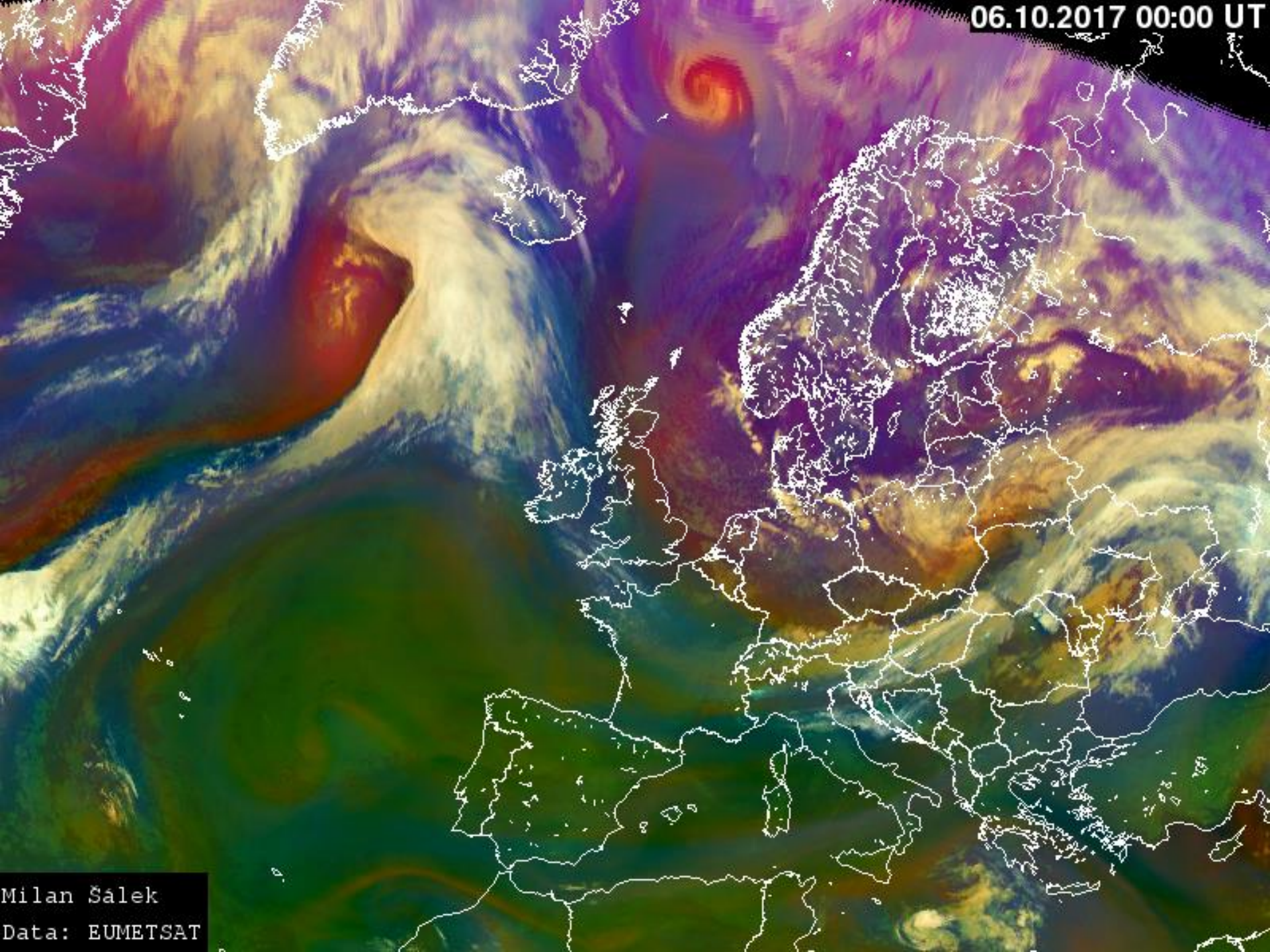
CH03 1.6

CH02 0.8

CH01 0.6



06.10.2017 00:00 UT

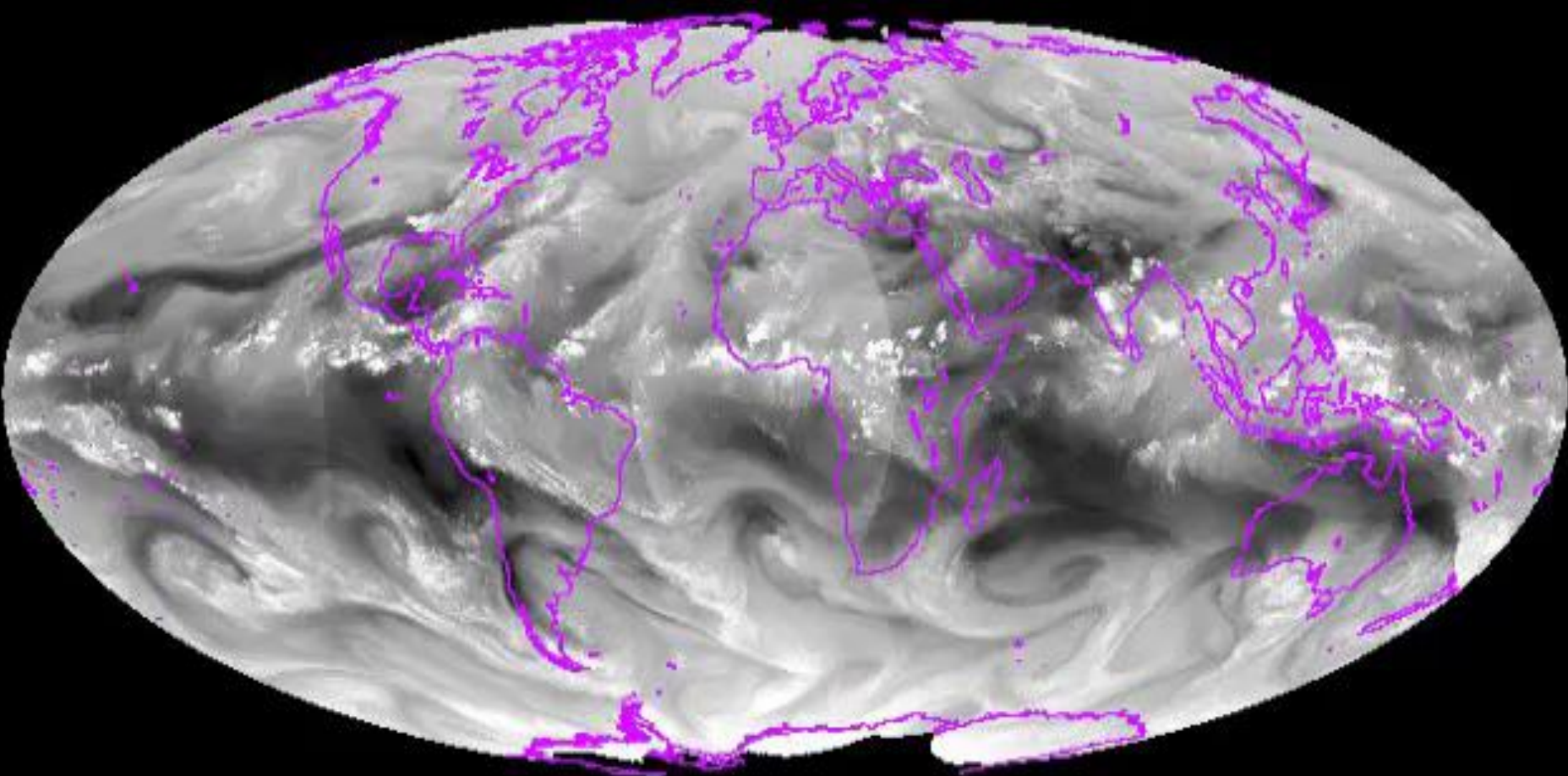


Milan Šálek

Data: EUMETSAT

Sloučení měření více geostacionárních družic

WATERVAPOR COMPOSITE FROM 11 JUN 09 AT 15:00 UTC (SSEC:UW-MADISON)

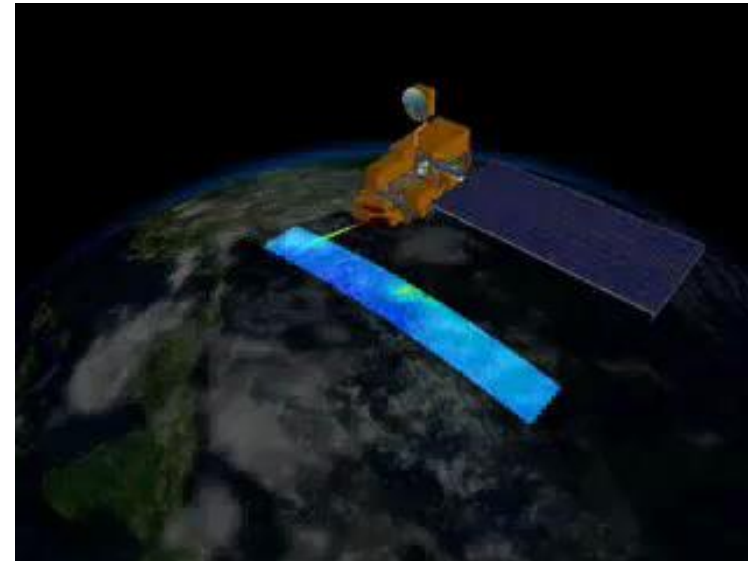


Družice NOAA s polární drahou (800 km nad povrchem)

1. kanál

0.58 - 0.68 mikrometru

červená oblast spektra



2. kanál

0.725 - 1.1 mikrometru

blízké infračervené záření

3. kanál

3.55 - 3.93 mikrometru

tepelné záření



4. kanál

10.3 - 11.3 mikrometru

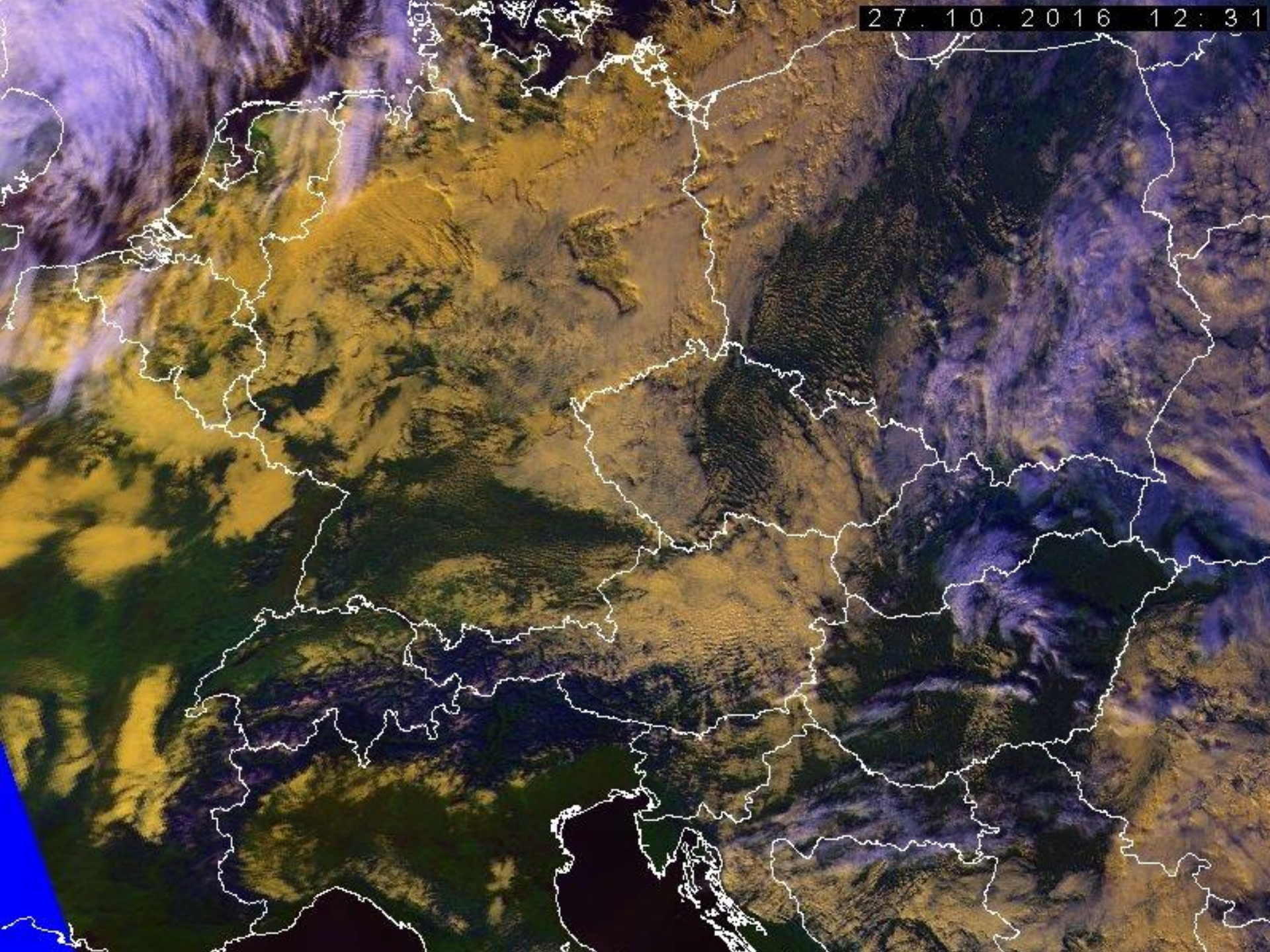
tepelné záření

5. kanál

11.5 - 12.5 mikrometru

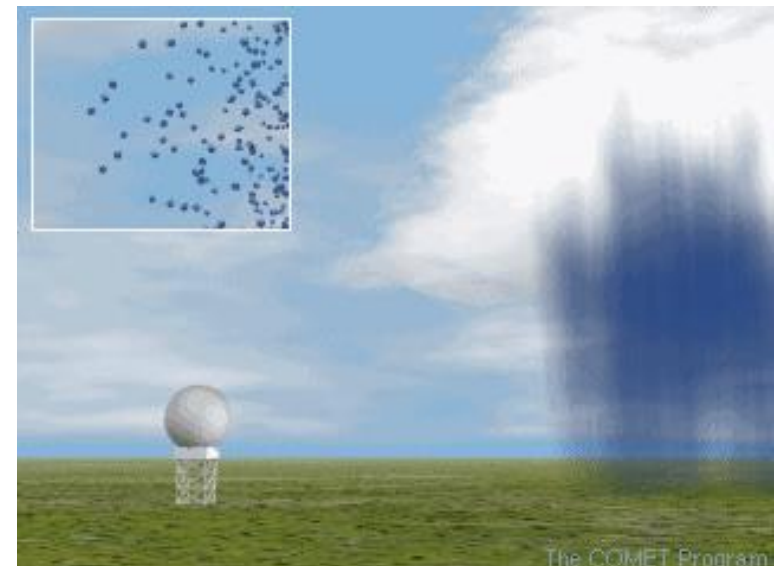
tepelné záření

27.10.2016 12:31



Meteorologický radar

- je zařízení, které vyzařuje směrovou anténou elektromagnetickou energii v krátkých časových pulsech do určité oblasti, přičemž objekty, ležící v dráze radarového paprsku, určitou část energie odrazí zpět. Ze zpoždění přijatého signálu oproti vyslanému a z množství přijaté energie lze získat informaci o poloze a vlastnostech objektu, případně o jeho pohybu.
- více typů meteorologických radarů rozličných vlastností



Radiolokační odrazivost

Radiolokační odrazivost z lze vypočítat podle radarové rovnice (ve zjednodušeném tvaru) :

$$P_r = \Pi_M \cdot \frac{z}{r^2}$$

kde :

P_r – přijatý výkon,

Π_M – radarová „konstanta“ (meteorologický potenciál radaru),

r – vzdálenost cíle.

Dopplerovské radary

- ▶ Dopplerův efekt: využití Dopplerova efektu pro zjištění **radiální** složky rychlosti větru (tedy v jednom směru – od radaru, k radaru)
- ▶ využití: zjištění pohybu, případně rotace oblačnosti, eliminace odrazů od pozemních cílů

Odhady srážek z meteorologických radarů

Z odrazivosti meteorologického cíle **z** lze vypočítat intenzitu srážek **R**[mm/h] tzv. Marshall-Palmerovým vztahem:

$$z = a \cdot R^b$$

hodnoty **a**, **b** jsou vhodně zvolené konstanty, které se mohou lišit v závislosti na předpokládaném rozdělení velikosti kapek. Pro naše podmínky byly zvoleny **a=200**, **b=1,6**.

Radarová síť v České republice

(dle http://www.chmi.cz/meteo/rad/rad_main.html)

- ▶ Brdy EEC DSWR-2501C
- ▶ Skalky (Drahanská vrchovina): Gematronik Meteor 360 AC
- ▶ (do roku 2000): Praha-Libuš: MRL-5
 - *Oba radary dopplerovské a od roku 2015 polarimetrické*

RADAR Brdy

V provozu od r. 2000
(postupně modernizace)

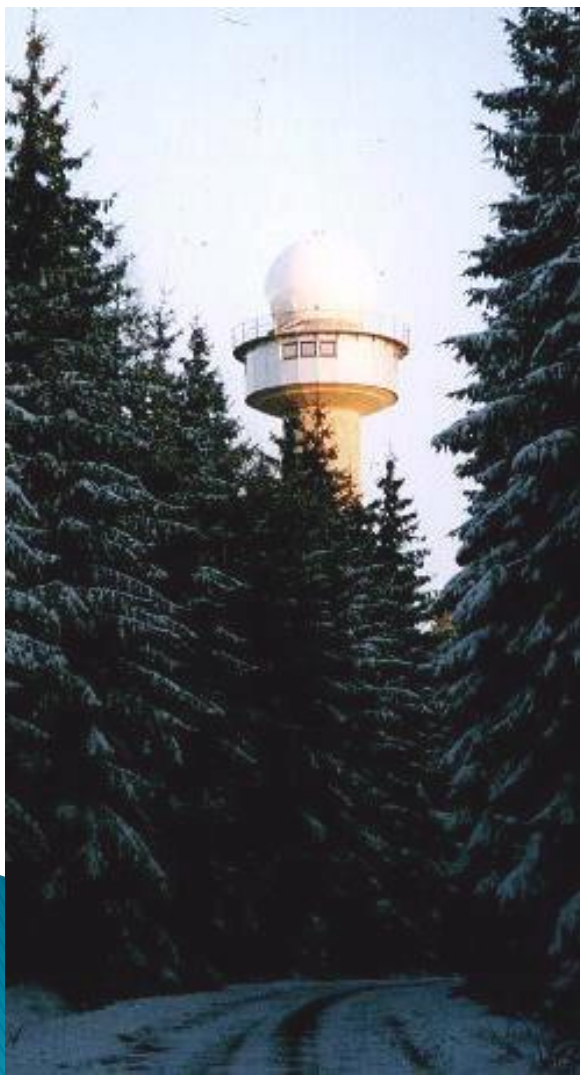


Stanoviště	Brdy-Praha
Oblast	střední Čechy
WMO indikativ	11480
Typ radaru	EEC DWSR-2501 C
Zeměpisná šířka	49,658 N
Zeměpisná délka	13,818 E
Nadmoř.výška	860 m
Výška antény n.m.	916 m
Interval měření	5 min.

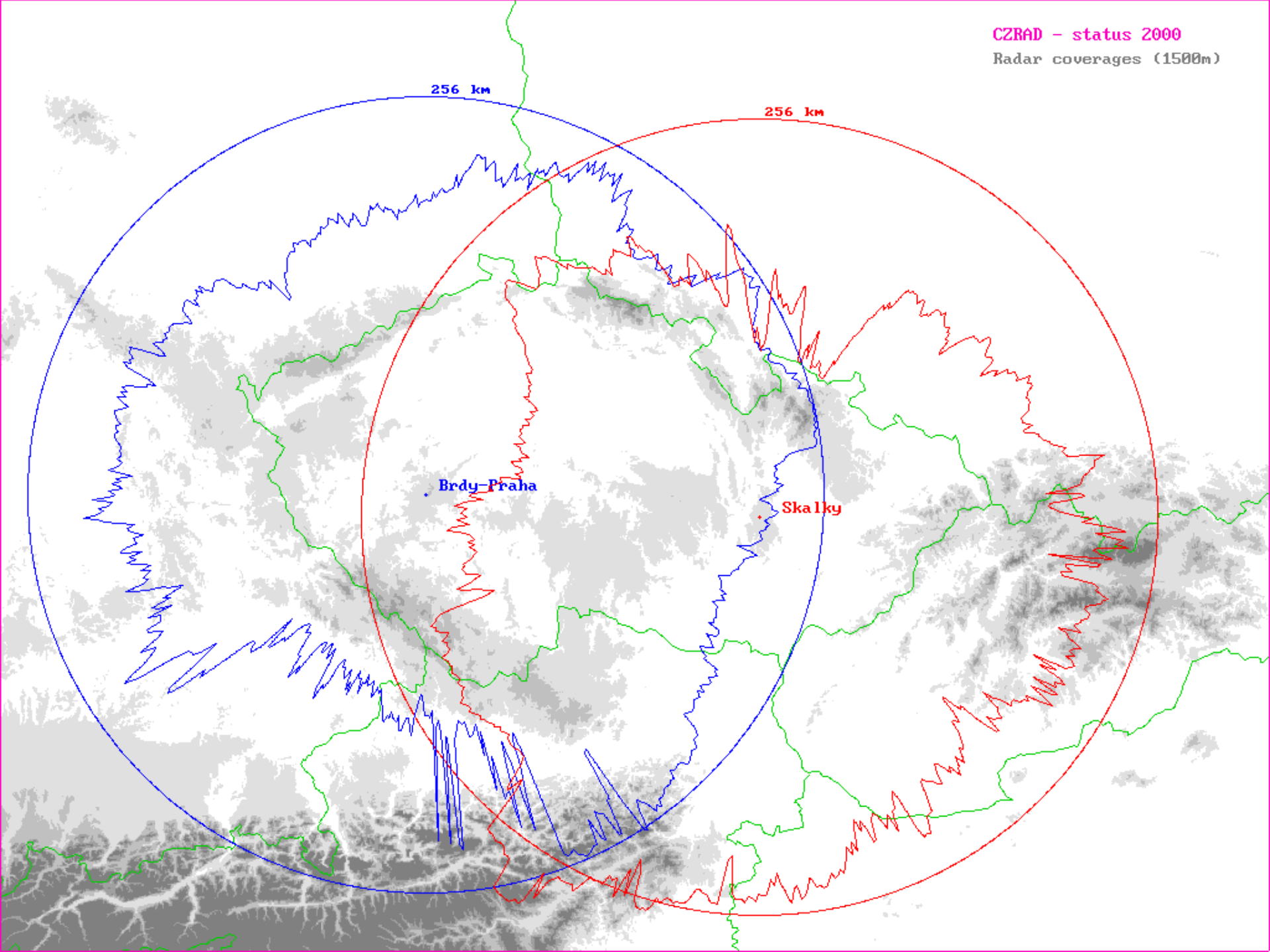
RADAR SKALKY

V provozu od r. 1995

(postupně modernizace)

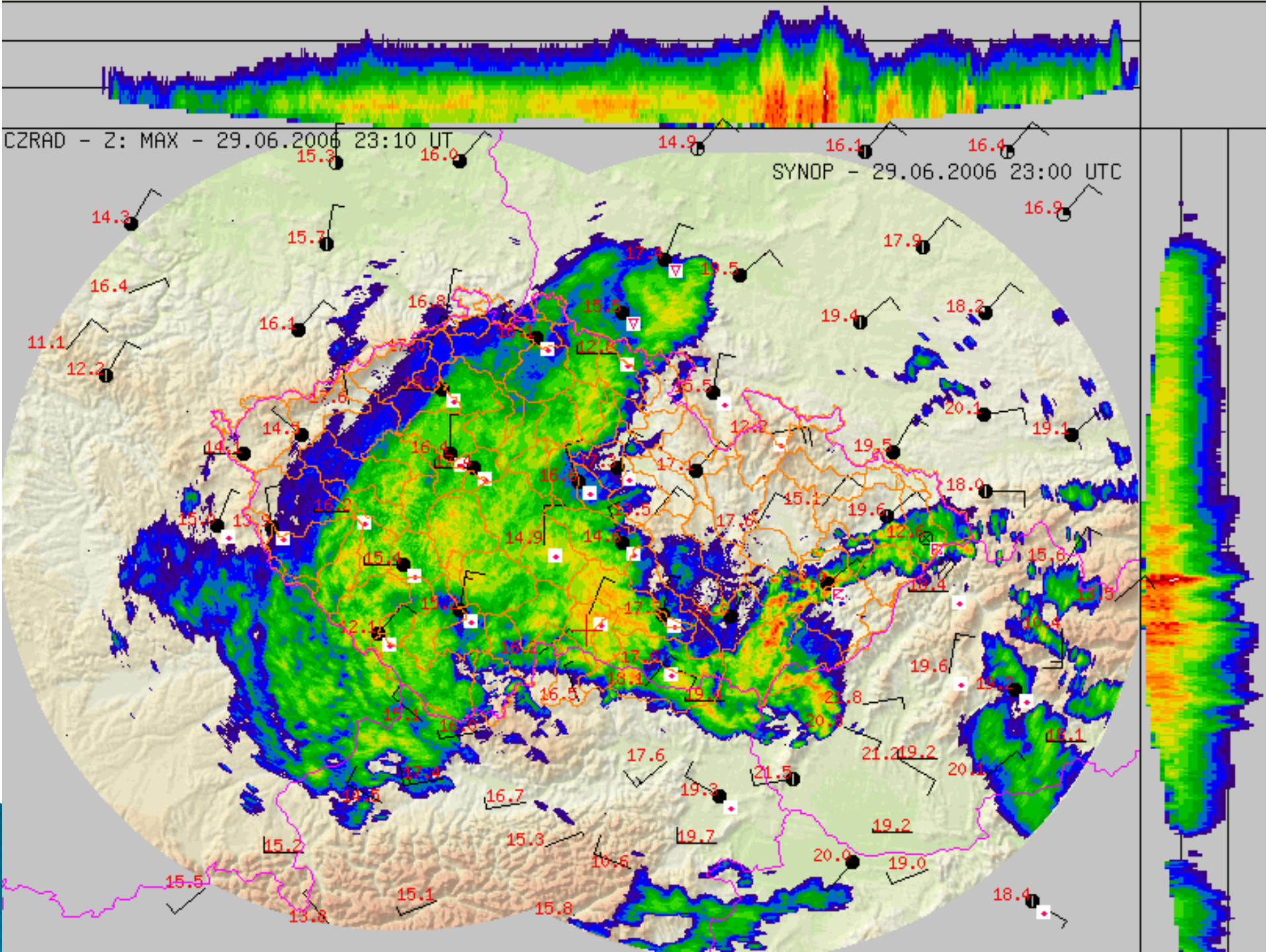


Stanoviště	Skalky u Protivanova
Oblast	střední Morava
WMO indikativ	11718
	Gematronik METEOR
Typ radaru	360AC
Zeměpisná šířka	49,501 N
Zeměpisná délka	16,790 E
Nadmoř.výška	730 m
Výška antény n.m.	767 m
Interval měření	5 min.

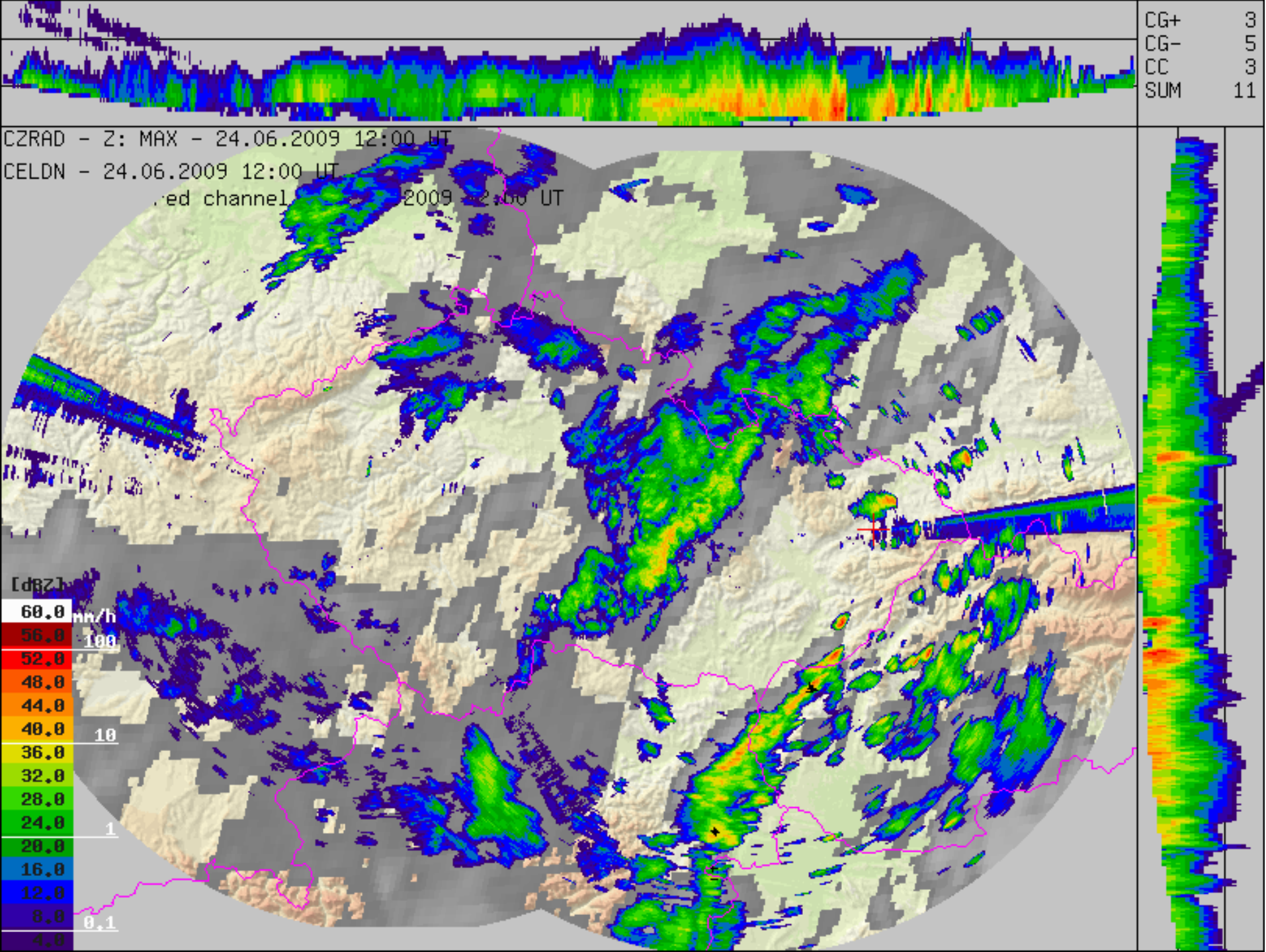


Použití radarů v meteorologii

- ▶ detekce srážek (oblaků)
- ▶ zjištění pohybu a vývoje oblačnosti
- ▶ zjištění struktury oblačnosti
- ▶ měření větru
- ▶ velmi krátkodobá předpověď'
- ▶ odhady množství srážek

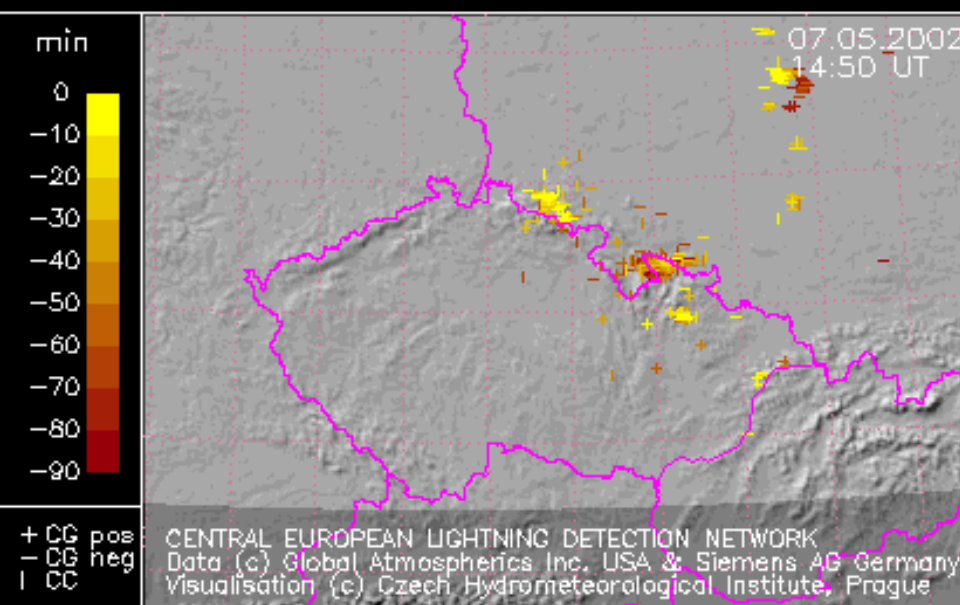


CG+ 3
CG- 5
CC 3
SUM 11



LIGHTNING STROKES: Σ 838, CG+ 4.1%, CG- 78.6%, CC 17.3%

Last data connection: 07.05.2002 14:52 UT



Metody detekce blesků

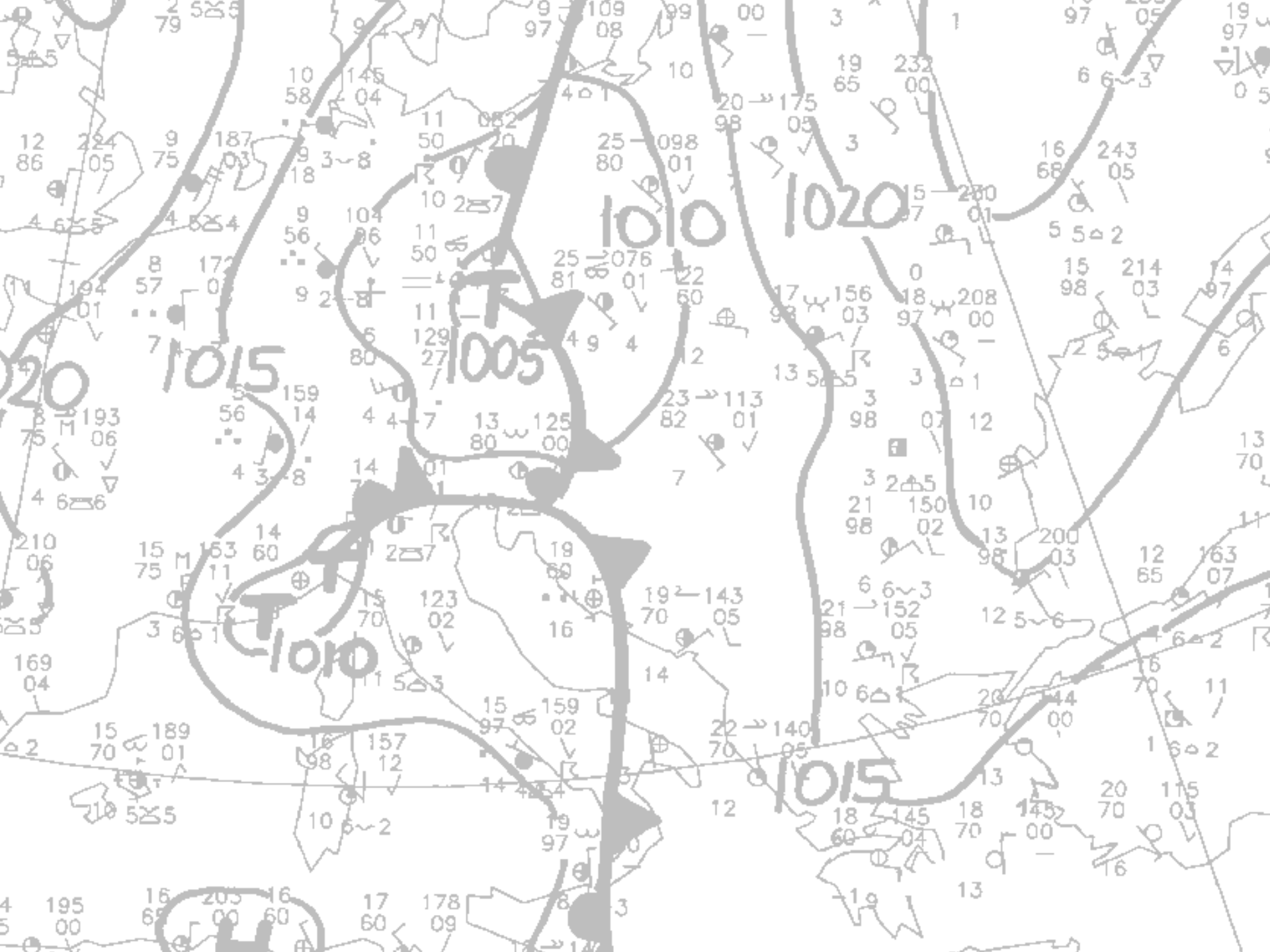
Aktuální data viz např.
<http://www.lightningmaps.org>

- ▶ Pomocí vhodně rozmístěných detekčních čidel se zachycuje elektromagnetické záření, které se vyzařuje při bleskovém výboji
- ▶ Čidla určí směr, ve kterém došlo k výboji, nebo dobu zachycení signálu synchronizovanou pomocí GPS. Informace z čidel jsou v reálném čase zasílány do zpracovatelského počítače, který je vyhodnotí a určí, zda šlo o blesk, a pokud ano, kde se vyskytl. Většinou je možno určit i typ blesku (mrak-mrak, mrak-země), polaritu a velikost elektrického proudu ve výboji.

Metody předpovědi počasí

1 Norská (bergenská) škola

- rozvíjená především v první polovině 20. století.
- založená na teoretickém rozpracování termodynamiky a hydrodynamiky (aerodynamiky) vzduchových hmot, atmosférických front, tlakových níží a výší a všeobecné cirkulace atmosféry
- v současnosti je tato škola téměř zcela nahrazena numerickým modelováním.



Metody předpovědi počasí

2 Numerické modelování (NWP – Numerical Weather Prediction)

- dominantní součást tvorby předpovědi počasí
- umožněno pokrokem ve výpočetní a telekomunikační technice
- podnítilo vznik teorie deterministického chaosu

Metody předpovědi počasí

„Technologická linka“ předpovědi s pomocí numerických modelů:

- 1) Měření stavu atmosféry (600–800 aerologických stanic), zakódování do zpráv TEMP/BUFR apod., další informace z metod dálkové detekce (především z met. Družic i radarů), z pozemních měření SYNOP/BUFR i z dalších zdrojů (AMDAR)
- 2) Pomocí telekomunikačních linek soustředění údajů v meteorologických centrech (Offenbach, Reading atd.)

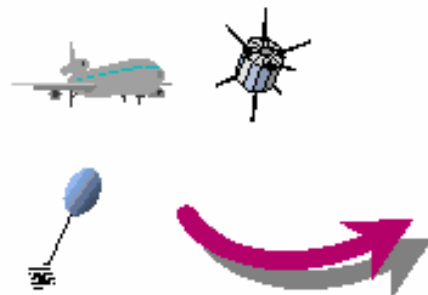
Metody předpovědi počasí

„Technologická linka“ předpovědi s pomocí numerických modelů (pokrač.):

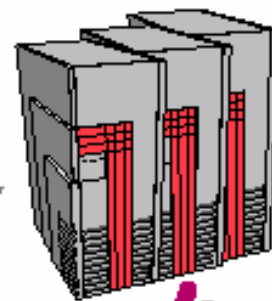
- 3) Výpočet budoucího stavu atmosféry v centrech pomocí NWP modelů na (super)počítačích
- 4) Rozesílání předpovědí prostřednictvím telekomunikačních linek
- 5) Zpracování těchto dat pomocí „malé“ výpočetní techniky (PC, popř. prac. stanice UNIX, dnes také mobilní telefony, tablety)

Schéma technologické linky předpovědi počasí

OBSERVATIONS



NUMERICAL MODEL



CUSTOMERS



HUMAN FORECASTER

Historie NWP modelů

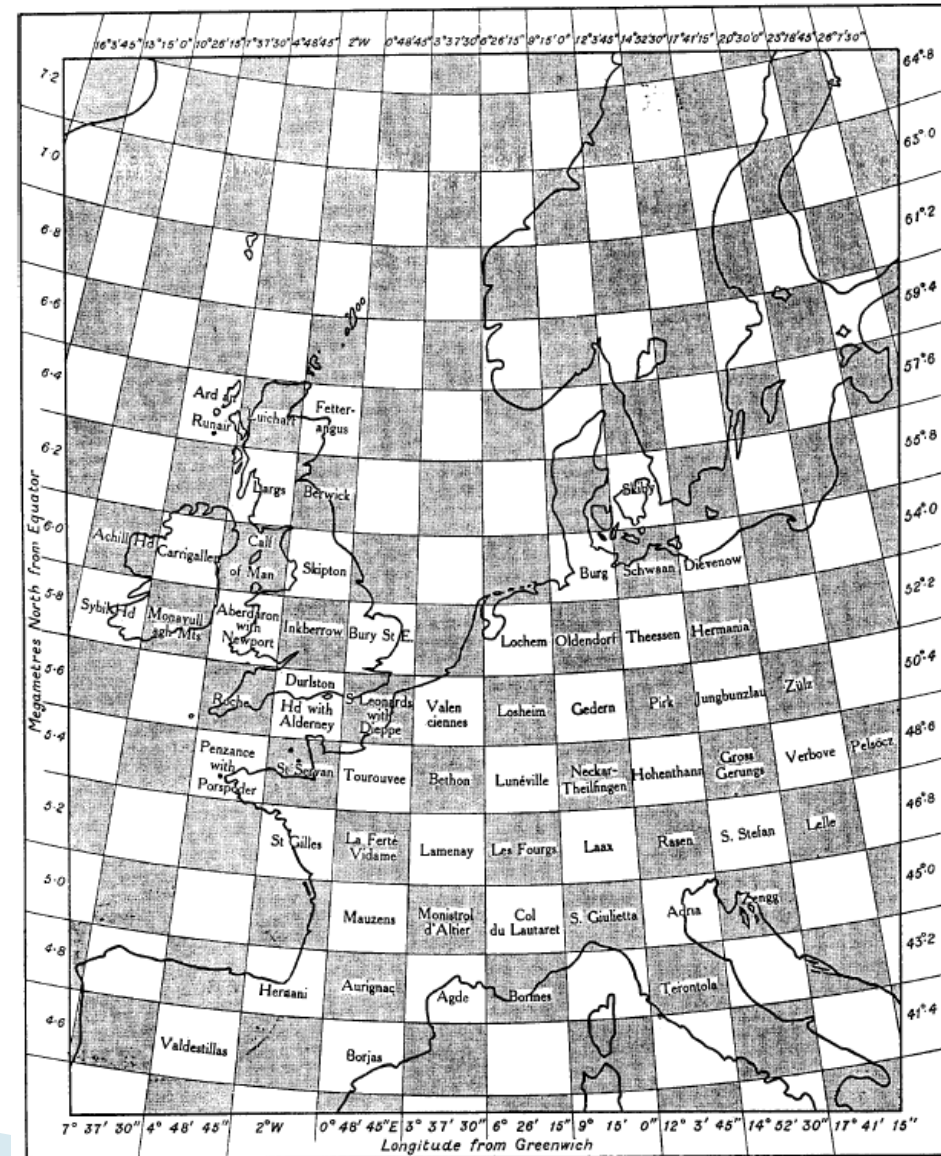
- ▶ 1901 Cleveland Abbe (USA), 1904 Vilhelm Bjerknes (Norsko) navrhli možnost řešit hydrodynamické a termodynamické rovnice a vytvořit objektivní předpověď.
- ▶ 1922 Lewis F. Richardson provedl první výpočet budoucího stavu atmosféry. Zjednodušené rovnice vývoje atmosféry řešil numericky metodou grafické integrace, ale dopustil se při tom porušení důležitého pravidla mezi vzdáleností sousedních uzlů a časovým krokem integrace, čímž se výsledky lišily od skutečnosti o řády. Uvedený neúspěch na čas ochladil zájem meteorologů o tyto metody.

Historie NWP modelů (pokrač.)

Rozvoj NWP modelů nastal až s vývojem prvních počítačů na sklonku 40. a počátku 50. let (J. von Neumann, J. Charney, C.G. Rossby, H. Panofsky) – nejdříve barotropní model (kde hustota závisí pouze na tlaku), poté baroklinní modely (hustota závislá na tlaku i teplotě). Dnes se v NWP modelech používají základní (nespr. „primitivní“) rovnice.

První pokus o početní (numerickou) předpověď počasí

▶ Lewis Fry Richardson



Richardsonův amfiteátr: 64000 '(lidských) počítačů', komunikace pomocí světelného paprsku, řídící pult



Richardsonův amfiteátr

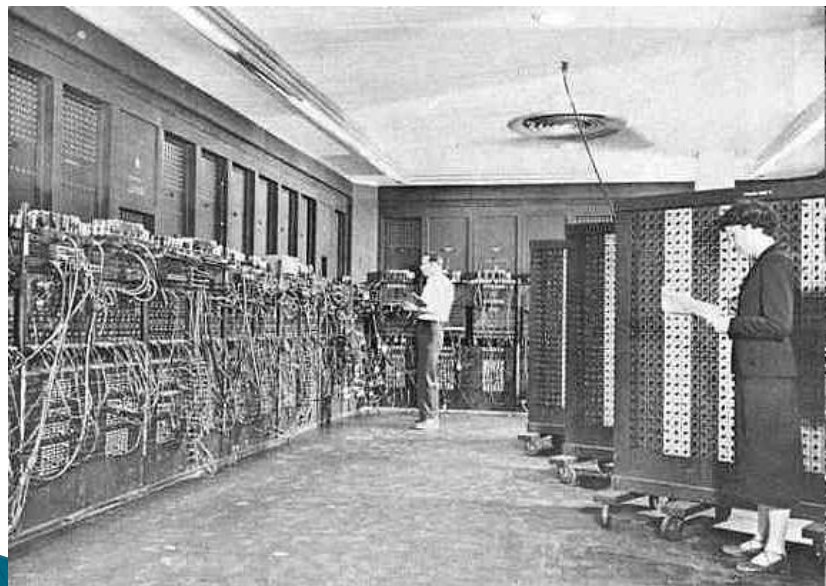
(zprac. podle R. Brožkové, ČHMÚ)

- ▶ Čtyři zkušení pracovníci řídícího pultu shromažďují předpověď počasí tak rychle, jak je počítána, a posílají jí potrubní poštou do speciální místnosti. Tady bude kódována a telefonována na rádiovou vysílací stanici (*výpočetní svita, prognóza, média, ...*)
- ▶ Papíry s výpočty budou uschovány ve sklepních prostorách (*archív*).
- ▶ V sousední budově bude oddělení výzkumu, kde se budou vymýšlet zlepšení systému. Ale než jakákoliv změna bude udělána v komplexní rutině výpočetního amfiteátru, bude muset být podrobena řadě experimentů (*paralelní testy*).
- ▶ Venku budou hřiště, domy, hory a jezera, protože bylo myšleno na ty, kteří předpovídají počasí, aby si jej mohli užívat plnými doušky.



Uskutečnění digitálního snu ...

- ▶ Rozvoj numerického modelování od experimentů z 50. let do až do dnešní podoby rutinního používání numerických modelů



Historie NWP modelů (pokrač.)

Vývoj v ČR:

MF UK, prof. Brandejs, 50. léta

- ▶ První studie týkající se problematiky numerického modelování (Kibelův model, Sutcliffova vývojová teorie atd.)
- ▶ Na konci 50. a během 60. let první pokusy o rutinní výpočty
- ▶ Problém: omezenost výpočetní techniky (Ural 1 ...)
- ▶ V 70–80. letech zastavení výpočtů
- ▶ Na konci 80. let jejich obnovení – model ČHMÚ
- ▶ Na počátku 90. let se ČSFR a později ČR aktivně zúčastnila vývoje moderního numerického modelu ALADIN.

Numerické modelování

Objektivní analýza, asimilace dat

- jako tzv. předběžné pole se používá výstup z předchozího běhu modelu (obvykle výstup 6h, případně 12h starý), do kterého se matematickými technikami zavádějí nově naměřené hodnoty a pole meteorologických veličin se tímto opravuje.
- současný trend: asimilace dat mimo standardní pozorovací termíny (např. z letadel, družic s polární druhou atd.)

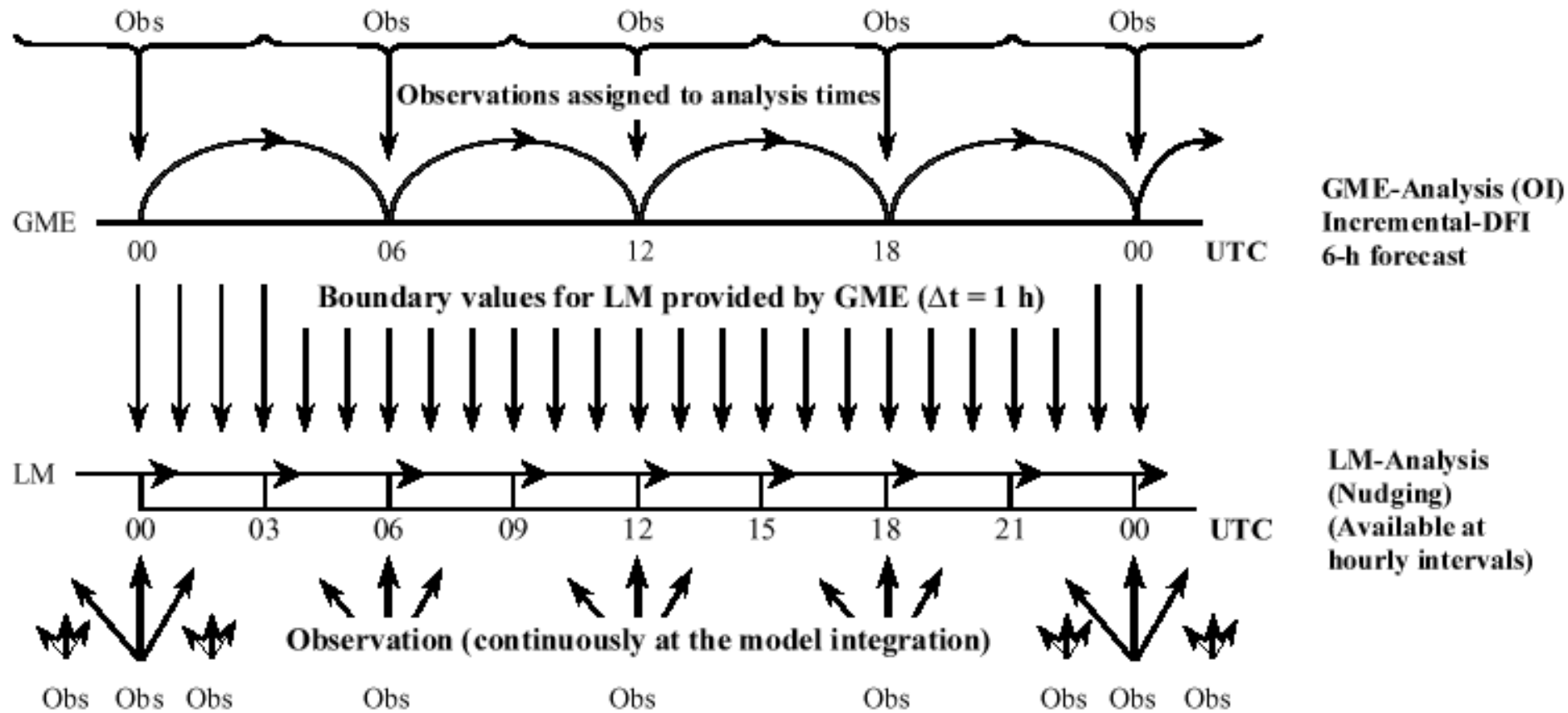


Fig. 5.1 4 dim data assimilation for GME and LM

Výpočet předpovědi – základní rovnice

Pohybové rovnice (rovnice impulsu, dynamická část modelu):

$$\frac{d\vec{v}}{dt} + 2\vec{\Omega} \times \vec{v} = -\frac{1}{\rho} \nabla p + \vec{g} + \vec{F}$$

\vec{v} - vektor větru

\vec{g} - gravitační zrychlení Země

$\vec{\Omega}$ - úhlová rychlosť rotacie Země

\vec{F} - síla tření (včetně vnitřního tření)

p - tlak vzduchu

ρ - hustota vzduchu

Základní rovnice – pokr.

Rovnice kontinuity

$$\frac{d\rho}{dt} = \frac{\partial \rho}{\partial t} + \vec{v} \nabla \rho = -\rho \nabla \cdot \vec{v}$$

$$\frac{\partial \rho}{\partial t} + u \frac{\partial \rho}{\partial x} + v \frac{\partial \rho}{\partial y} + w \frac{\partial \rho}{\partial z} = \frac{d\rho}{dt} = \rho \left(\frac{\partial u}{\partial x} + \frac{\partial v}{\partial y} + \frac{\partial w}{\partial z} \right)$$

Základní rovnice – pokr.

První věta termodynamická,
přepsaná do následujícího tvaru:

$$c_p \frac{dT}{dt} = \alpha \omega + F_T$$

T - teplota vzduchu [K]

C_p - měrné teplo při konstantním tlaku

$\omega = \frac{dp}{dt}$ - generalizovaná vertikální rychlosť

α - měrný objem vzduchu

F_T - dodaná tepelná energie

Základní rovnice – pokr.

Stavová rovnice:

$$p\alpha = RT$$

$R = 287 \text{ Jkg}^{-1}\text{K}^{-1}$ - plynová konstanta pro suchý vzduch.

Rovnice bilance vodní páry (rovnice kontinuity vodní páry):

$$\frac{dQ}{dt} = F_Q$$

Q - směšovací poměr

(hmotnost vodní páry / hmotnost suchého vzduchu)

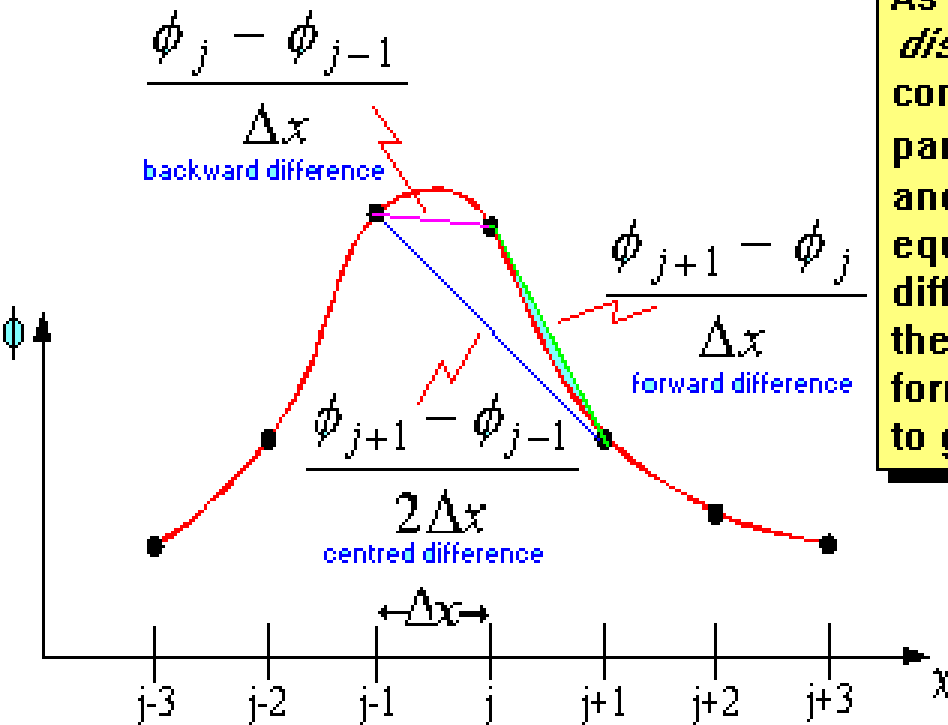
F_Q - změna množství vodní páry způsobená výparem nebo kondenzací vody.

Integrace základních rovnic

- ▶ pouze numericky:
 - 1) metodou konečných diferencí
 - 2) spektrálními metodami

Metoda konečných differencí

Meteorologické veličiny a jejich změny (derivace) v prostoru jsou vyjádřeny konečnými rozdíly:



As a first step in the numerical representation, or *discretization*, of the linear advection equation, consider the geometrical representation of a parameter ϕ varying in the x direction (red curve) and grid point values (black dots). $\partial\phi/\partial x$ is equal to the slope of the red line, whilst finite difference estimates are given by the slopes of the straight lines marked and given by the formulae below. Click on the formula which seems to give the most accurate estimate of $\partial\phi/\partial x$.

Centred differences are generally more accurate than forward or backward differences. Taylor series expansions may be used to investigate the nature of the errors involved in these approximations, and to derive other approximations.

Spektrální metody

- ▶ proměnné se reprezentují na základě konečného, diskrétního Furierova rozvoje
- ▶ v současné době převažují nad metodami konečných diferencí

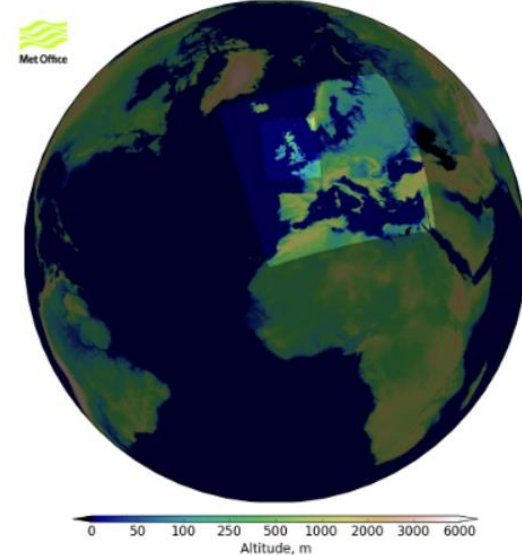
Globální modely, LAM modely

- ▶ Globální modely
- ▶ Local Area Model – LAM modely, modely na omezené oblasti; okrajové podmínky se přebírají z globálních modelů
- ▶ V současné době jsou typické tyto série modelů: Globální model na H+0–168 h, LAM model s jemným rozlišením na H+48 h

Unified Model UK

MetOffice

(stav v r. 2016)



Main Operational Model Configurations

	Global	UKV
Resolution	~17 km in mid-lats	1.5 km inner 4 km outer (EURO4)
model size	1536 x 1152	744 x 928
Model Levels	70	70
Forecast length	144 hrs	36 hrs

Systém model Německé povětrnostní služby



Numerical Weather Prediction at DWD

Global model GME

Grid spacing: 20 km

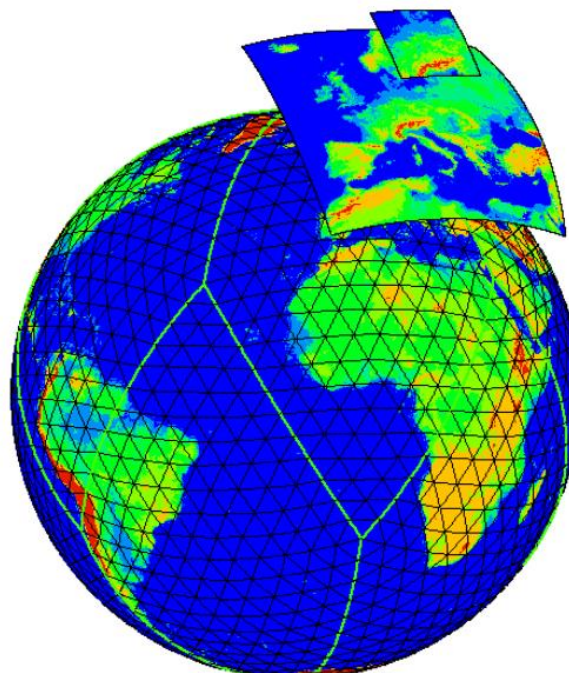
Layers: 60

Forecast range:

174 h at 00 and 12 UTC

48 h at 06 and 18 UTC

1 grid element: 346 km²



COSMO-EU

Grid spacing: 7 km

Layers: 40

Forecast range:

78 h at 00 and 12 UTC

48 h at 06 and 18 UTC

1 grid element: 49 km²

COSMO-DE

Grid spacing: 2.8 km

Layers: 50

Forecast range:

21 h at 00, 03, 06, 09,

12, 15, 18, 21 UTC

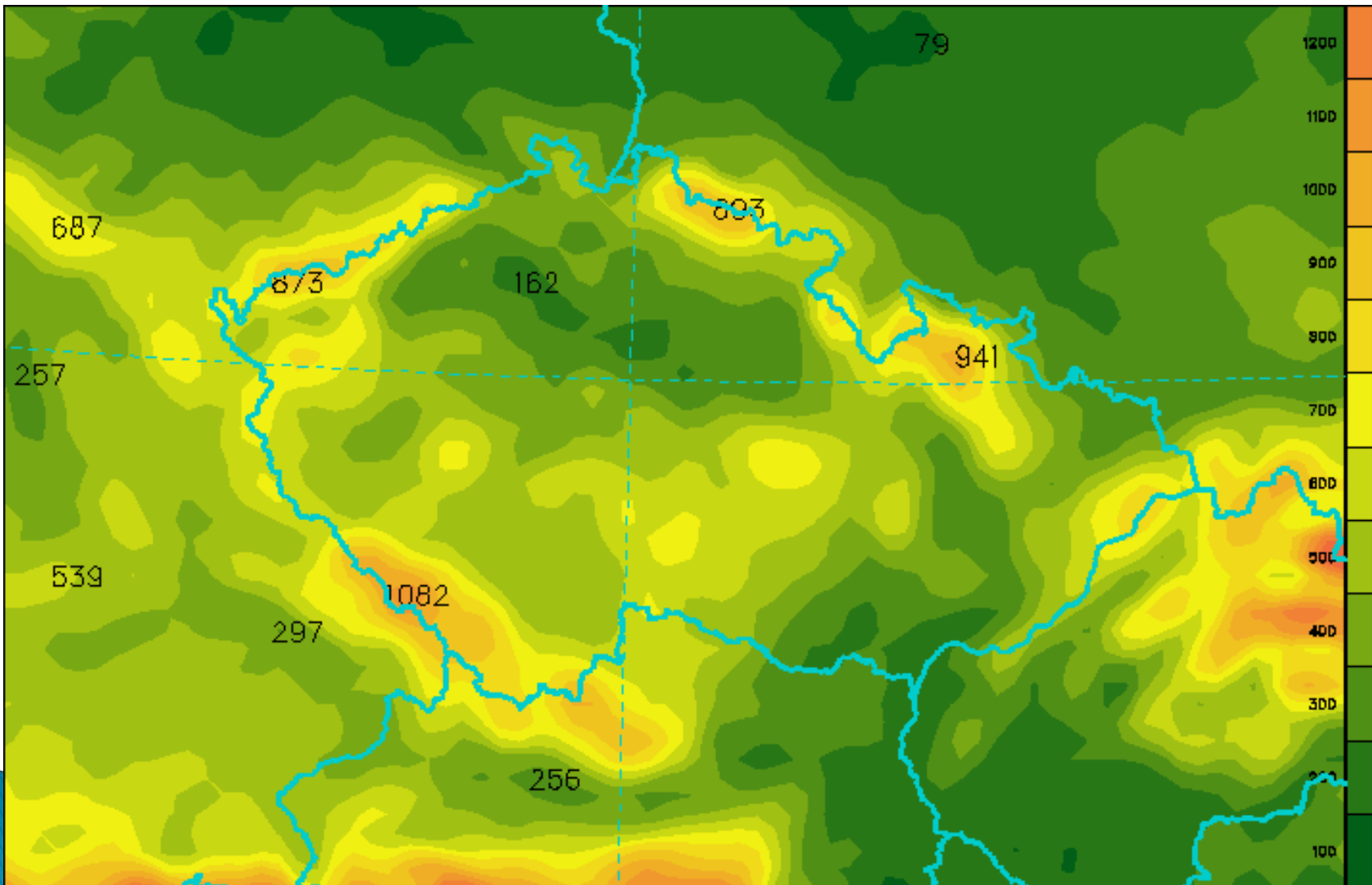
1 grid element: 8 km²

ALADIN

- ▶ Mezinárodním týmem byl pod patronací METEO France vyvinut LAM model ALADIN, který se nyní využívá též Českým hydrometeorologickým ústavem
- ▶ Horizontální rozlišení: 4,7 km (od října 2010 do března 2019)
- ▶ Horizontální rozlišení: 2,3 km (od března 2019)
- ▶ Počet hladin: 87

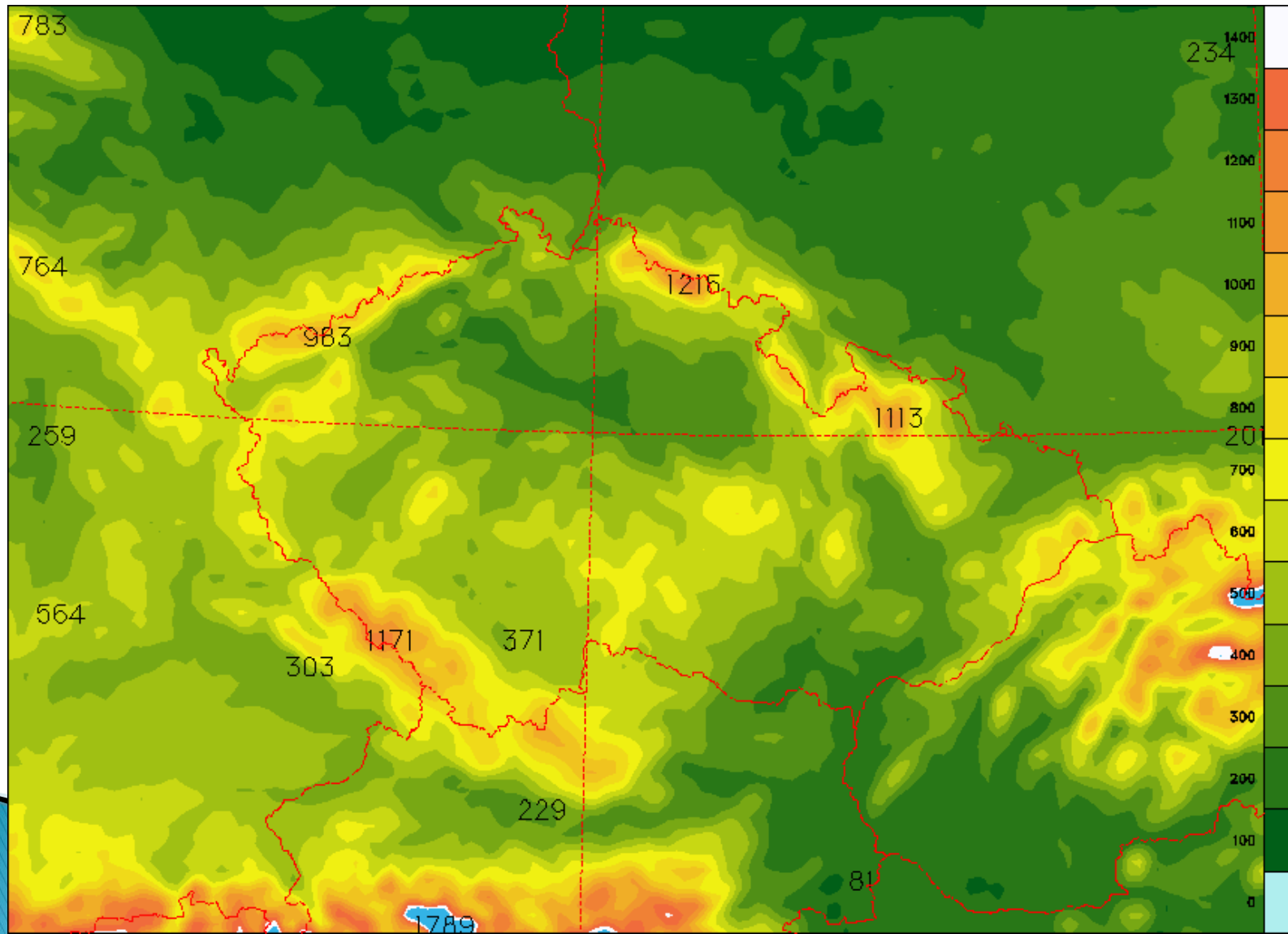
Nadmořská výška terénu v modelu ALADIN

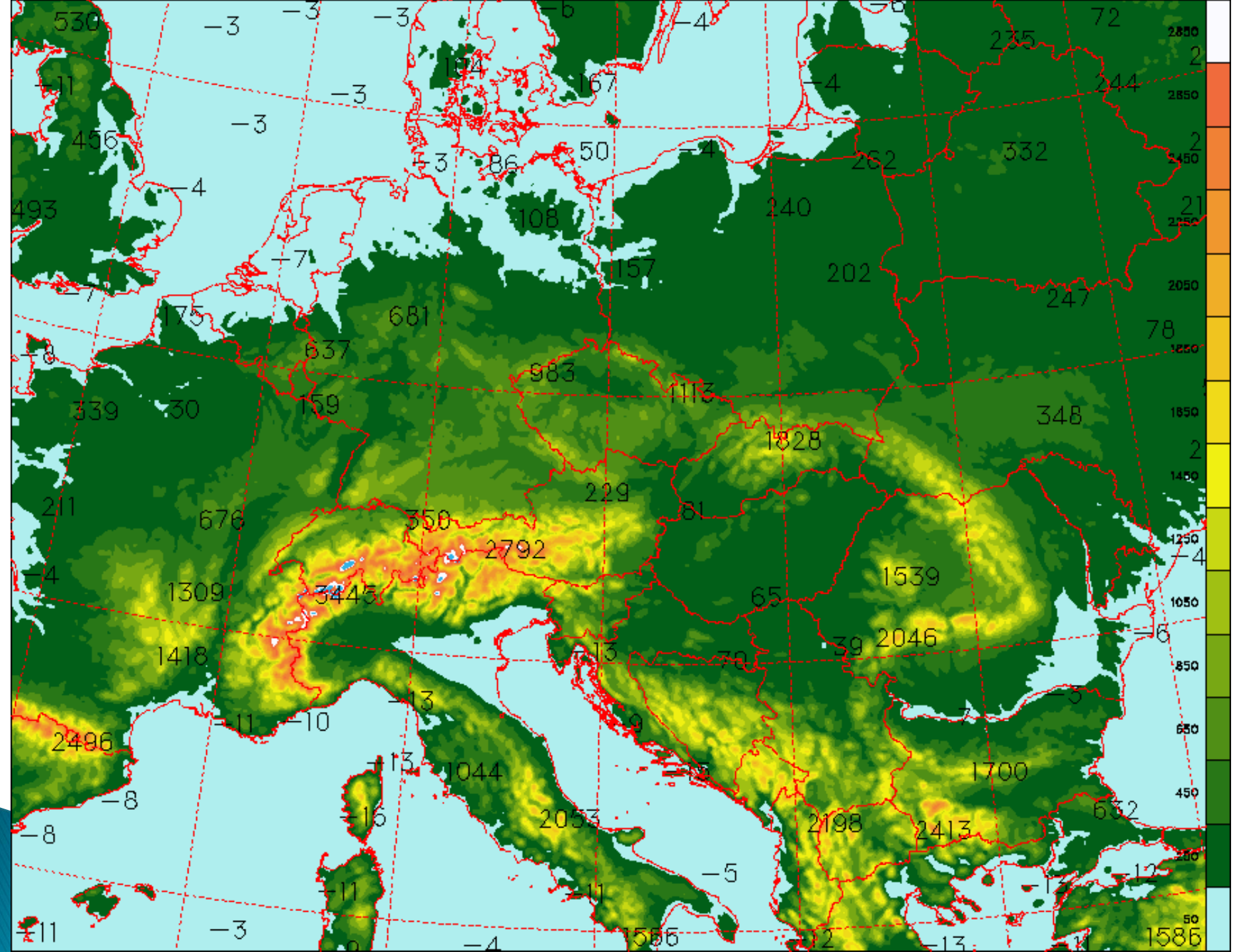
(rozlišení 9 km, 43 hladiny)



Nadmořská výška terénu v modelu ALADIN

(rozlišení 4,7 km, 87 hladin)





Výstupy modelu

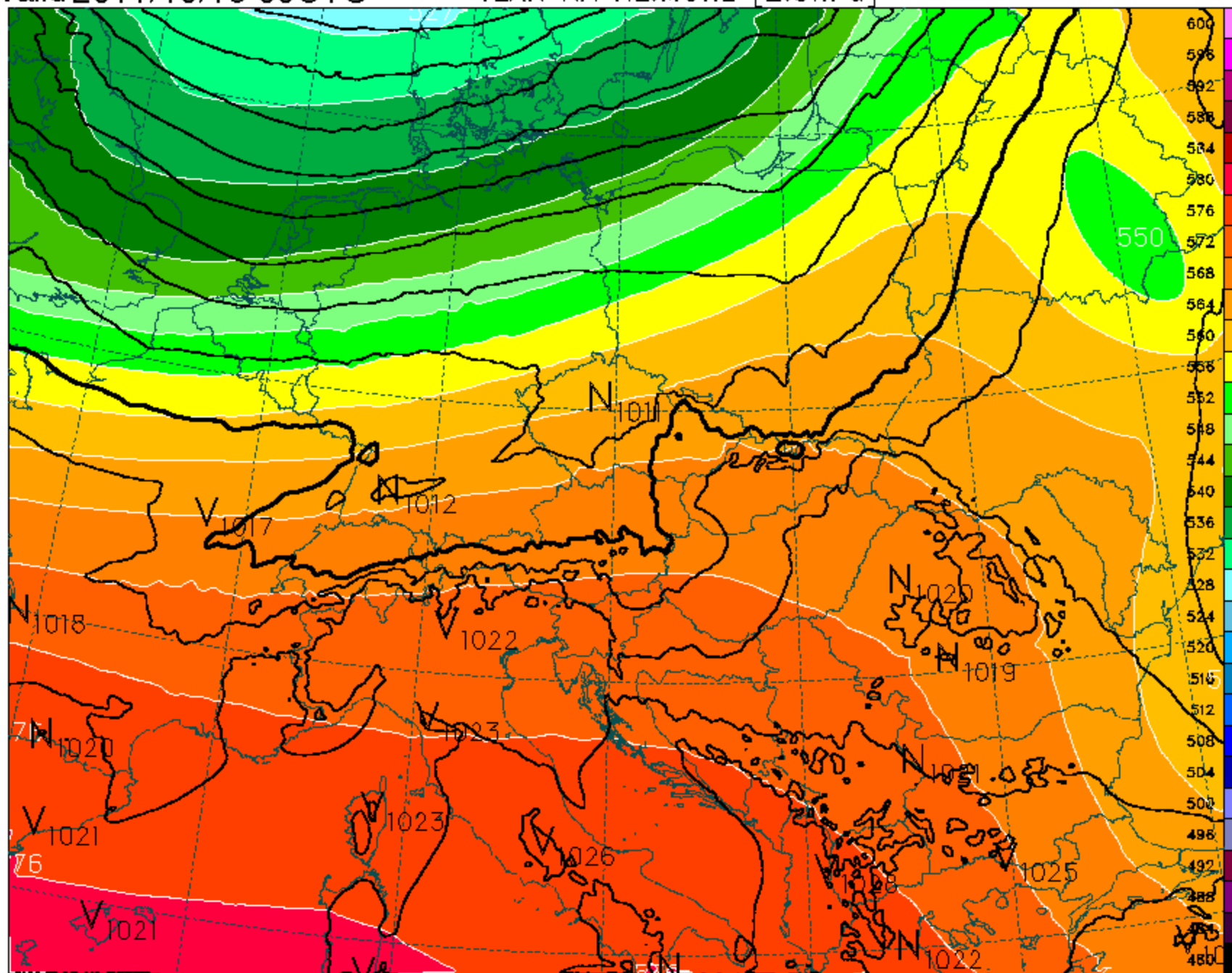
- ▶ přímo předpovídáné veličiny:
 - směr a rychlosť větru
 - teplota
 - přízemní tlak
 - měrná vlhkost
- ▶ odvozené veličiny:
 - geopotenciál
 - přízemní teplota, vítr a vlhkost
 - srážky (déšť x sníh, konvektivní x velkoprostorové)
 - vertikální rychlosť ω
 - oblačnost (L, M, H, C)
 - toky tepla, hybnosti a vlhkosti z parametrizací

Base 2011/10/17 00UTC
Valid 2011/10/19 00UTC

48

ABS.TOPOGRAFIE [4dkm]
TLAK NA HL.MORE [2.5hPa]

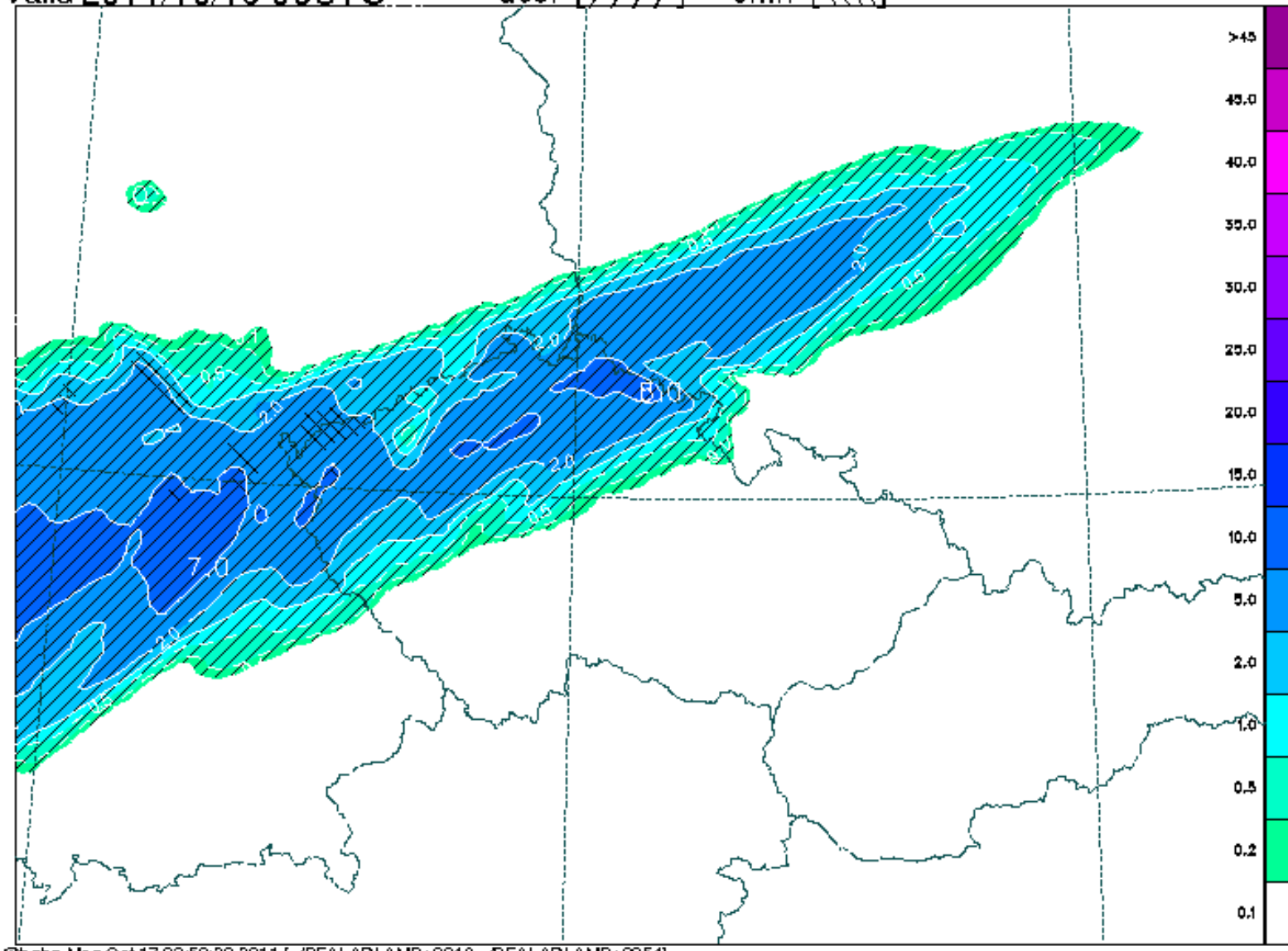
500hPa



Base 2011/10/17 00UTC
Valid 2011/10/19 06UTC

54

celkove srazky [mm/6hod]
dest [////] snih [\\\\]



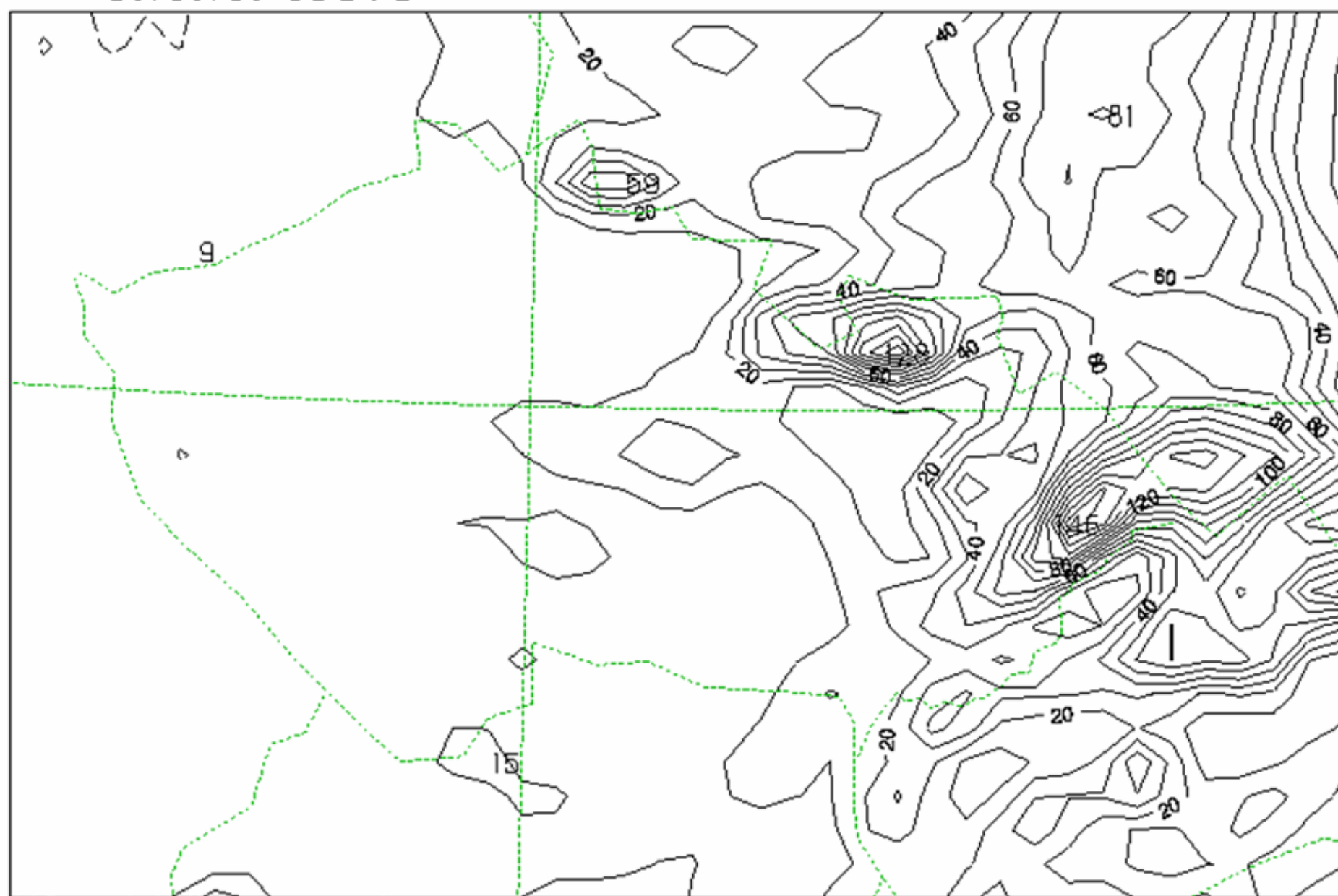
Base 97/07/06 00UTC
Valid 97/07/07 06UTC

SRAZKY 06-30 [mm/24hod]

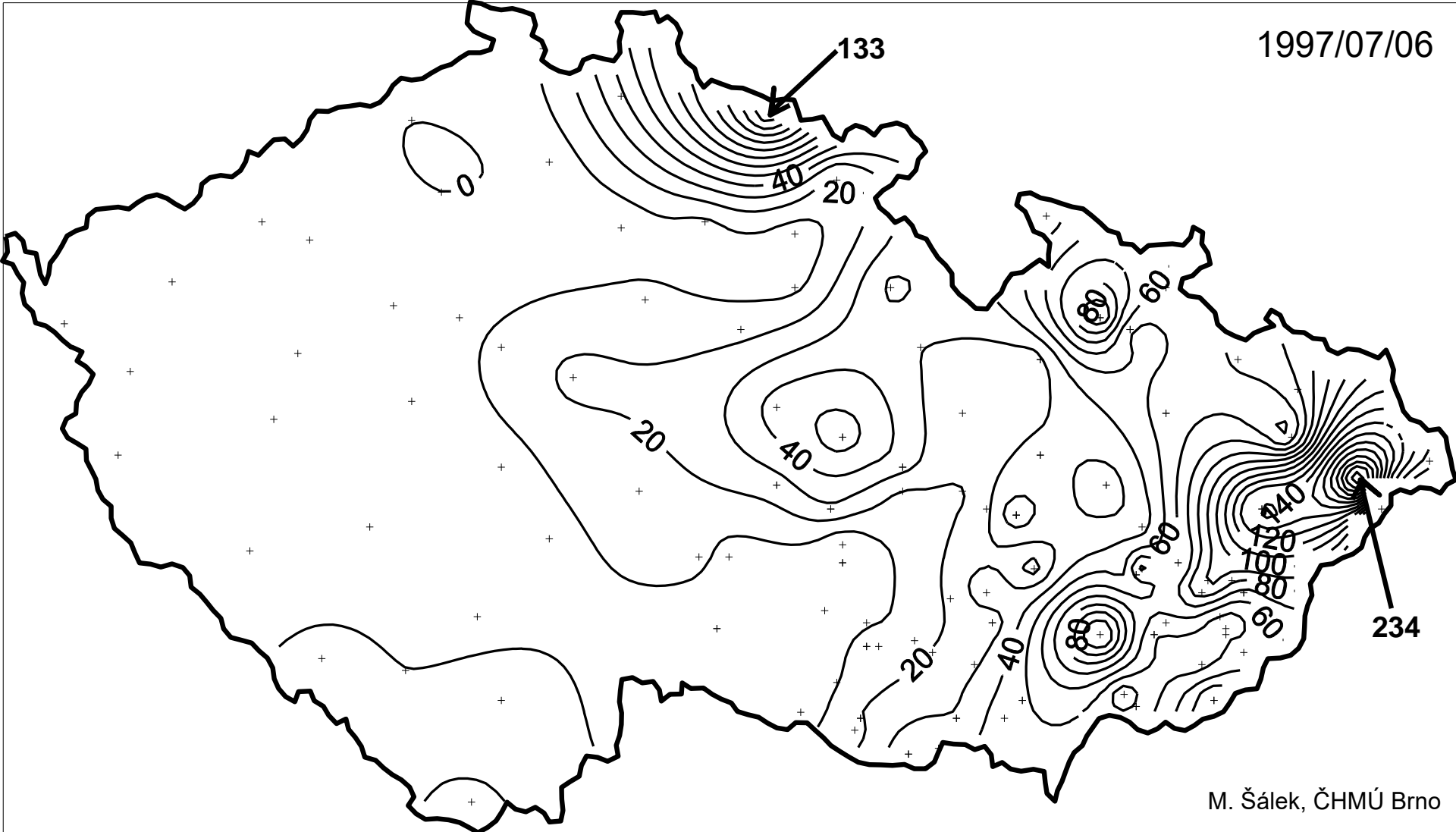
0m



30



1997/07/06

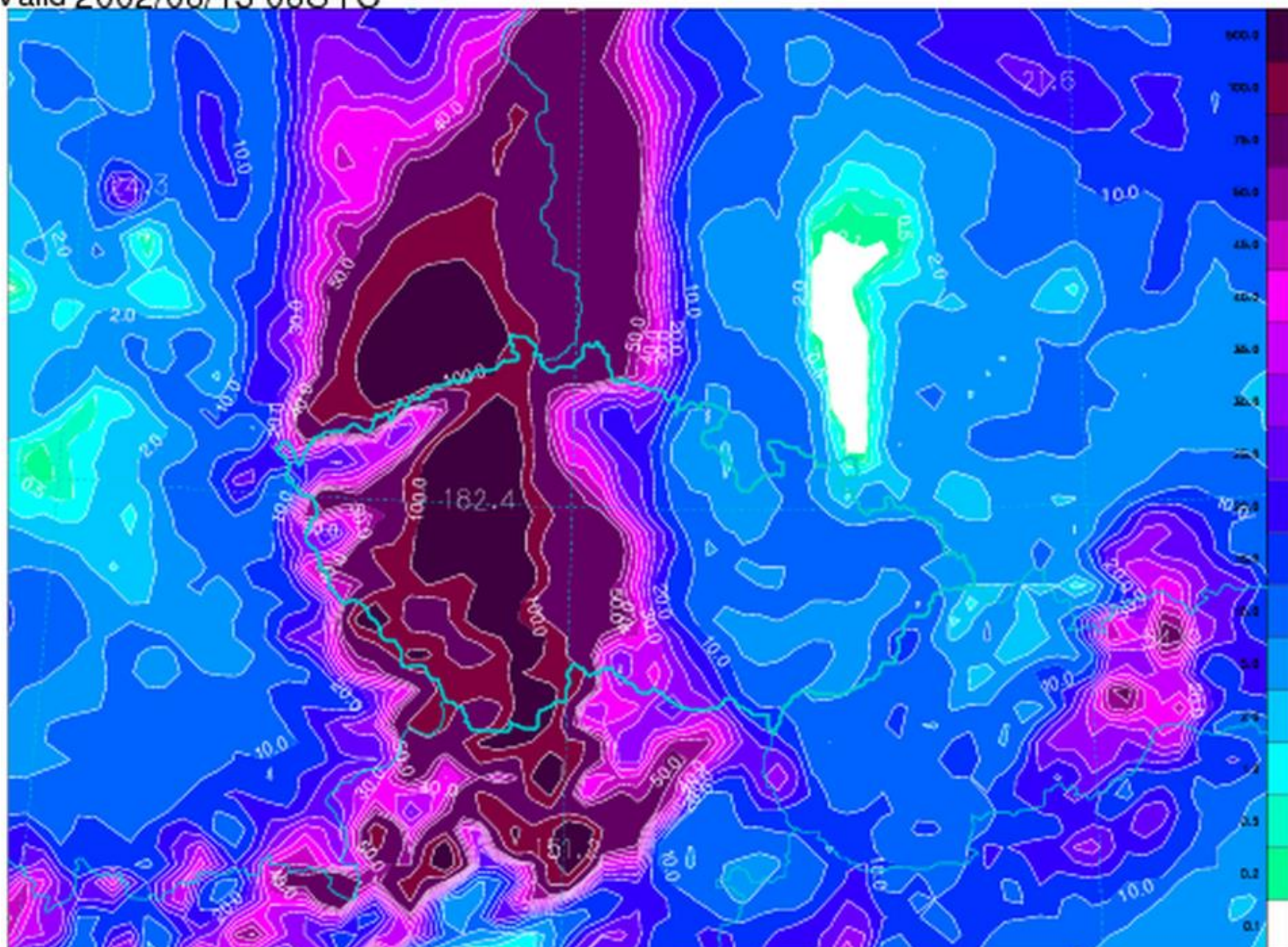


M. Šálek, ČHMÚ Brno

Base 2002/08/12 00UTC
Valid 2002/08/13 06UTC

30

celkove srazky [mm/24hod]



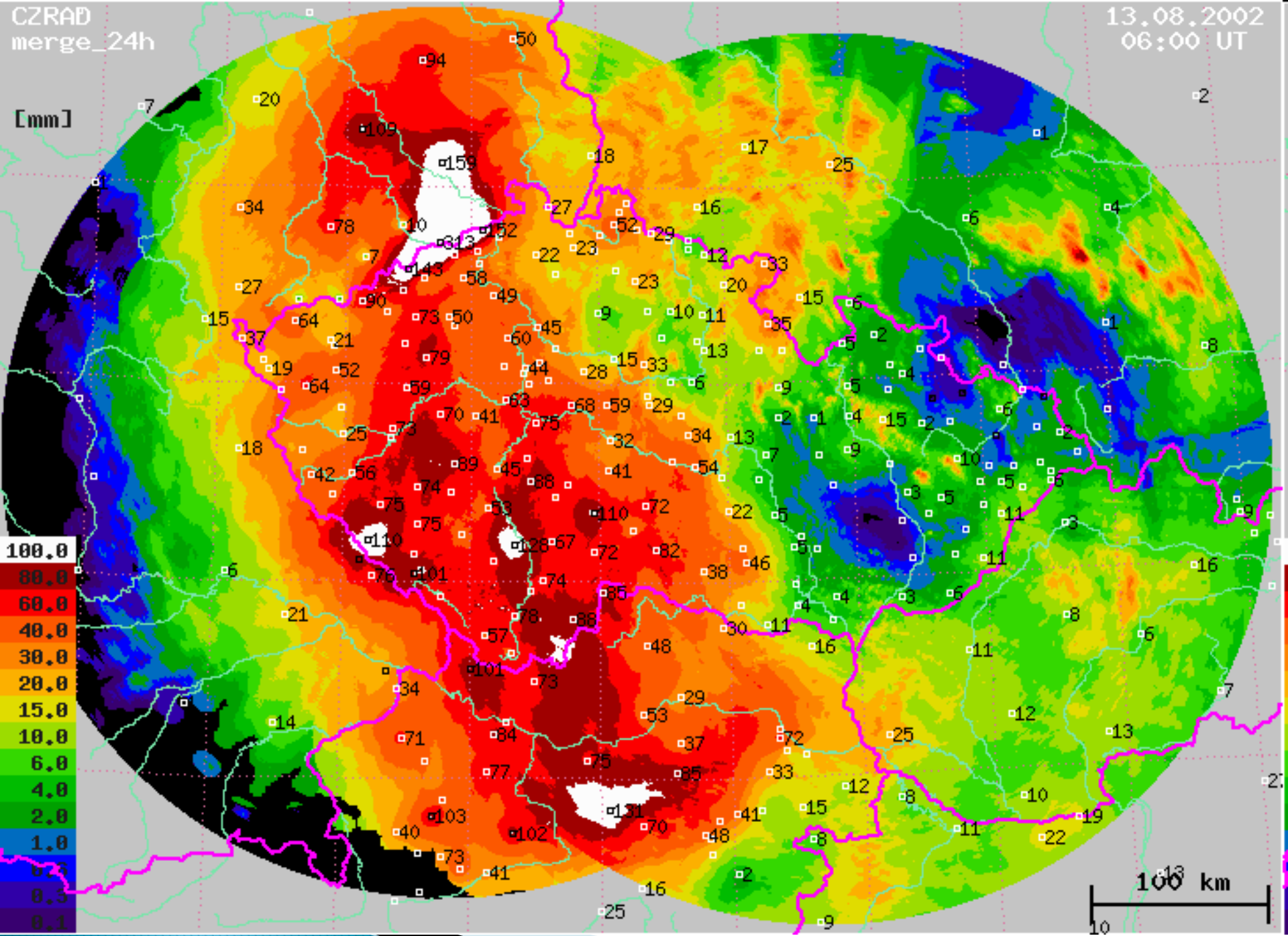
CZRAD
merge_24h

13.08.2002
06:00 UT

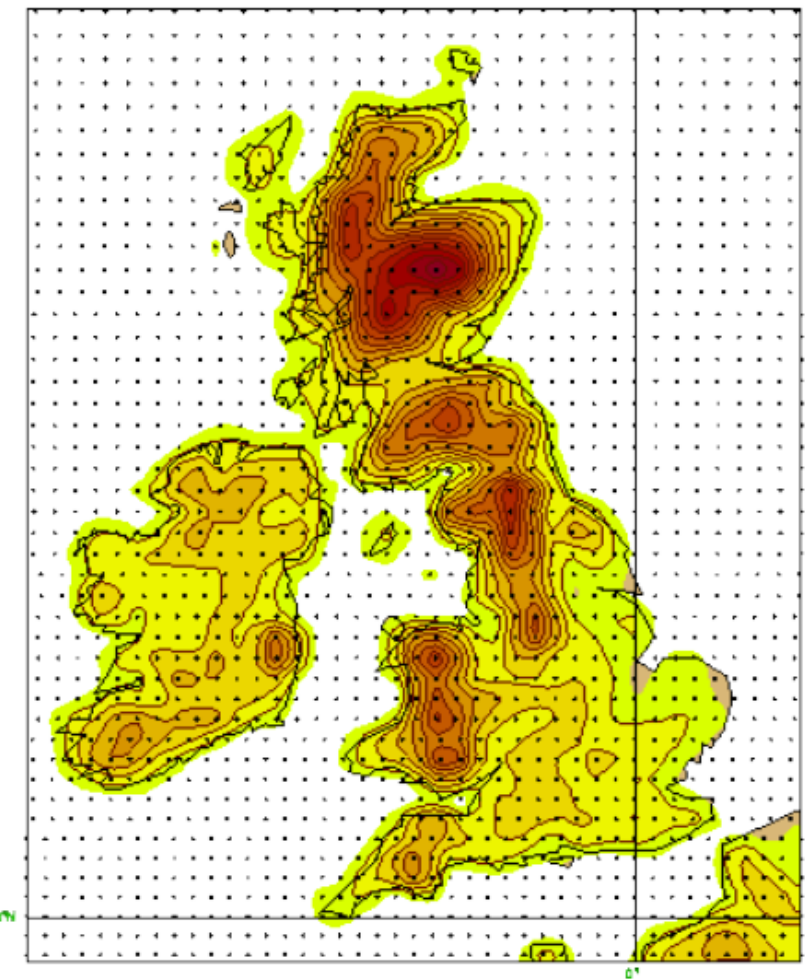
[mm]

100.0
80.0
60.0
40.0
30.0
20.0
15.0
10.0
6.0
4.0
2.0
1.0
0.5
0.1

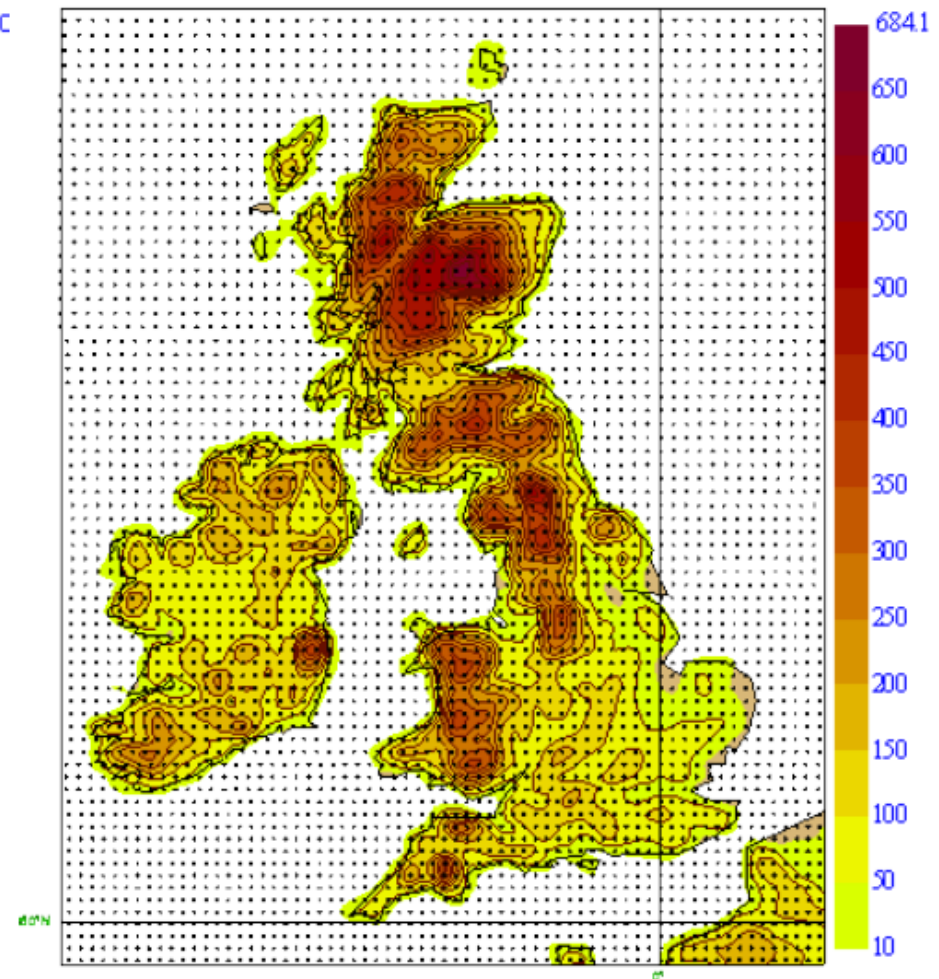
100 km



Od ledna 2010 má deterministický model ECMWF horizontální rozlišení 16 km



*N400 (T799) 25km grid spacing
(843490 grid points)*

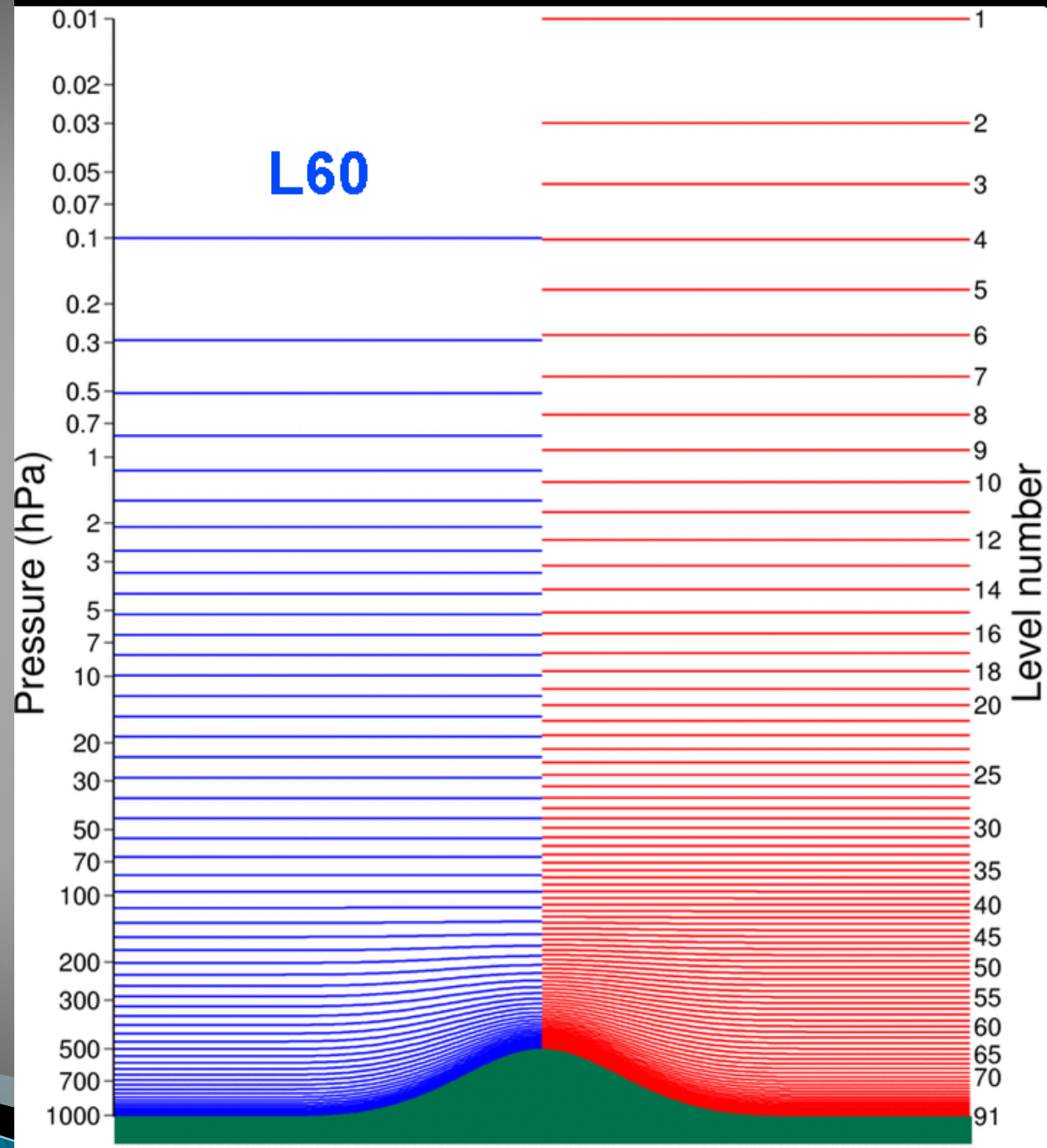


*N640 (T1279) 16km grid spacing
(2140704 grid points)*

L91

L60

Vertikální
rozlišení před a
po změně
ECMWF modelu
v roce 2006
(nyní 137
hladin)



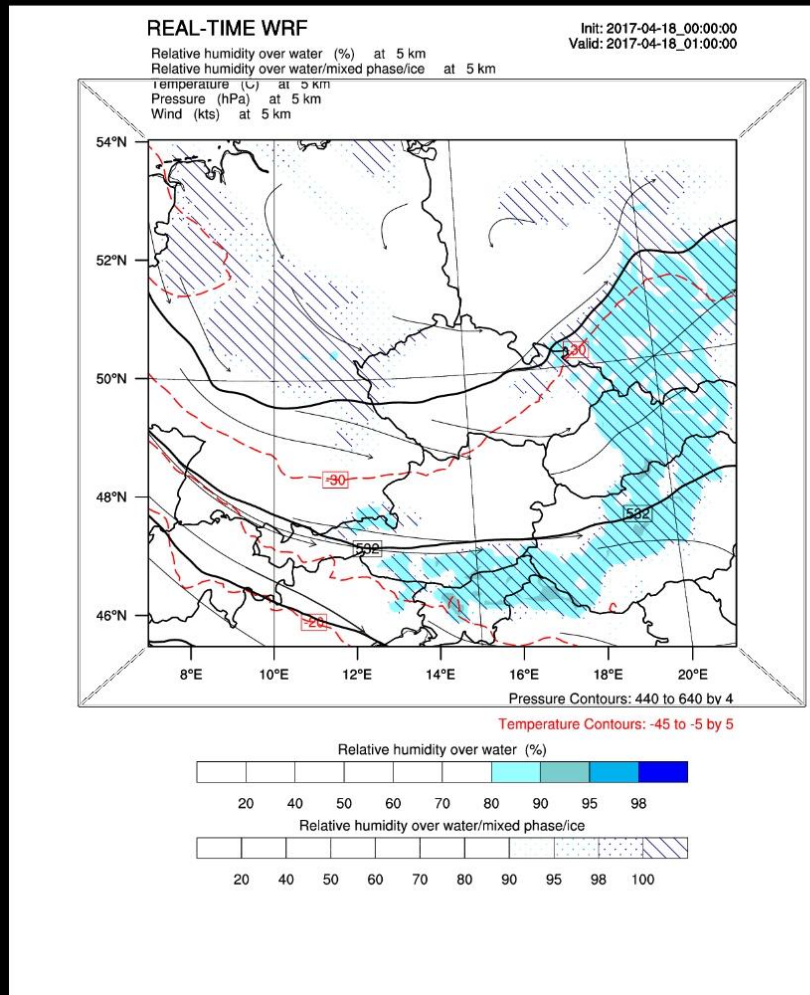
Srážky v numerickém modelu

– srážky „velkoprostorové“ se počítají z vertikálních rychlostí a vlhkosti vzduchu „odstraněním“ specifické vlhkosti, která přesáhla určitou kritickou velikost (vlhkost, při které je vzduch nasycen vodní parou). Takto „odstraněná“ voda propadává níže a podle konkrétních podmínek v níže ležících hladinách se vypařuje nebo narůstá a výsledné množství se na zemi počítá jako srážky.

Srážky v numerickém modelu

– srážky konvektivní („subgridové“) jsou počítány pomocí tzv. konvektivní parametrizace, což je schéma, které se snaží zjednodušeněji zachytit velmi komplexní jevy spojené s konvekcí – např. přenos vlhkosti, tepla, interakce mezi jednotlivými konvektivními proudy apod.

3D vizualizace modelu WRF



Deterministický chaos

- ▶ Důležitou vlastností základních (parciálních diferenciálních) rovnic popisujících dynamiku a termodynamiku atmosféry je jejich **nelinearita**, jejíž výsledkem je citlivá závislost na počátečních podmínkách
- ▶ efekt **motýlích křídel**, tzn., že o málo **pozměněné vstupní údaje** (např. pole tlaku, teploty apod.) se mohou promítnout do **zcela rozdílných scénářů vývoje** (takto vznikla v 60. letech též díky meteorologu E. Lorenzovi teorie chaosu).

Deterministický chaos

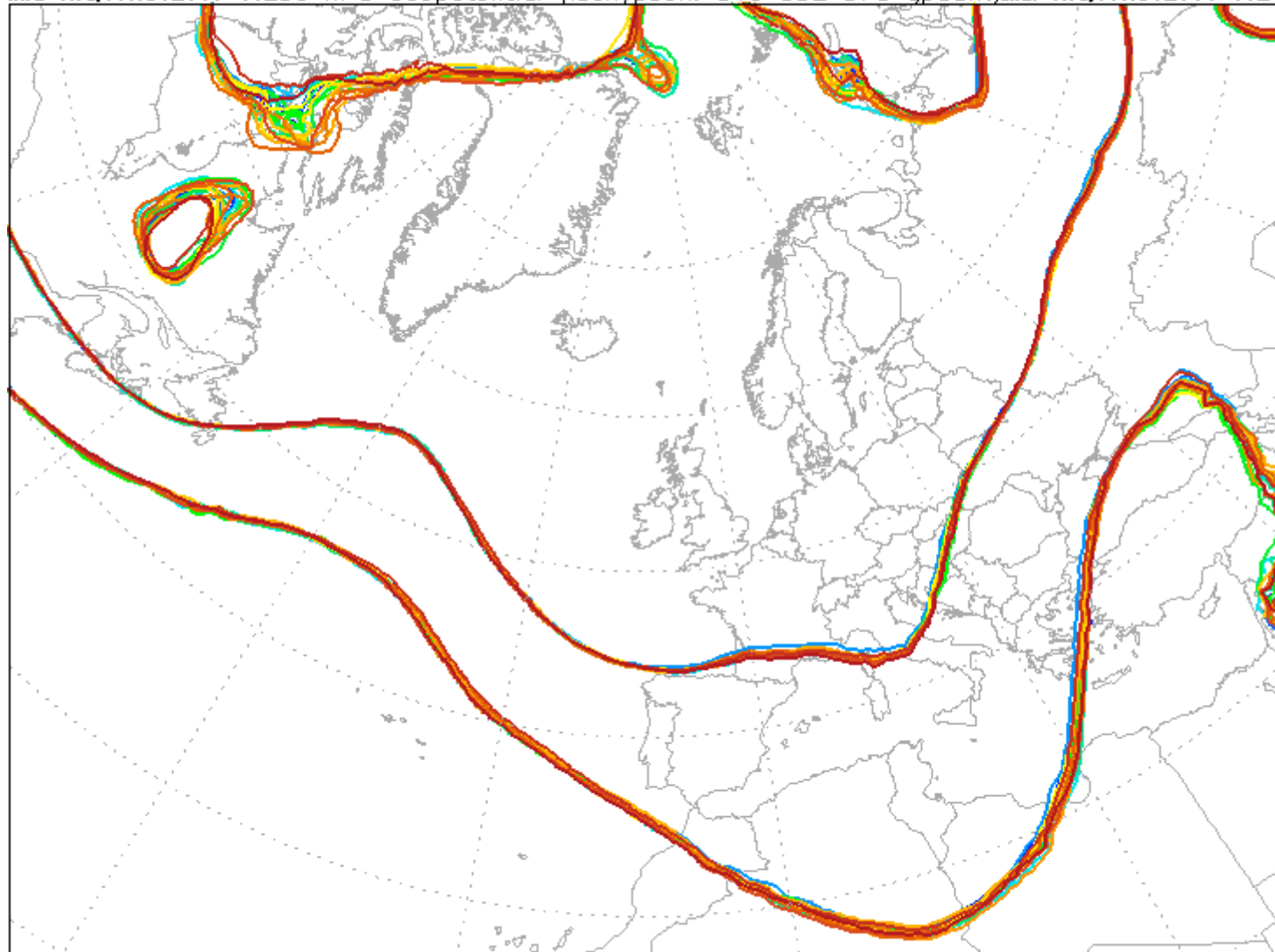
Zmíněná vlastnost těchto modelů vedla k postupům, kdy více modelových výpočtů s lehce pozměněnými (perturbovanými) vstupními údaji podává informaci o pravděpodobnosti scénářů vývoje počasí. Takto získané předpovědi získaly jméno **skupinové** (slangově ansámblové). Z praktických výpočtů pak vyplývá, že model (modely) je vhodné počítat pouze na nejvýše 10–15 dnů dopředu.

Ukázka výsledku skupinové předpovědi

Na následujících obrázcích jsou křivky, které přibližně představují proudnice ve výšce asi 5,5 km nad Evropou

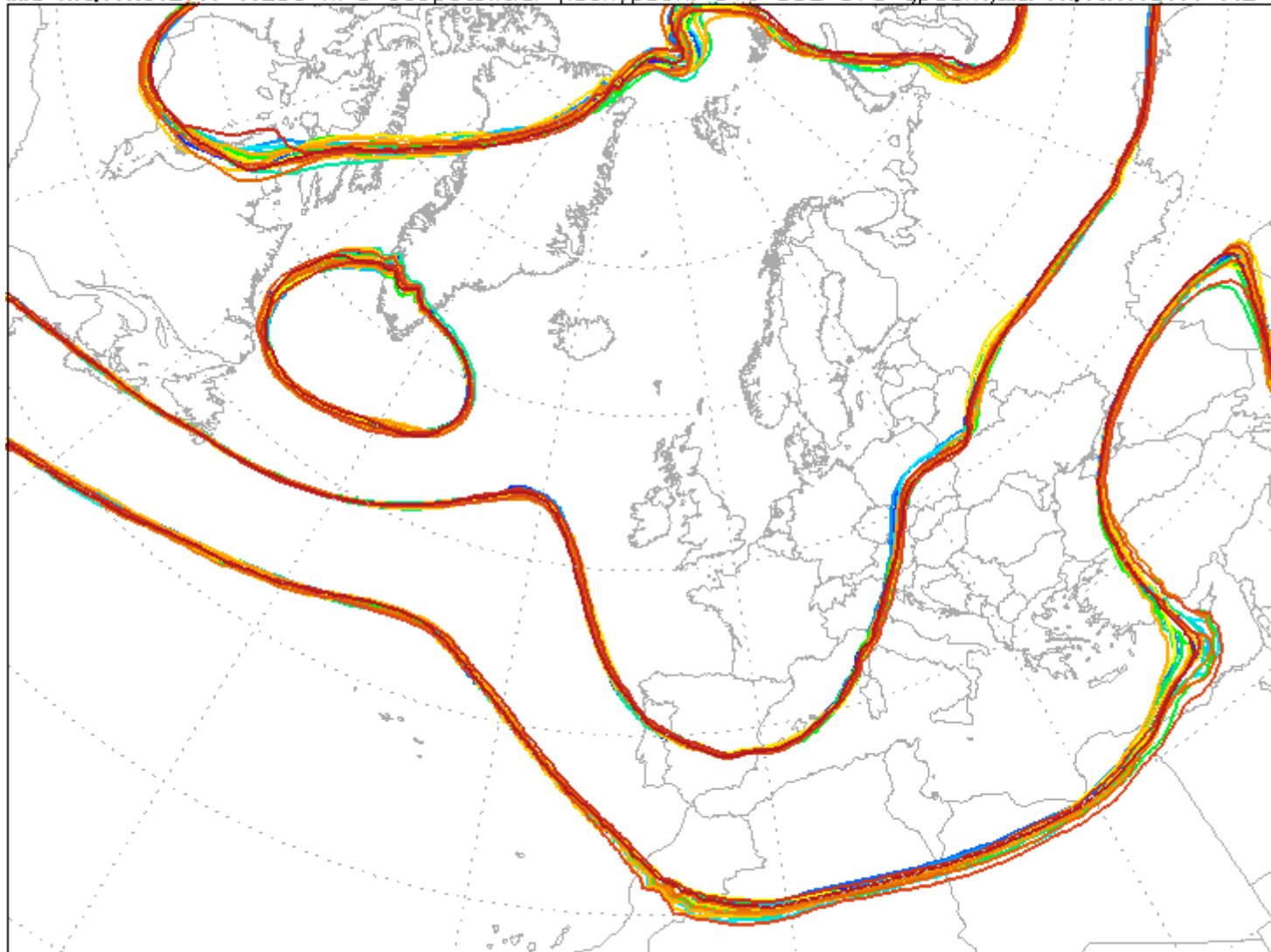
Přesněji: předem stanovené hodnoty izohyps geopotenciálu hladiny 500 hPa: 516, 556, 572

Init: Thu,07NOV2019 00Z00 hPa Geopotential (Isohypsen: 516 552 576 qpdanValid: Thu,07NOV2019 00Z



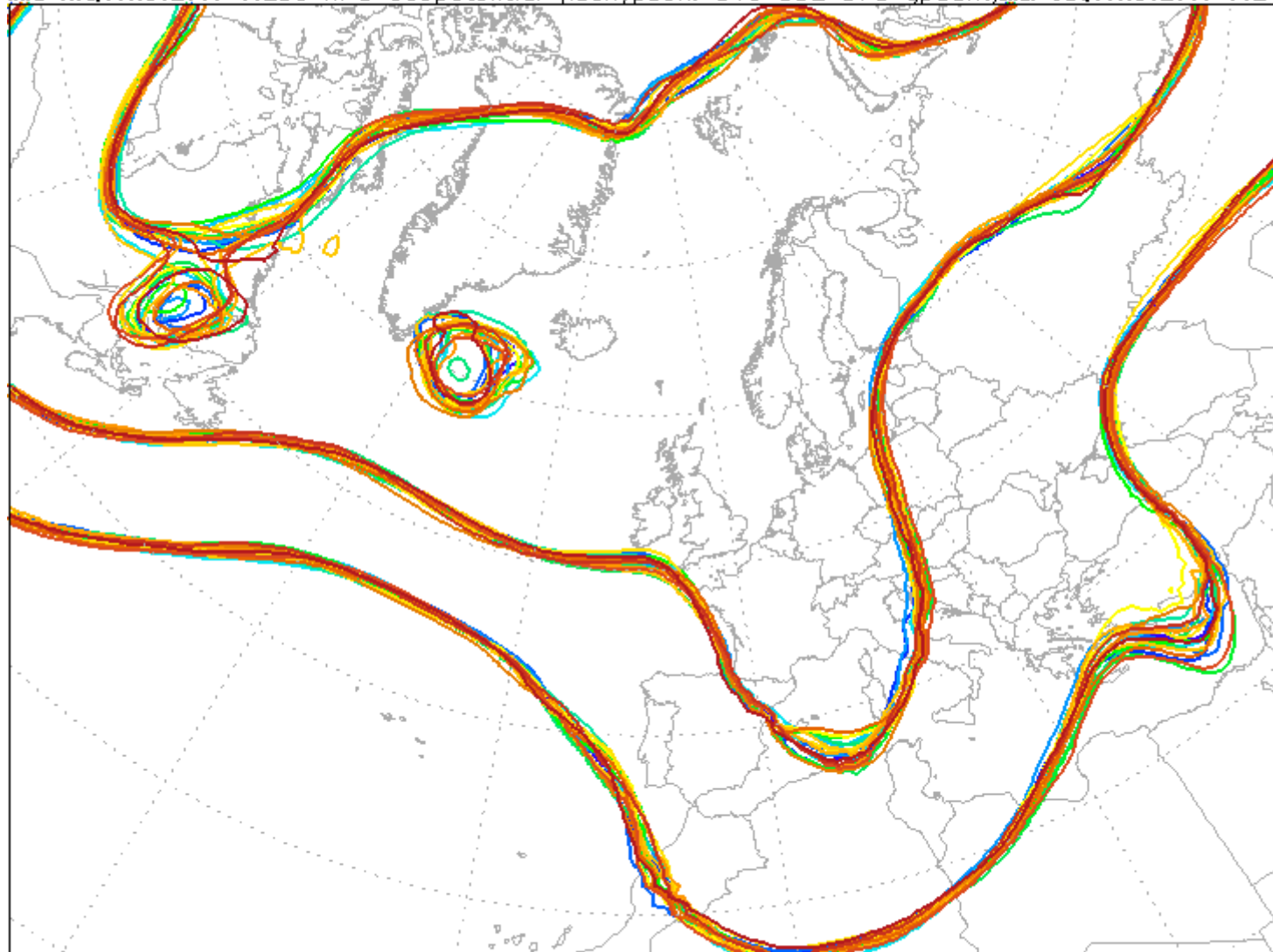
Data: GFS ENS
(C) Wetterzentrale
www.wetterzentrale.de

Init: Thu,07NOV2019 00Z00 hPa Geopotential (Isohypsen: 516 552 576 qpdanValid: Fri,08NOV2019 00Z



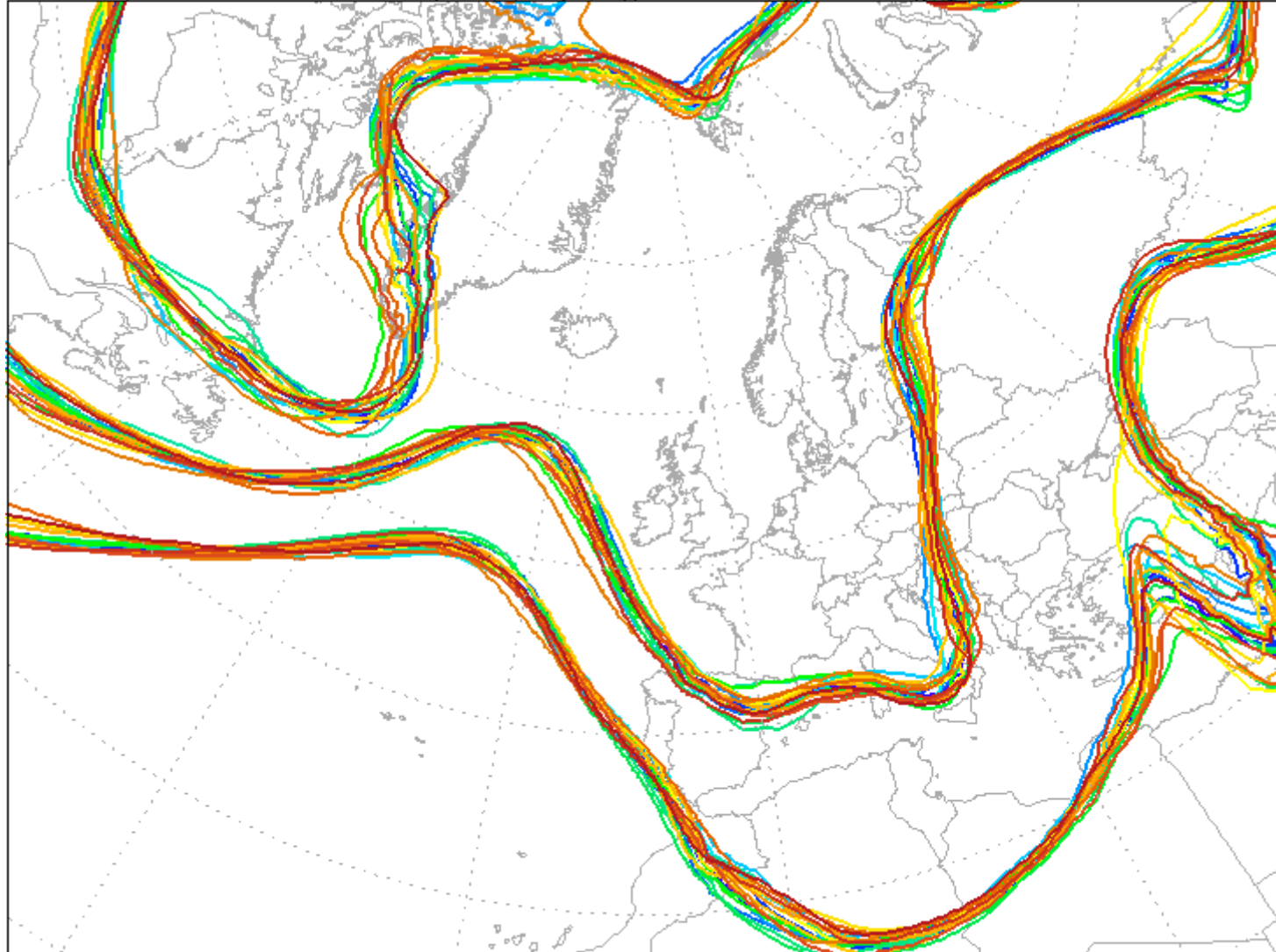
Data: GFS ENS
(C) Wetterzentrale
www.wetterzentrale.de

Init: Thu,07NOV2019 00Z00 hPa Geopotential (Isohypsen: 516 552 576 qpdanValid: Sat,09NOV2019 00Z



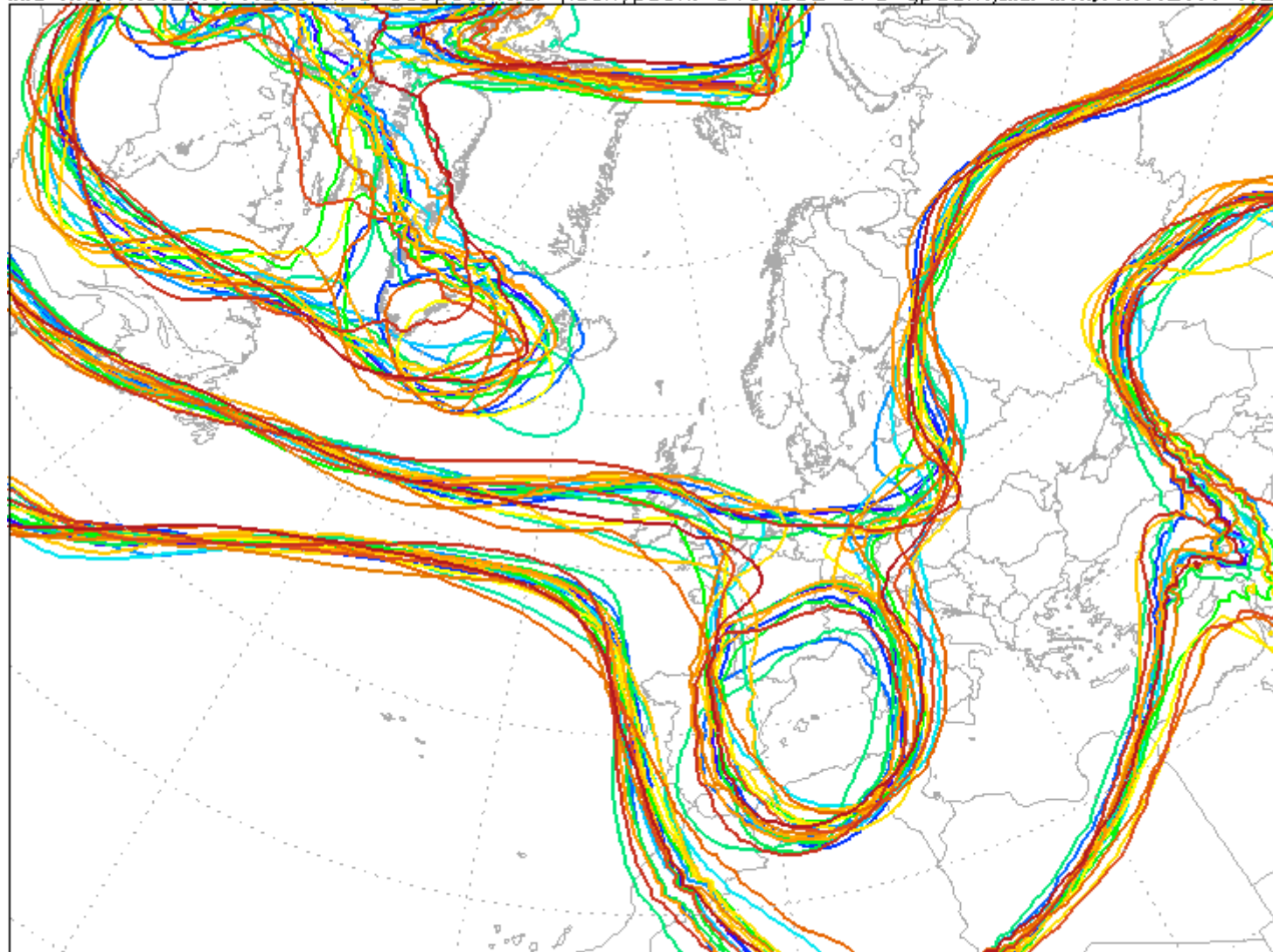
Data: GFS ENS
(C) Wetterzentrale
www.wetterzentrale.de

Init: Thu,07NOV2019 00Z00 hPa Geopotential (Isoplethen: 516 552 576 qpdanValid: Sun,10NOV2019 00Z



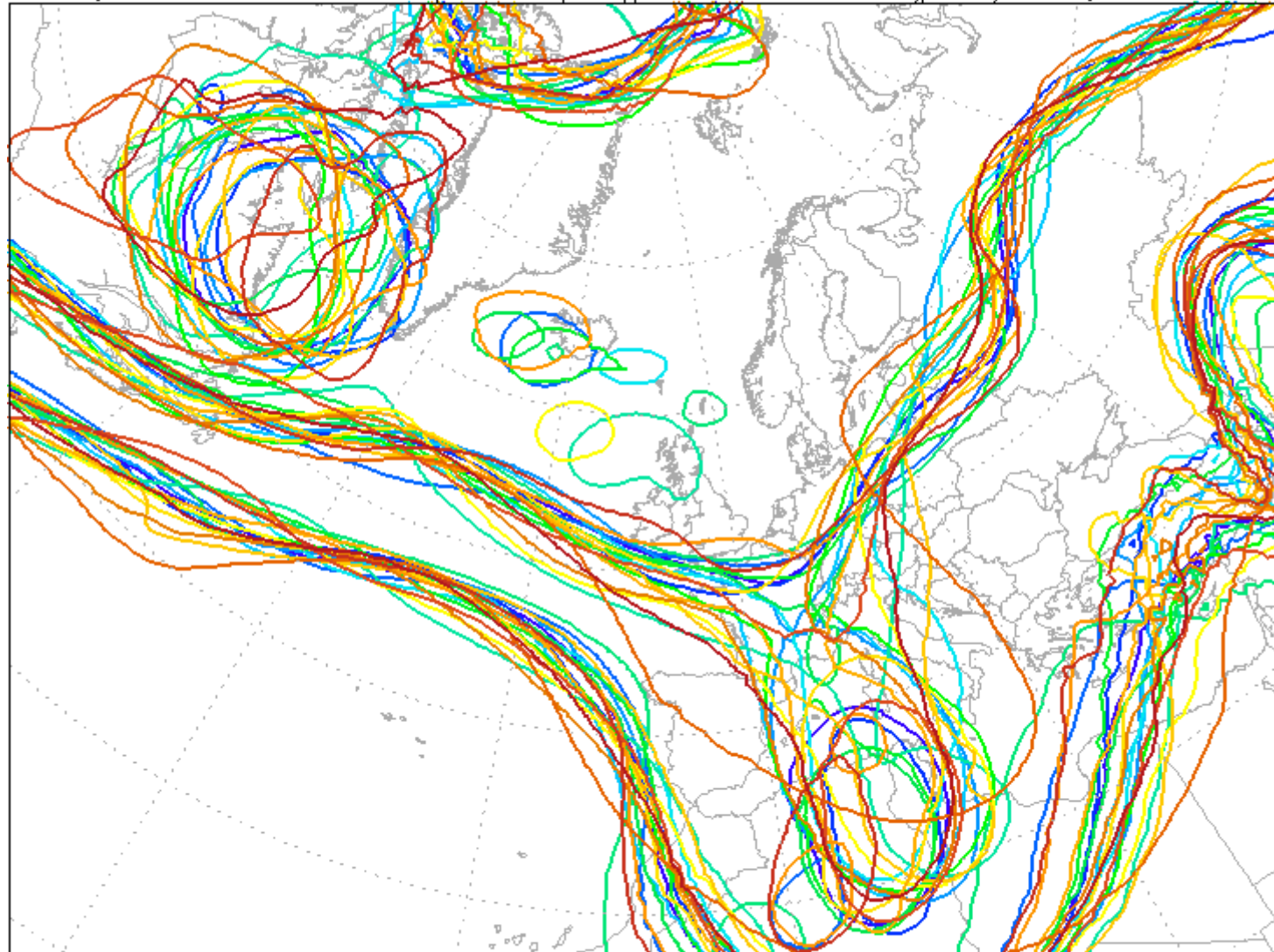
Data: GFS ENS
(C) Wetterzentrale
www.wetterzentrale.de

Init: Thu,07NOV2019 00Z00 hPa Geopotential (Isohypse: 516 552 576 qpdanValid: Mon,11NOV2019 00Z



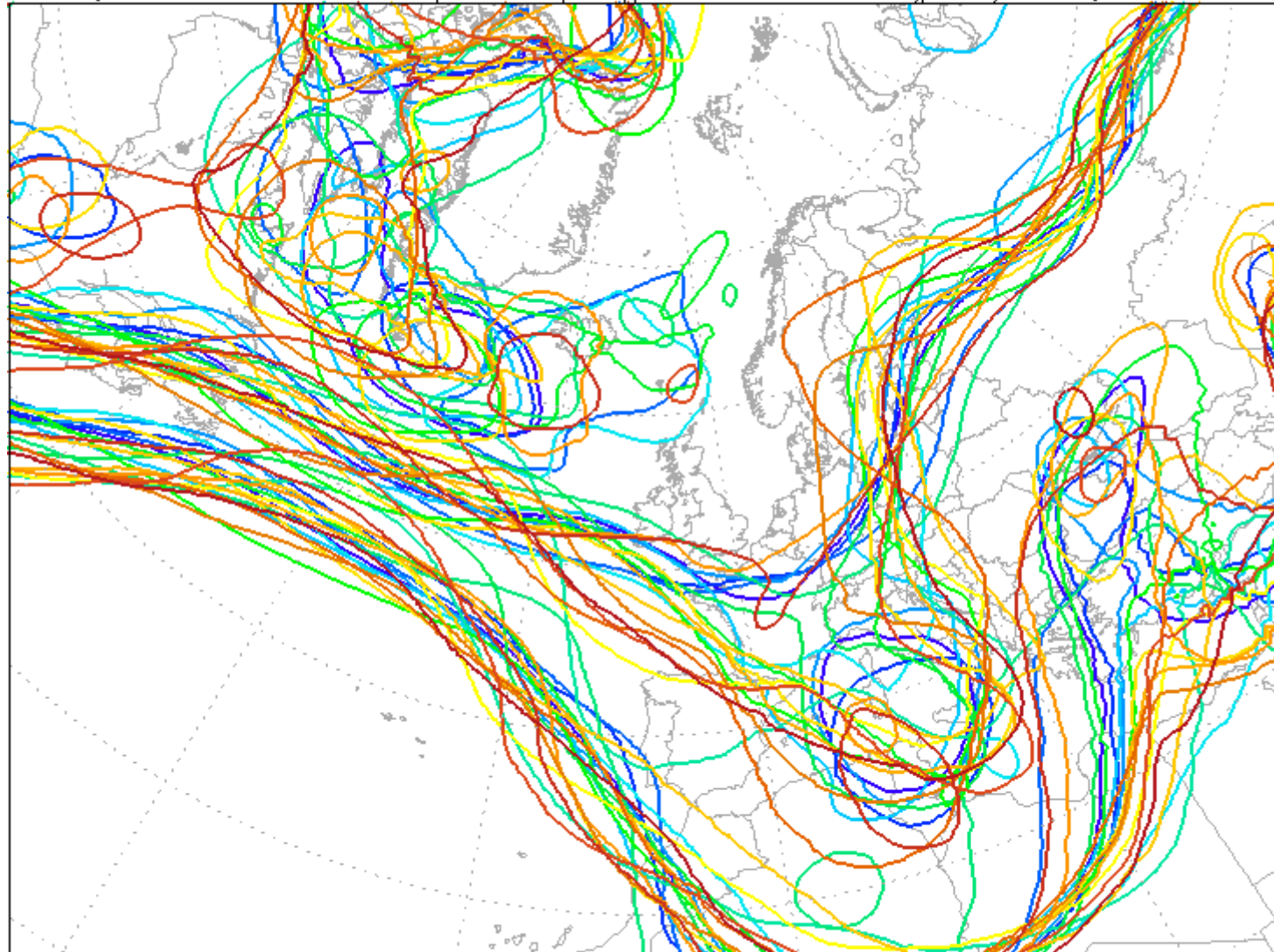
Data: GFS ENS
(C) Wetterzentrale
www.wetterzentrale.de

Init: Thu,07NOV2019 00Z00 hPa Geopotential (Isohypsen: 516 552 576 qpdanValid: Tue,12NOV2019 00Z



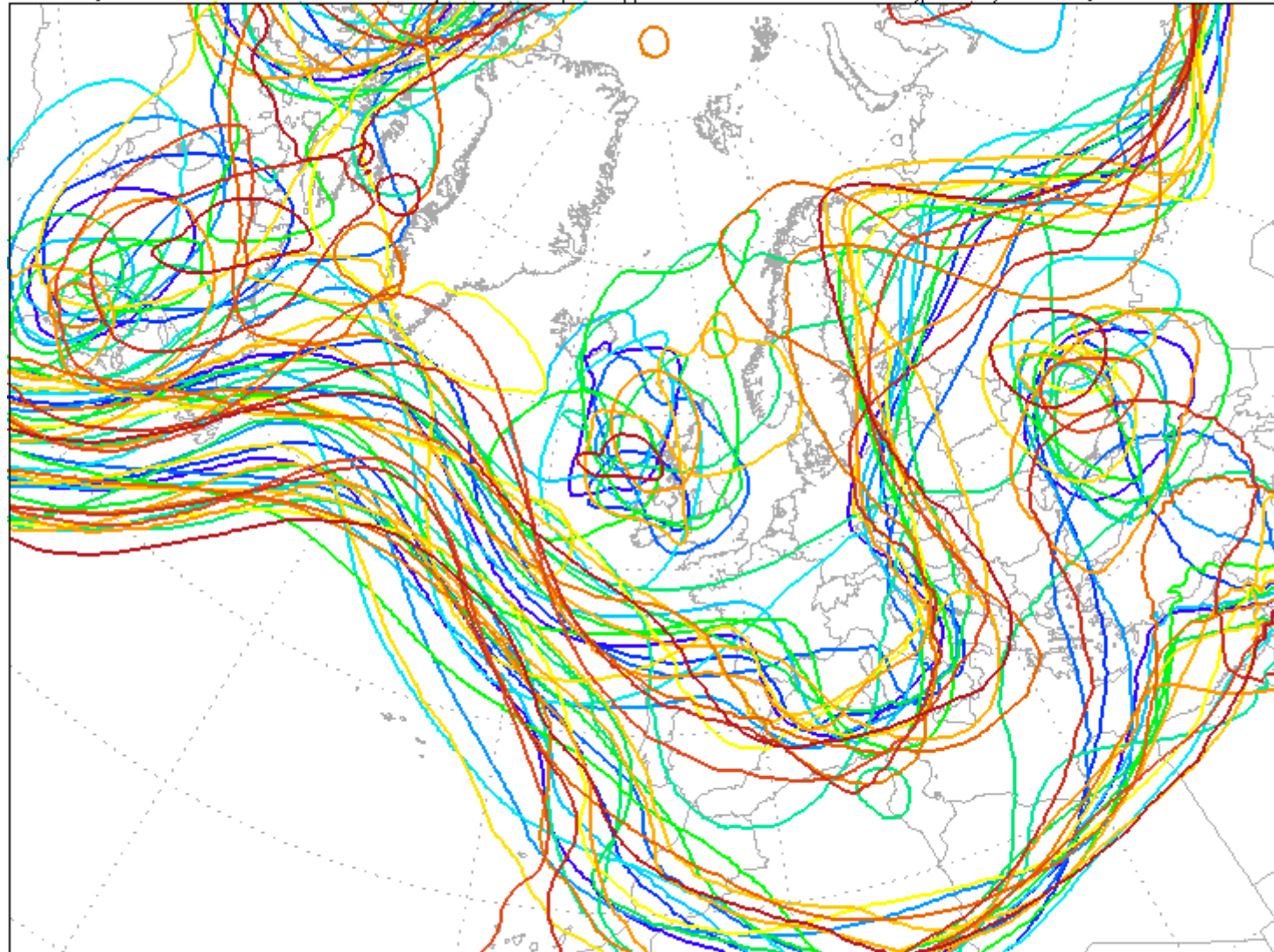
Data: GFS ENS
(C) Wetterzentrale
www.wetterzentrale.de

Init: Thu,07NOV2019 00Z00 hPa Geopotential (Isohypsen: 516 552 576 qpdanValid: Wed,13NOV2019 00Z



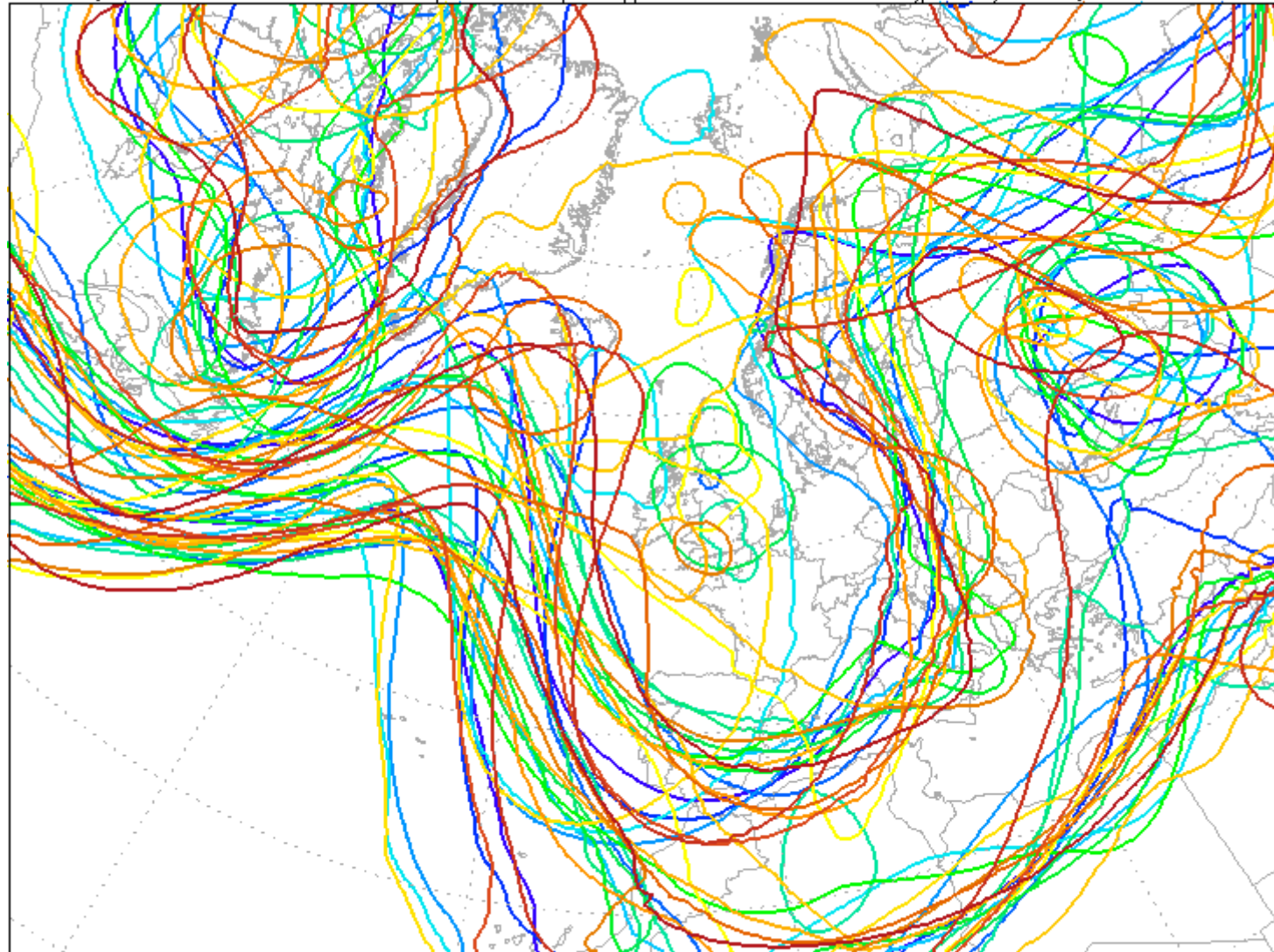
Data: GFS ENS
(C) Wetterzentrale
www.wetterzentrale.de

Init: Thu,07NOV2019 00Z00 hPa Geopotential (Isohypse: 516 552 576 qpdanValid: Thu,14NOV2019 00Z



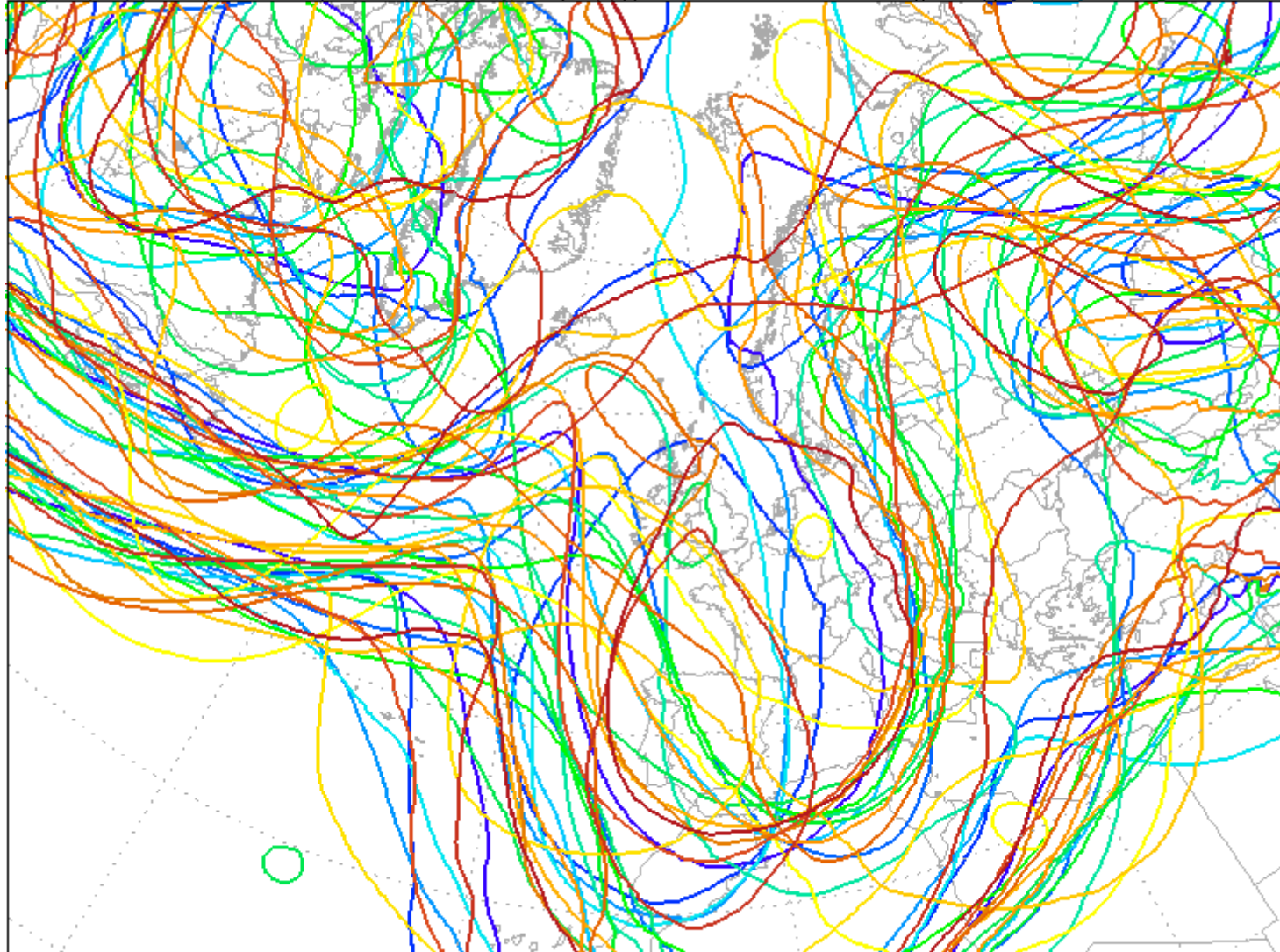
Data: GFS ENS
(C) Wetterzentrale
www.wetterzentrale.de

Init: Thu,07NOV2019 00Z00 hPa Geopotential (Isohypse: 516 552 576 qpdanValid: Fri,15NOV2019 00Z



Data: GFS ENS
(C) Wetterzentrale
www.wetterzentrale.de

Init Thu,07NOV2019 00Z00 hPa Geopotential (Isohypsen: 516 552 576 qpdanValid: Sat,16NOV2019 00Z



Data: GFS ENS
(C) Wetterzentrale
www.wetterzentrale.de

Init: Thu,07NOV2019 00Z00 hPa Geopotential (Isohypsen: 516 552 576 qpdanValid: Sun,17NOV2019 00Z



Data: GFS ENS
(C) Wetterzentrale
www.wetterzentrale.de

Init: Thu,07NOV2019 00Z00 hPa Geopotential (Isohypsen: 516 552 576 qpdanValid: Mon,18NOV2019 00Z



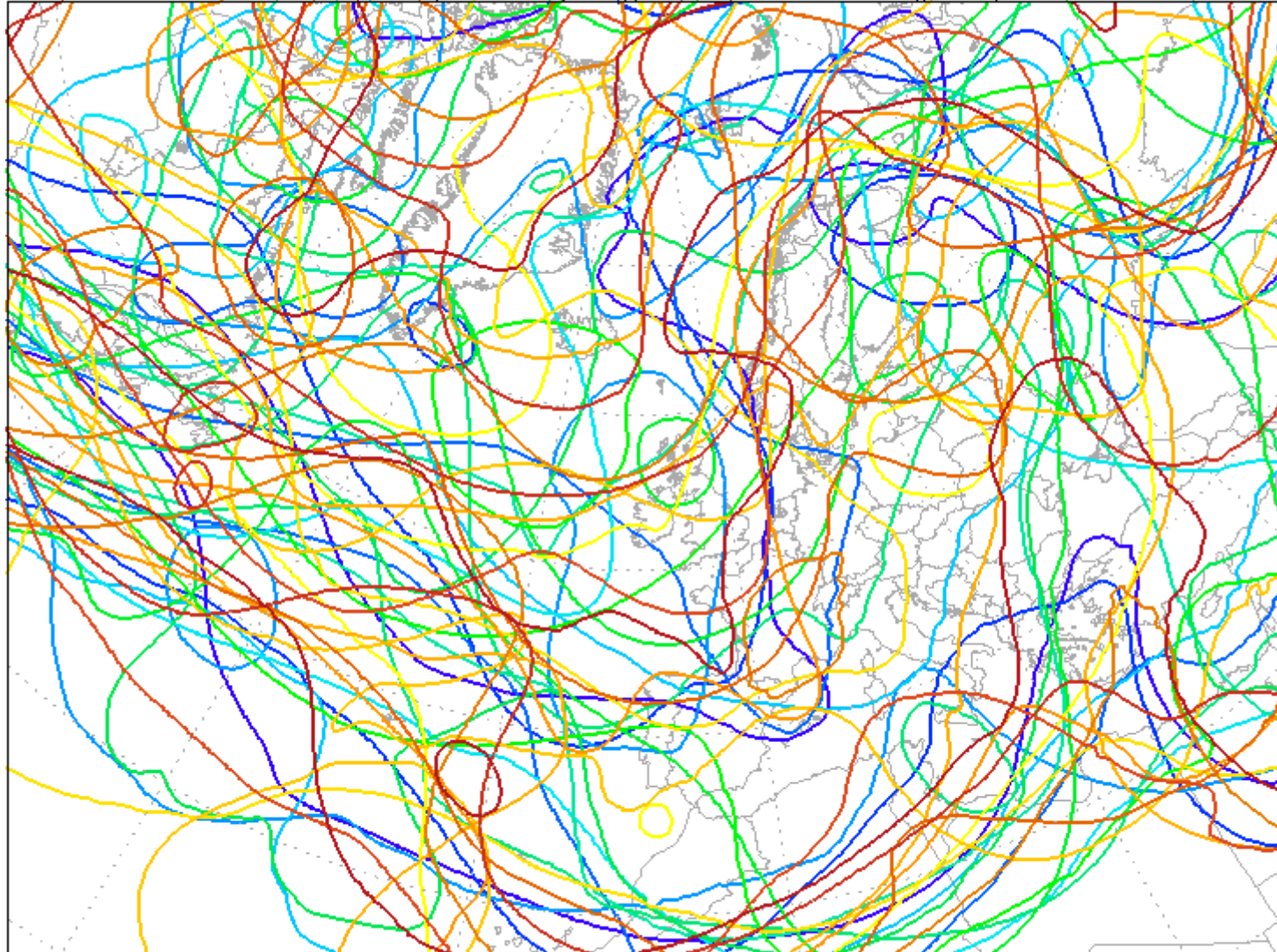
Data: GFS ENS
(C) Wetterzentrale
www.wetterzentrale.de

Init: Thu,07NOV2019 00Z00 hPa Geopotential (Isohypsen: 516 552 576 qpdanValid: Tue,19NOV2019 00Z



Data: GFS ENS
(C) Wetterzentrale
www.wetterzentrale.de

Init: Thu,07NOV2019 00Z00 hPa Geopotential (Isohypse: 516 552 576 qpdanValid: Wed,20NOV2019 00Z



Data: GFS ENS
(C) Wetterzentrale
www.wetterzentrale.de

Init Thu,07NOV2019 00Z00 hPa Geopotential (Isohypse: 516 552 576 qpdanValid: Thu,21NOV2019 00Z



Data: GFS ENS
(C) Wetterzentrale
www.wetterzentrale.de

Init: Thu,07NOV2019 00Z00 hPa Geopotential (Isohypsen: 516 552 576 qpdanValid: Fri,22NOV2019 00Z



Data: GFS ENS
(C) Wetterzentrale
www.wetterzentrale.de

Init: Thu,07NOV2019 00Z00 hPa Geopotential (Isohypsen: 516 552 576 qpdanValid: Sat,23NOV2019 00Z

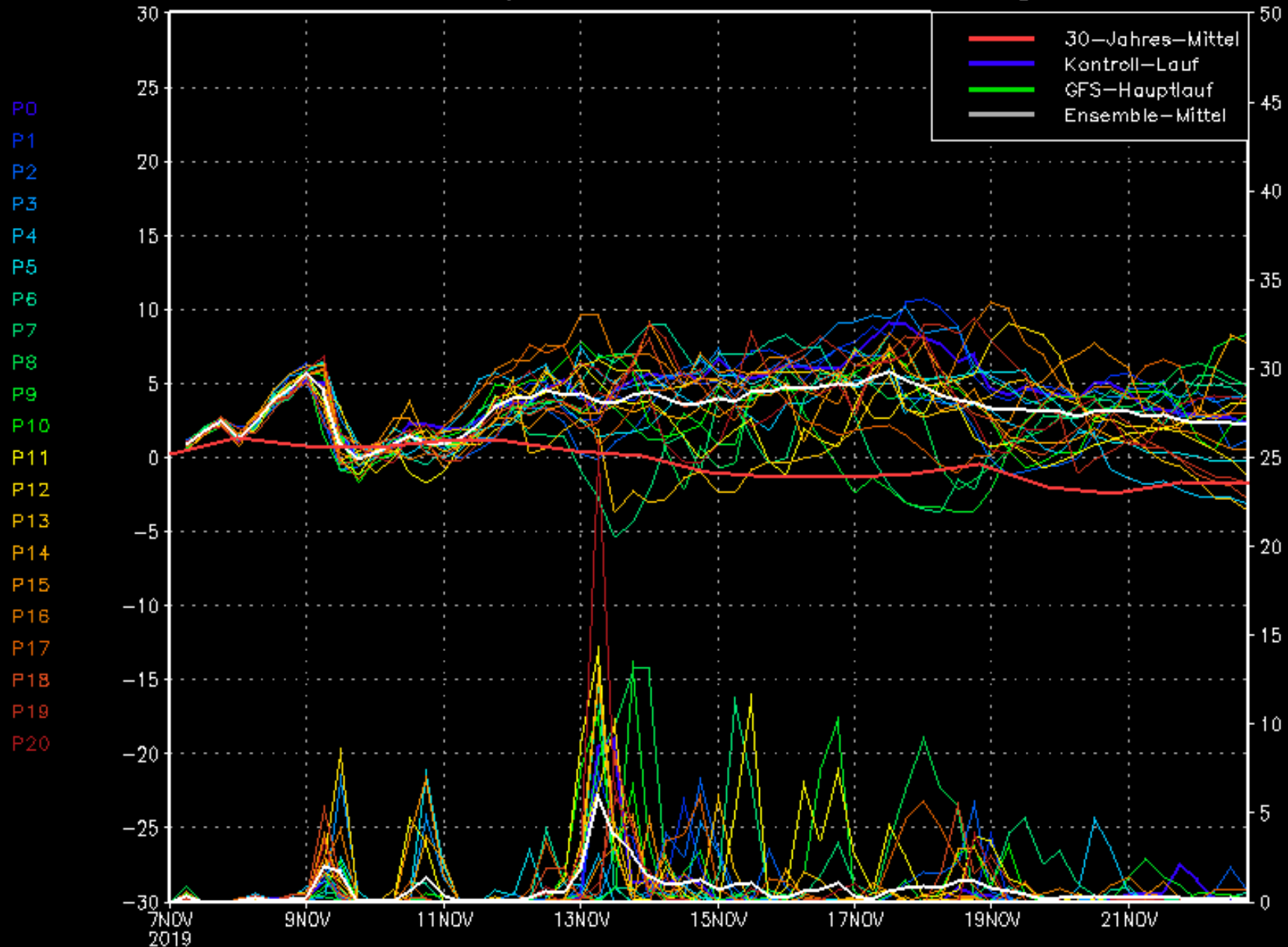


Data: GFS ENS
(C) Wetterzentrale
www.wetterzentrale.de

Position Lat: 49 Lon: 17

Thu,07NOV2019 00Z

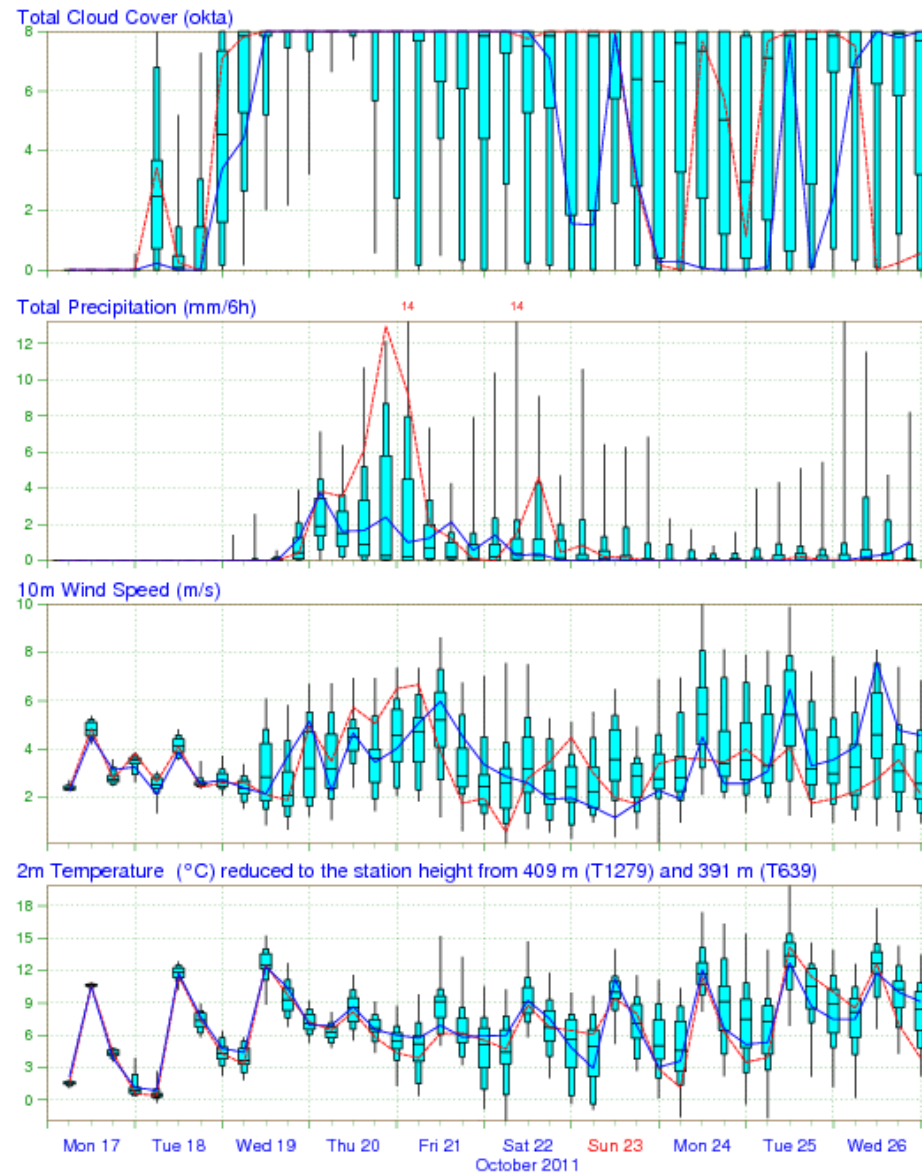
850 hPa Temp. in °C, 6h-Niederschlag in mm



Ukázky výstupů skupinových předpovědí

Z 50 předpovědí s perturbovanými počátečními podmínkami, počítanými v Evropském středisku pro střednědobou předpověď (ECMWF), je možno odhadnout rozdělení pravděpodobnosti meteorologických prvků. Následují ukázky těchto předpovědí.

EPS Meteogram
Brno 49.32°N 16.67°E (EPS land point) 212 m
Deterministic Forecast and EPS Distribution Monday 17 October 2011 00 UTC

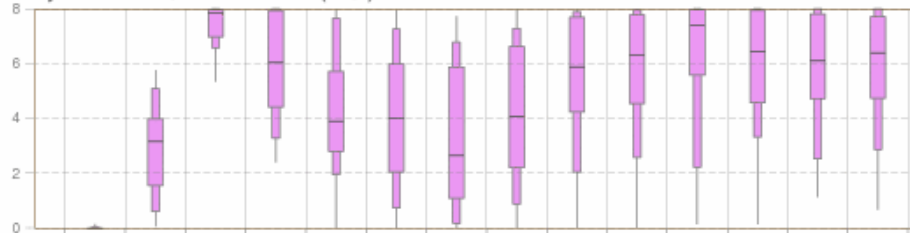


max
90%
75%
median
25%
10%
min
Magics++ 2.8.1

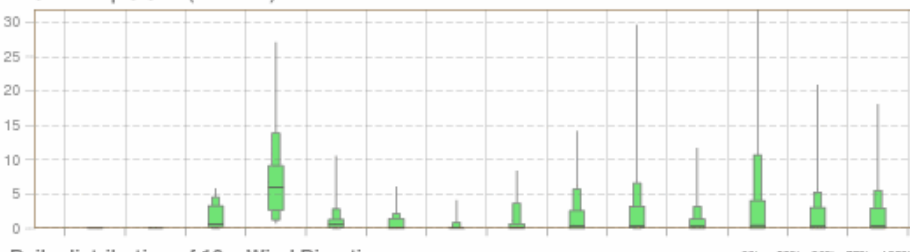
EPS Control(31 km) High Resolution Deterministic(16 km)

EPS Meteogram
Brno 49.14°N 16.8°E (EPS land point) 212 m
Extended Range Forecast based on EPS Distribution Sunday 16 October 2011 12 UTC

Daily mean of Total Cloud Cover (okta)



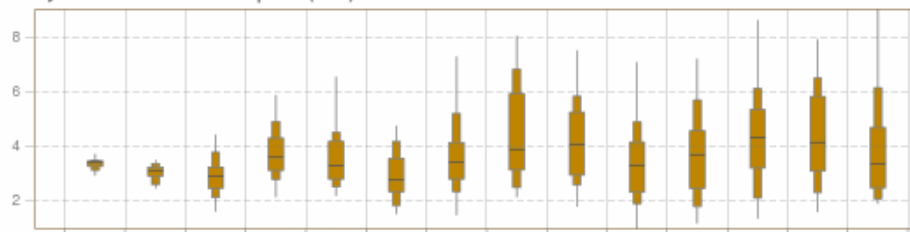
Total Precipitation (mm/24h)



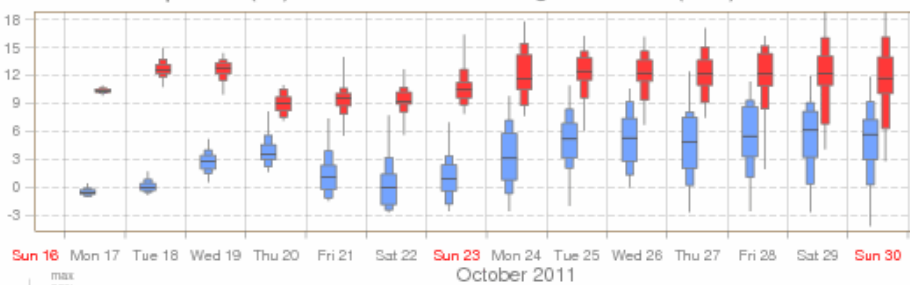
Daily distribution of 10m Wind Direction



Daily mean of 10m Wind Speed (m/s)



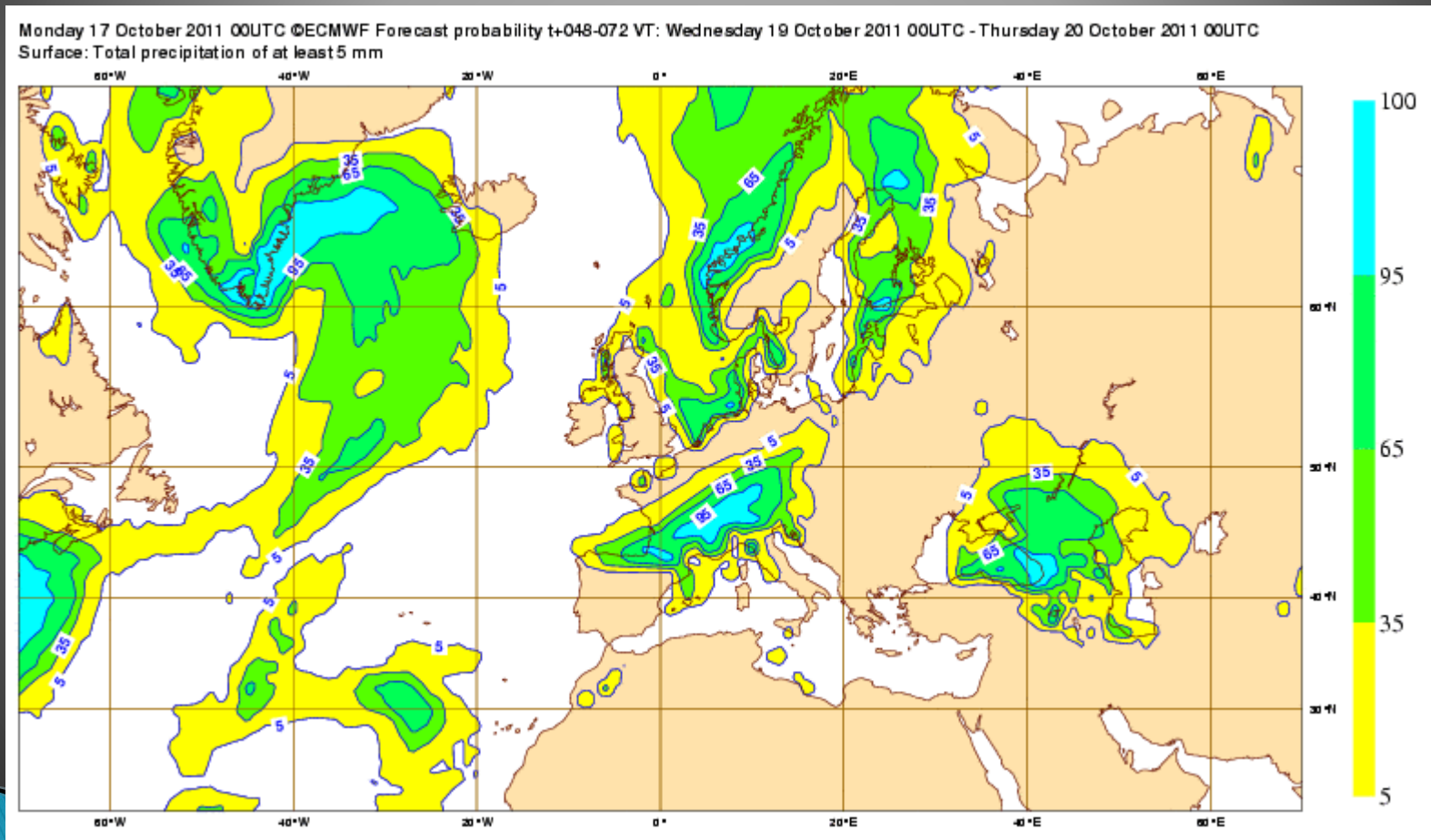
2m min/max temperature (°C) reduced to the station height from 290m (T319)



October 2011

max
90%
75%
median
25%
10%
min

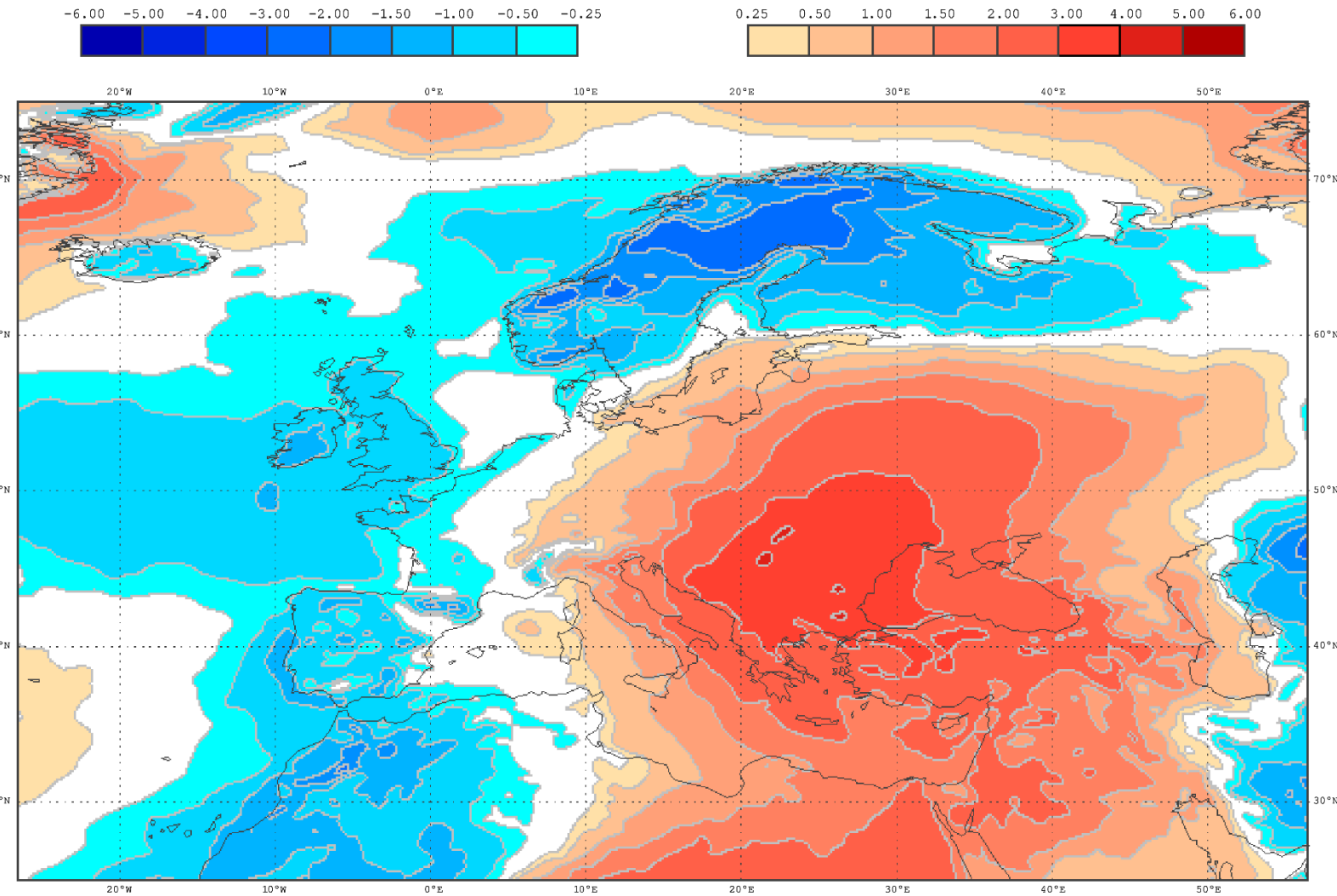
Pravděpodobnost srážek > 5 mm



Měsíční předpověď (spíše odhad)

Seasonal Temperature (T2m) Anomalies valid for month: November 2019

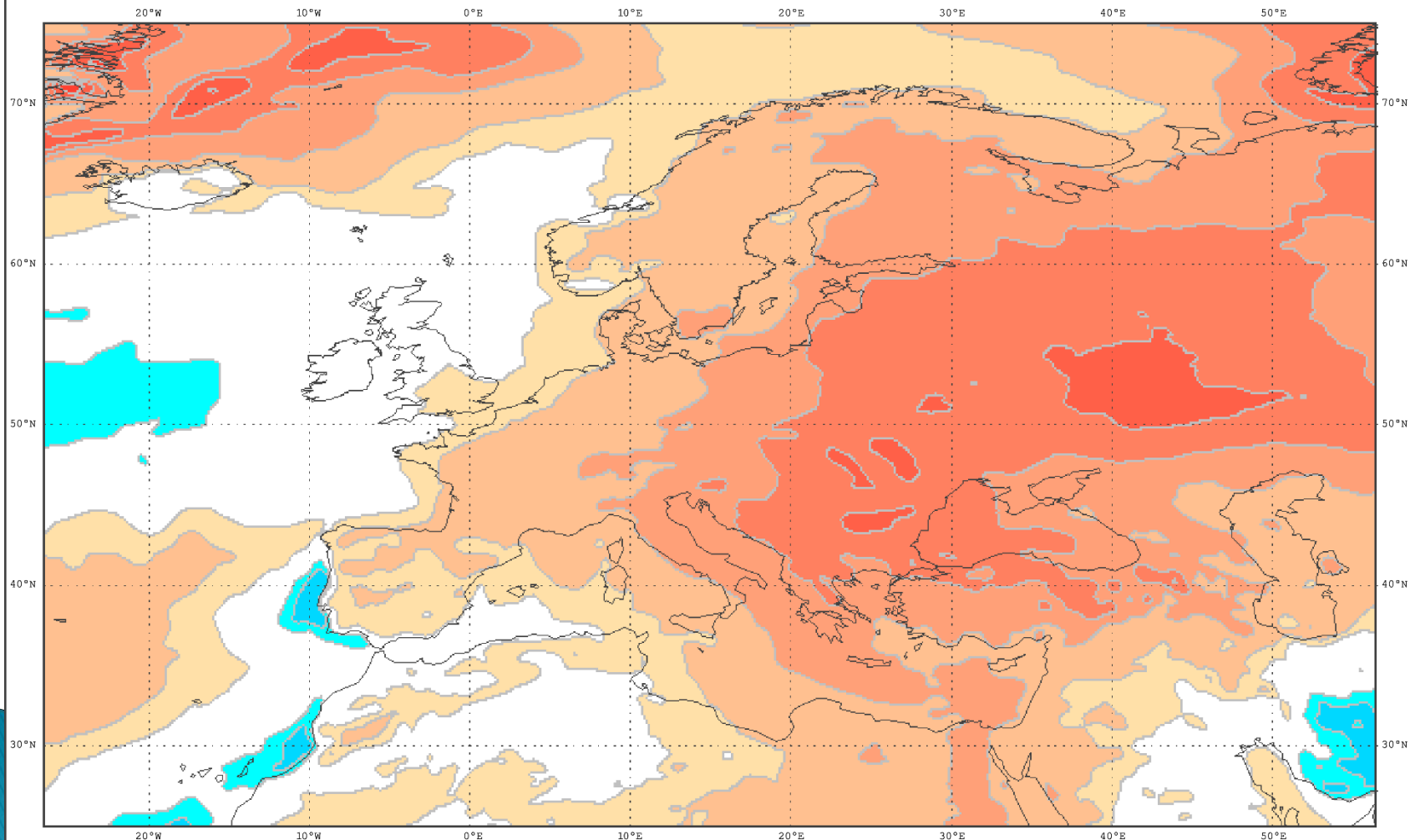
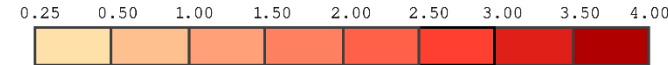
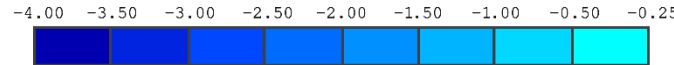
Map processed by EFFIS System based on ECMWF Seasonal Forecast System (S5) initiated on 01 November 2019
Estimated deviation (anomaly) of the mean from model climate in Celsius degrees



Měsíční předpověď (spíše odhad)

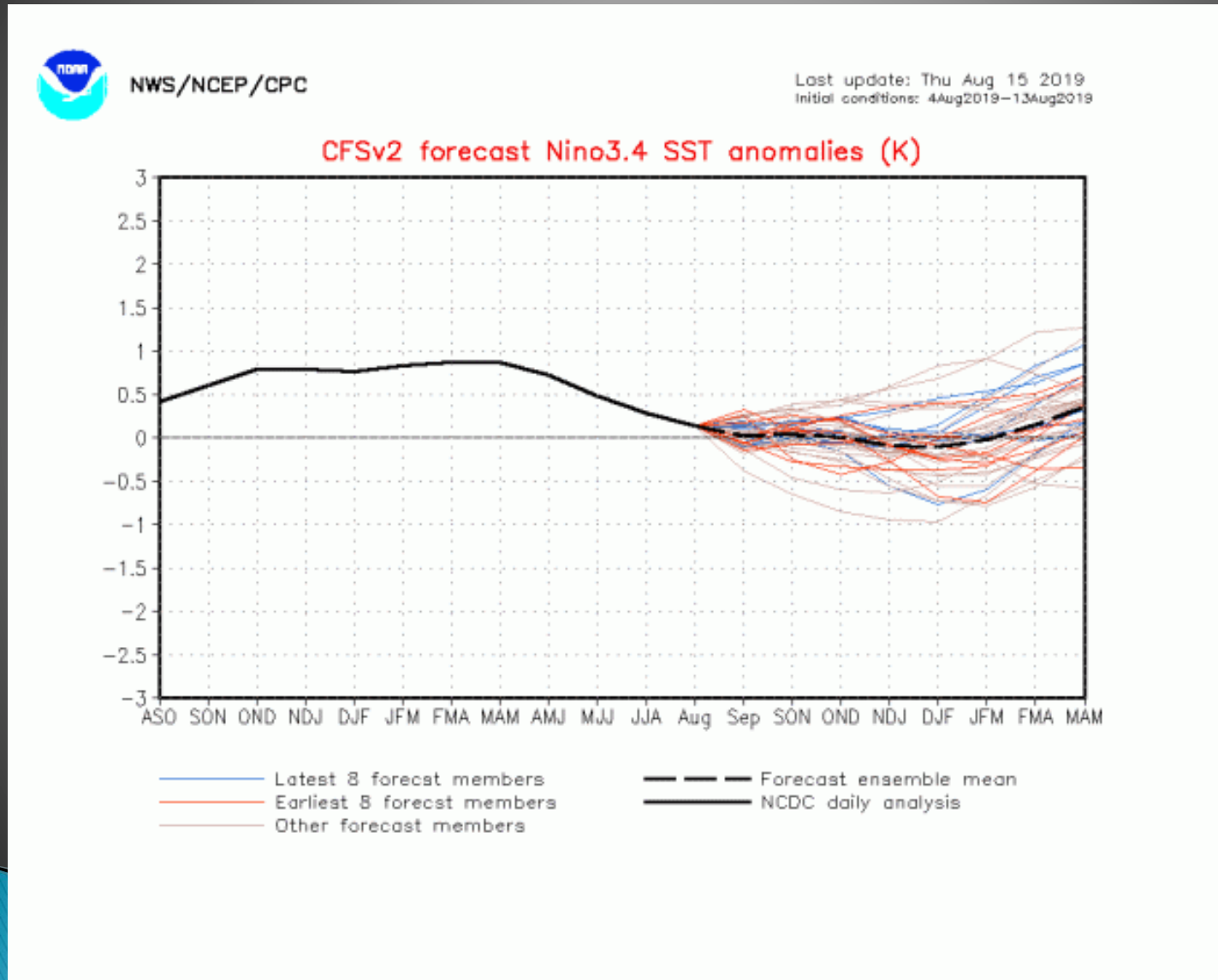
Seasonal Temperature (T2m) Anomalies valid for month: December 2019

Map processed by EFFIS System based on ECMWF Seasonal Forecast System (S5) initiated on 01 November 2019
Estimated deviation (anomaly) of the mean from model climate in Celsius degrees



Předpověď ENSO

(anomálie teploty hladiny moře rovníkového Pacifiku pomocí různých běhů modelů)



Velmi krátkodobá předpověď, (nowcasting)

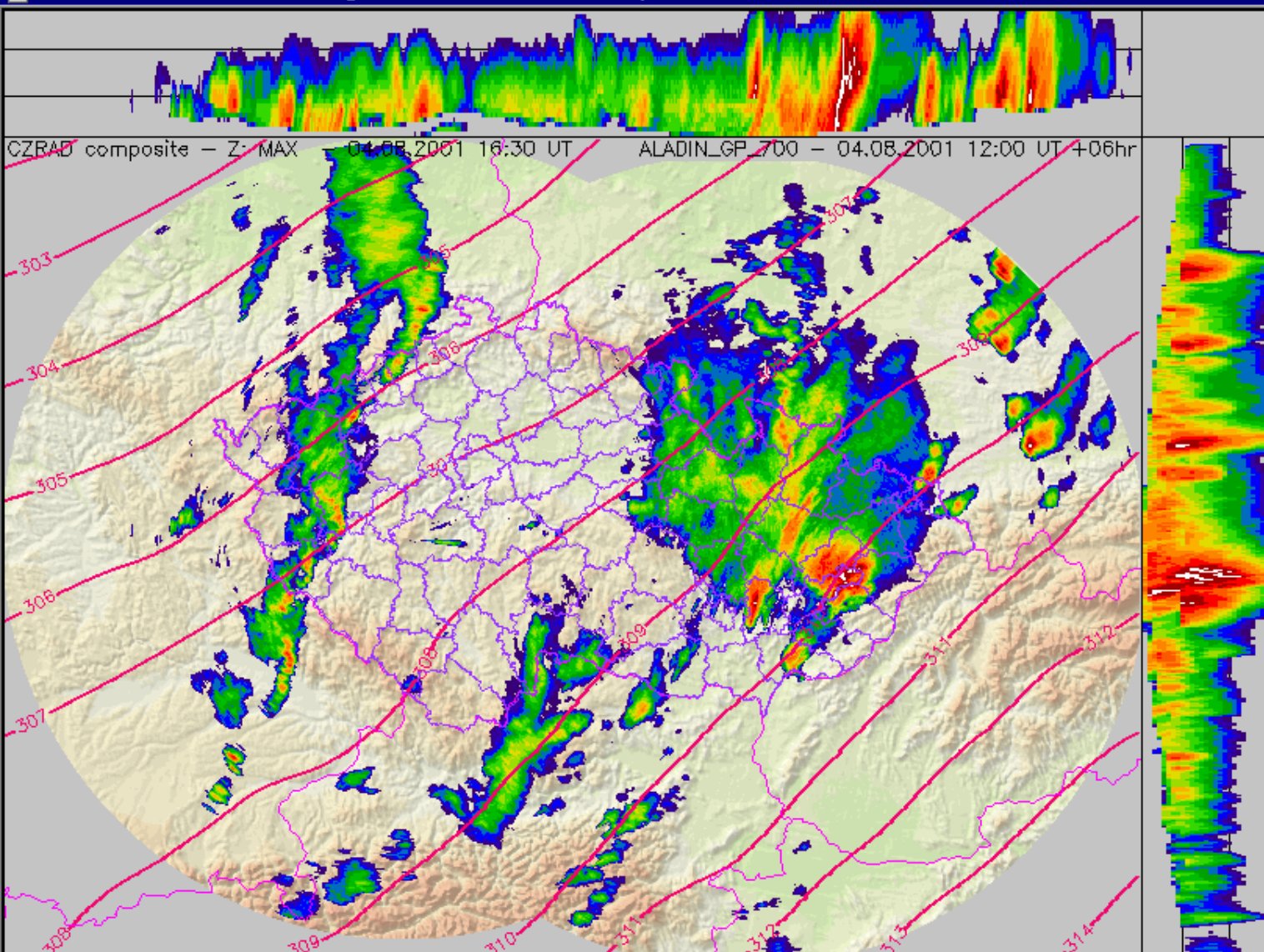
- ▶ předpověď na 0–12 hodin (nowcasting 0–2 h)
 - extrapolacní předpovědi; Nowcasting pro předpověď srážek je založen na detekci srážkově významné oblačnosti (radarem, družicí) a extrapolaci jejich pohybu pomocí vektoru větru z numerického modelu nebo podle jejich předchozího pohybu

Velmi krátkodobá předpověď, nowcasting

- Problémy: nerovnoměrnost (nelinearita) pohybu význačných oblaků, zejména konvektivních buněk; bouřky mohou vznikat a zanikat velmi rychle.
- Využitelný předstih předpovědi bouřek: do 30–60 minut, u větších komplexů bouřek hodiny

Integrace metod dálkové detekce a NWP modelů pro nowcasting

ČHMÚ: JS MeteoView



04.08.2001 16:30
04.08.2001 16:20
04.08.2001 16:10
04.08.2001 16:00
04.08.2001 15:50
04.08.2001 15:40
04.08.2001 15:30
04.08.2001 15:20
04.08.2001 15:10
04.08.2001 15:00
04.08.2001 14:50
04.08.2001 14:40

LOAD (96 / 96)

dBZ	°C
60.0	-90.0
56.0	-80.0
52.0	-70.0
48.0	-60.0
44.0	-50.0
40.0	-40.0
36.0	-30.0
32.0	-20.0
28.0	-10.0
24.0	
20.0	
16.0	- CG neg
12.0	+ CG pos
8.0	
4.0	CC

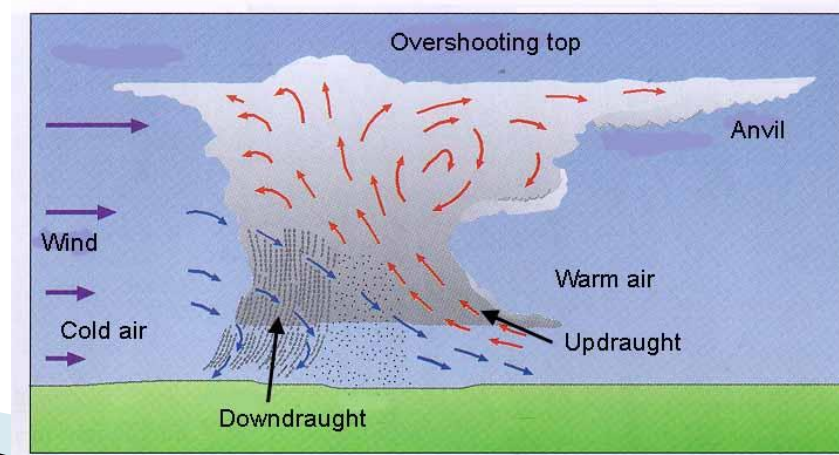
ANIM: 1 s/img LAST: +2 s AUTO UPDATE Do not update

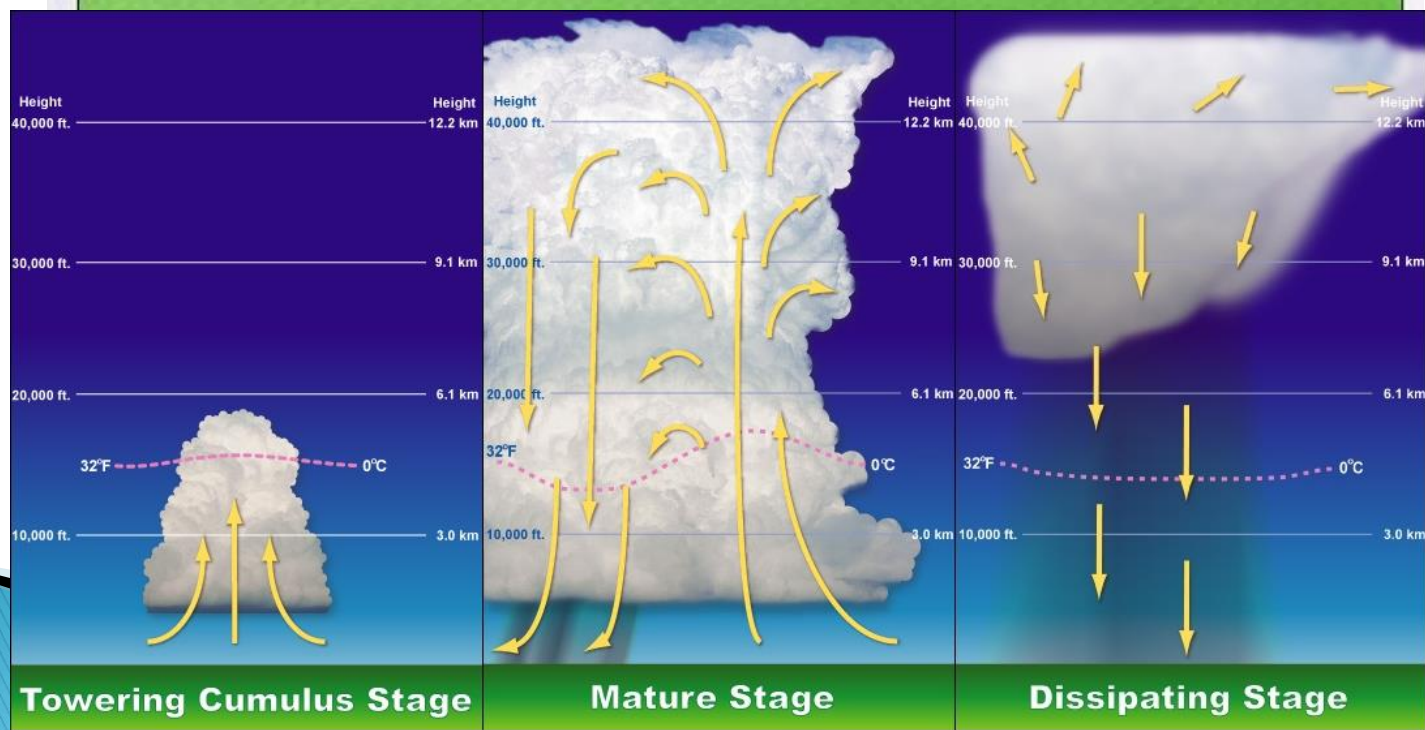
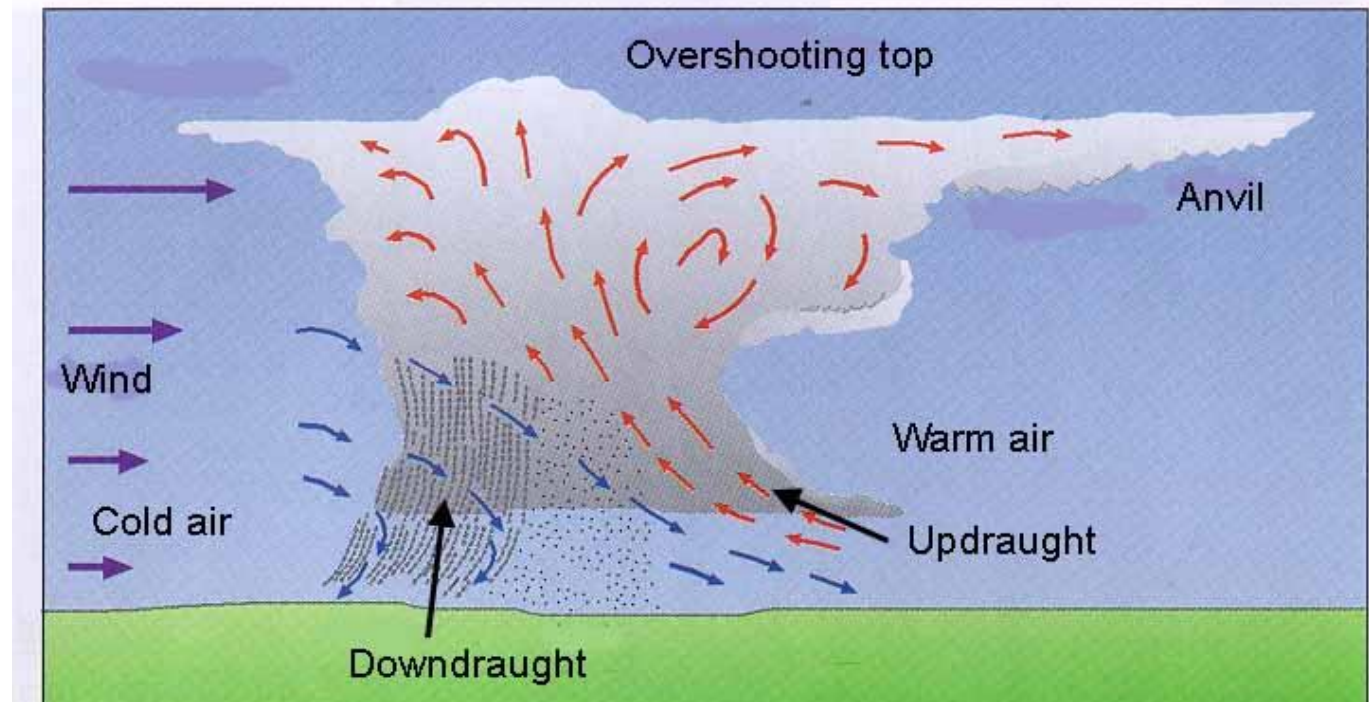
ORO col UND none PDUS RAD LIGHTNING NWP ALADIN GP_700 - 20010804 1200+06hr OVR dist

NAVIG. none LON: 14.447 LAT: 50.008 Choose predefined position

Konvektivní bouře, bouřky

Základem bouřky je lokální výstupný proud (na obrázku bude označen červeně), který „zavede“ teplejší vzduch do větších výšek, kde se ochladí a vlhkost v něm obsažená kondenzuje. Srážky při svém pádu „strhávají“ a ochlazují vzduch pod sebou a vytvářejí sestupný proud (modře). Ten se může při zemi projevit silnými nárazy větru (húlavou).





Vývoj bouřkového oblaku

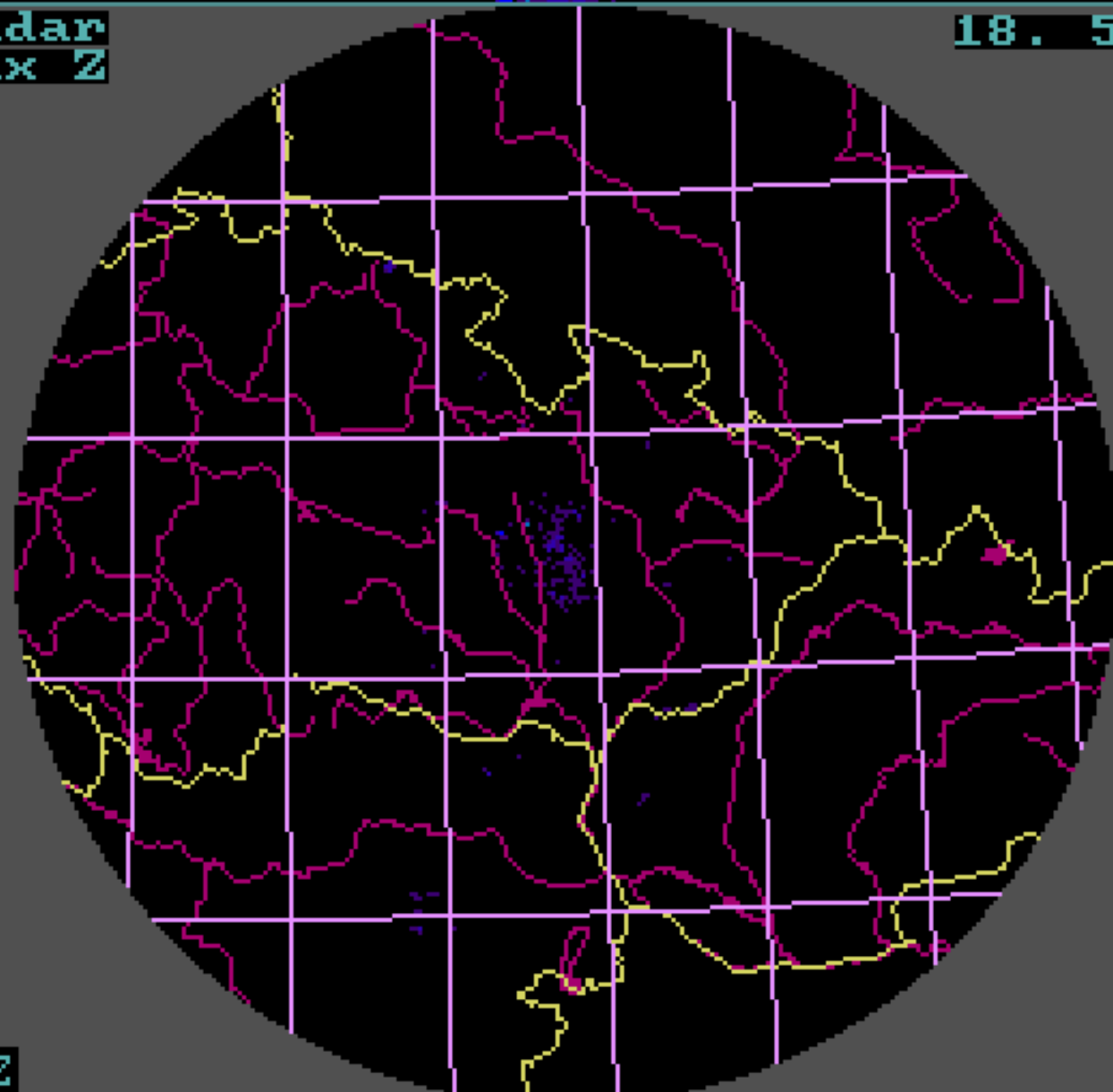
Vývoj bouřkového oblaku v oblasti Zlatých Hor (severního okraje Jeseníků); od počátku do plného rozvoje bouřkového oblaku uplynulo pouhých dvacet minut.

Radar
Max Z

18. 5. 96

Sk 09:20

60
56
52
48
44
40
36
32
28
24
20
16
12
8
4
dBZ



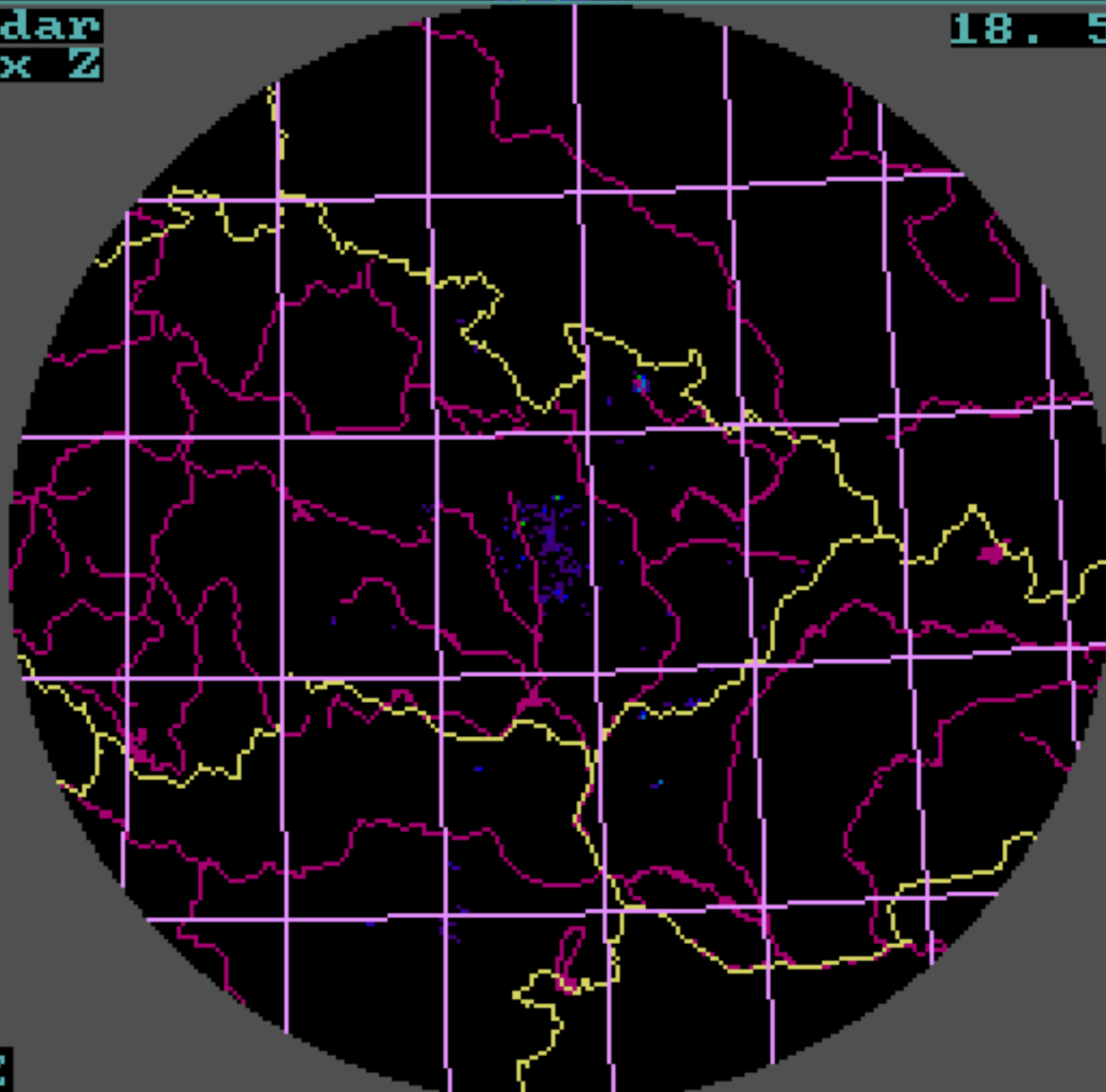
Radar
Max Z

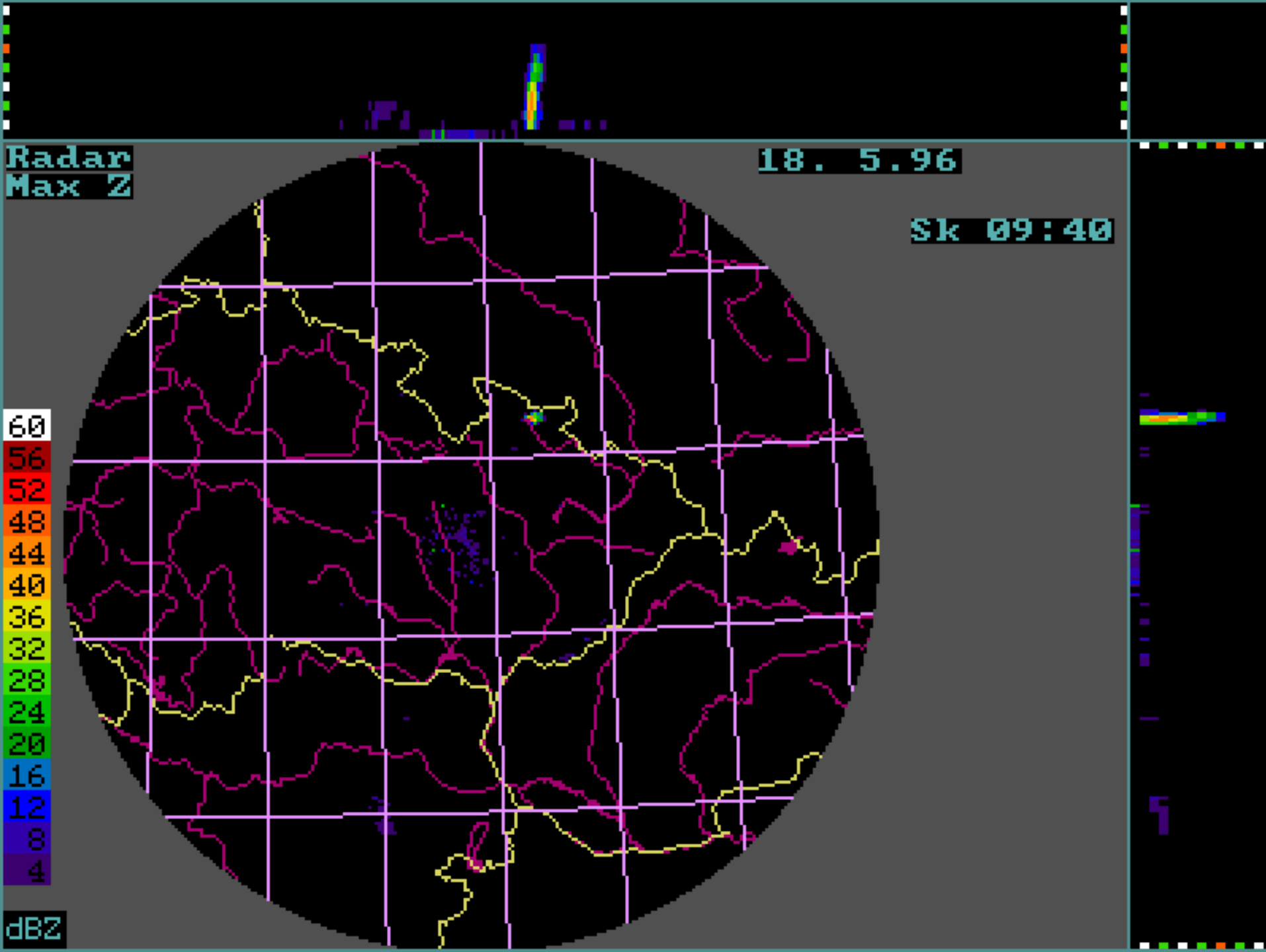
18. 5. 96

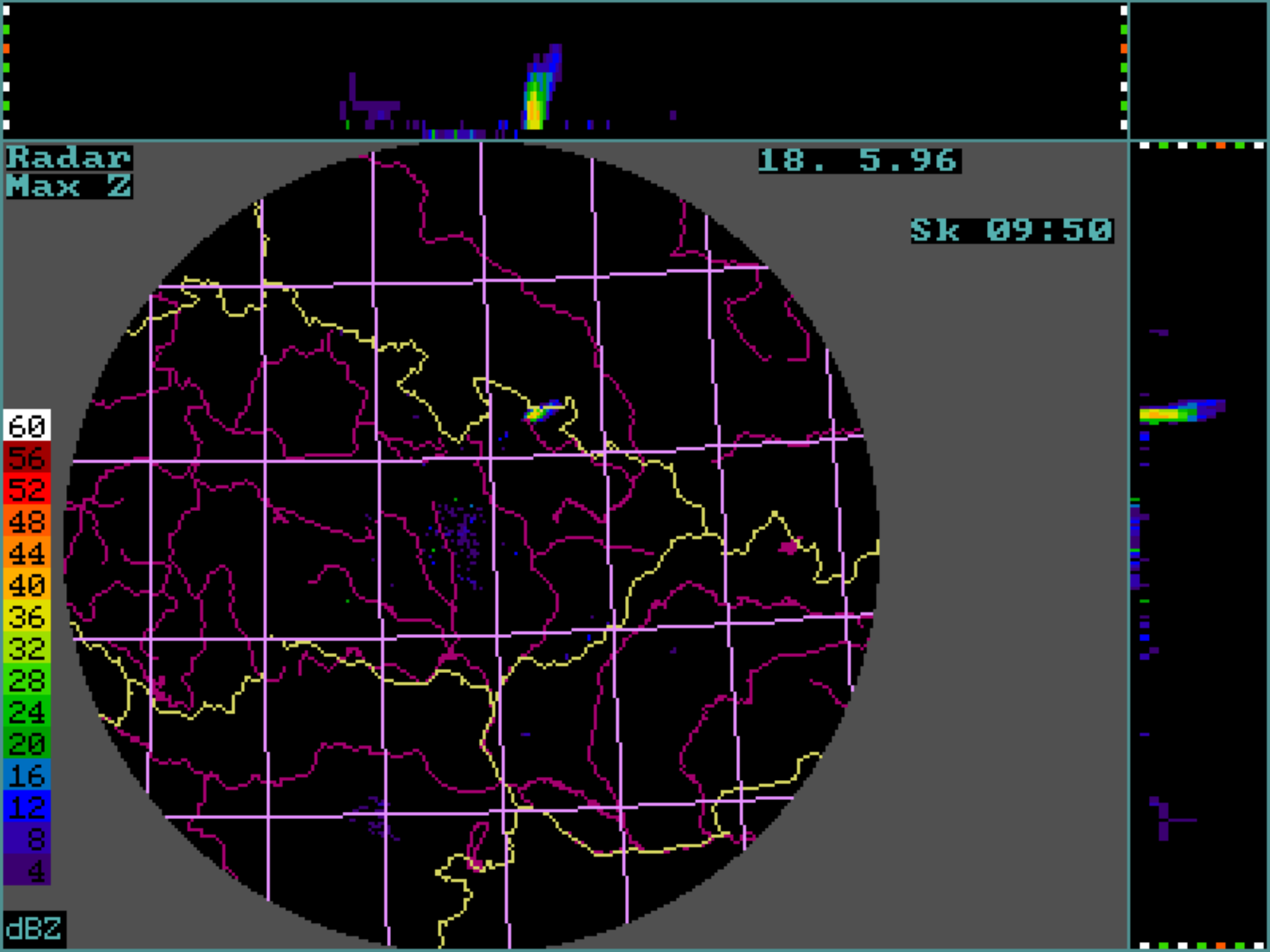
Sk 09:30

60
56
52
48
44
40
36
32
28
24
20
16
12
8
4

dBZ

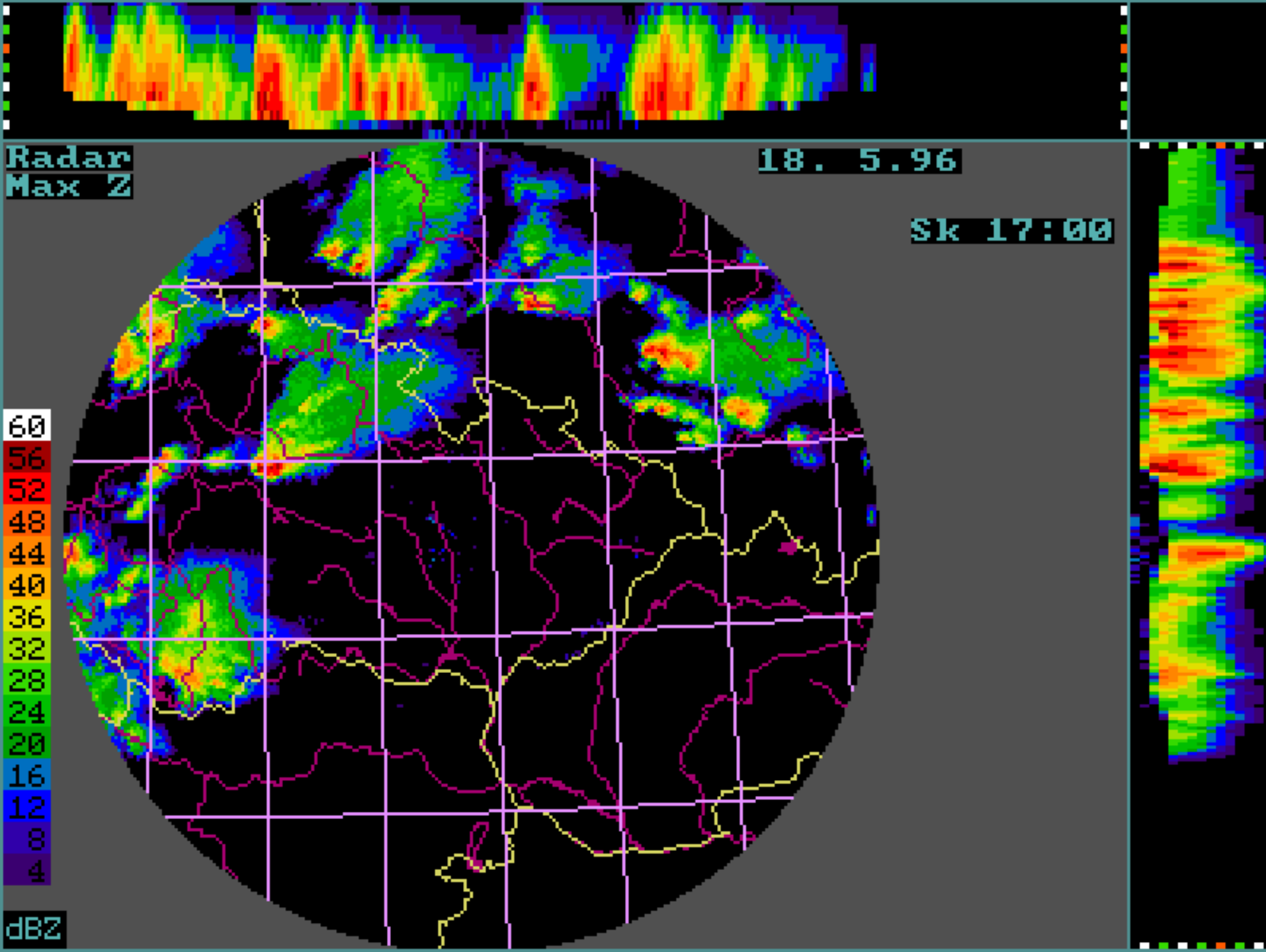


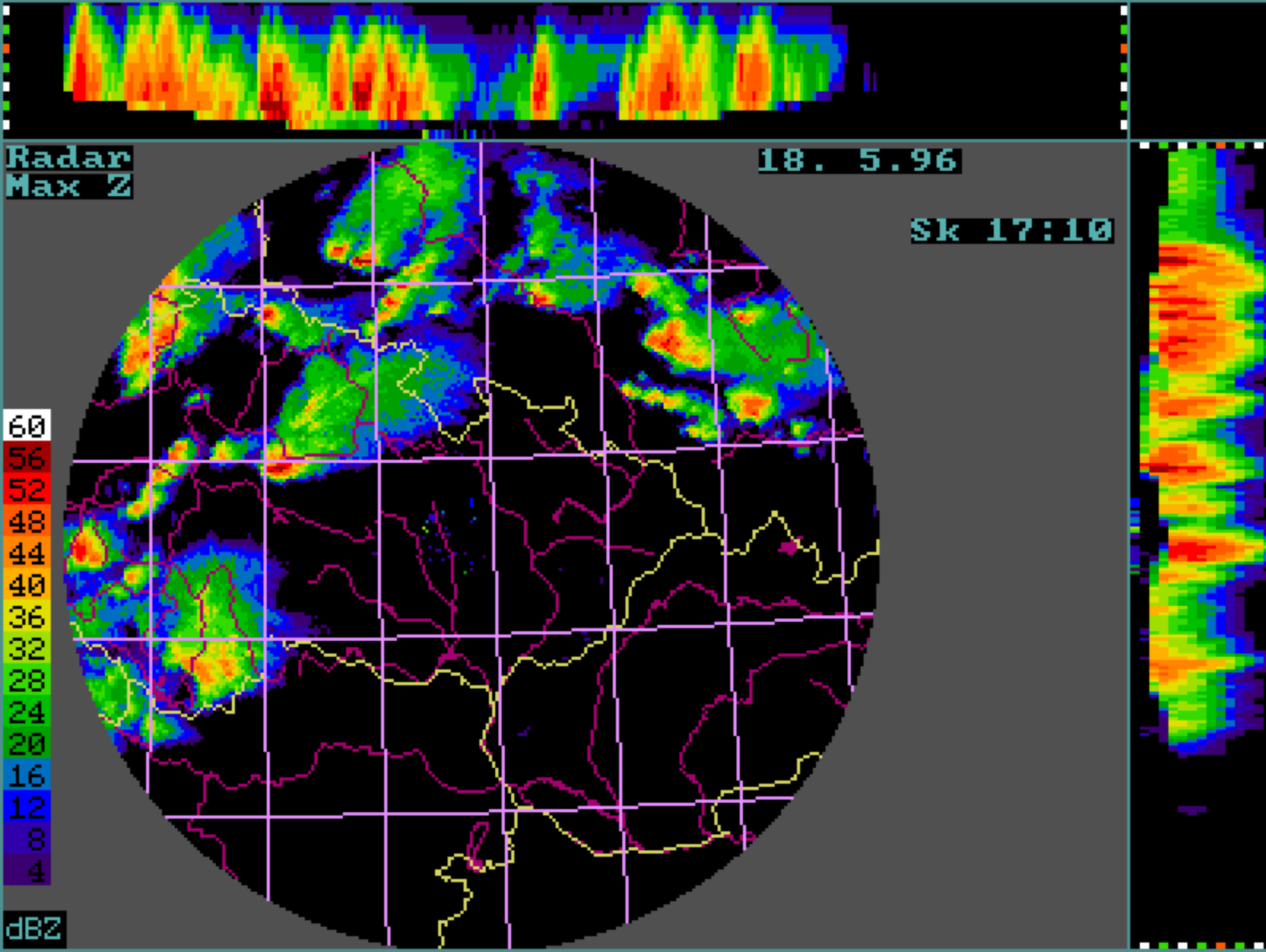


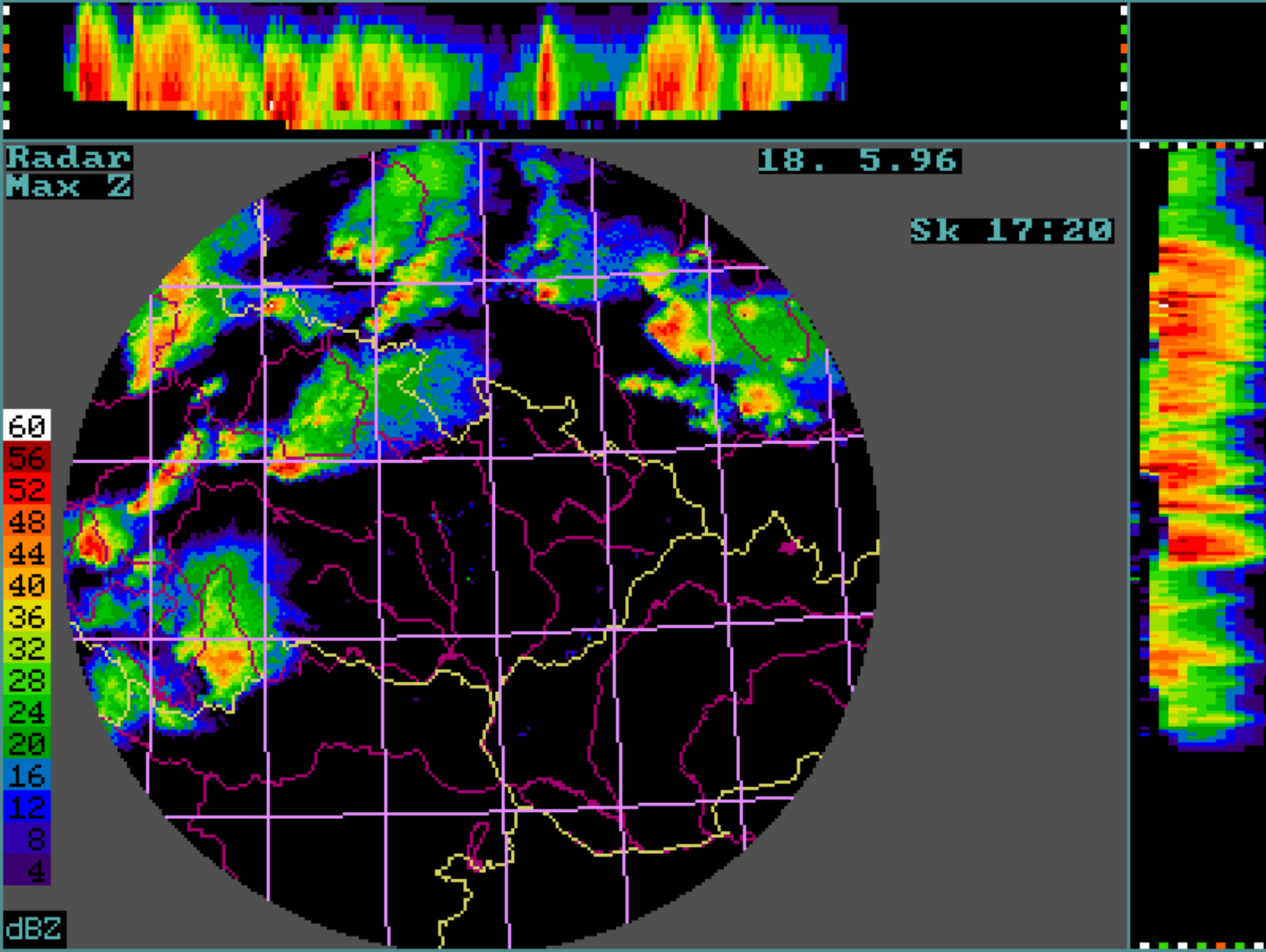


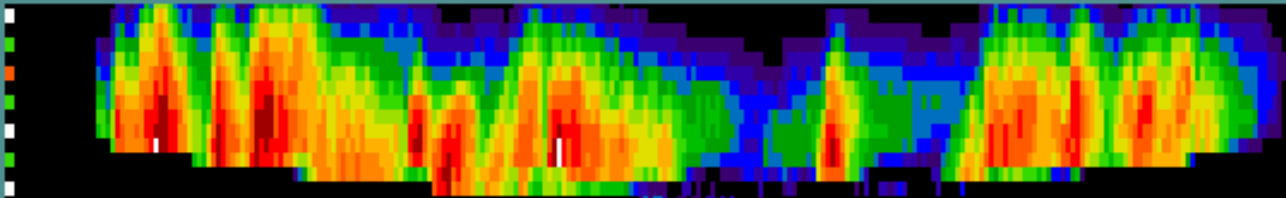
O několik hodin později:

Bouřkové buňky byly již dostatečně vyvinuté, jejich prediktabilita vyšší, jejich pohyb se v některých případech odchyloval od řídícího jihozápadního proudění:







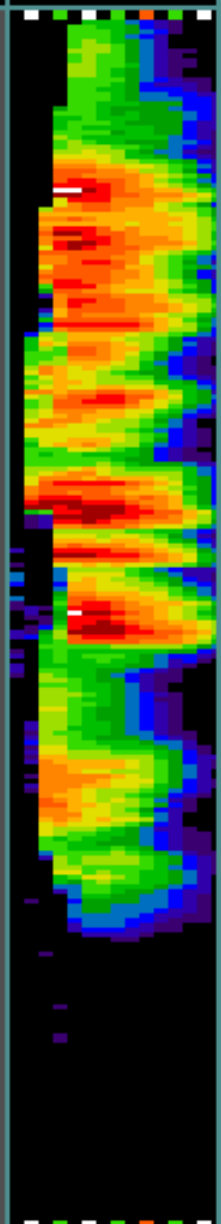
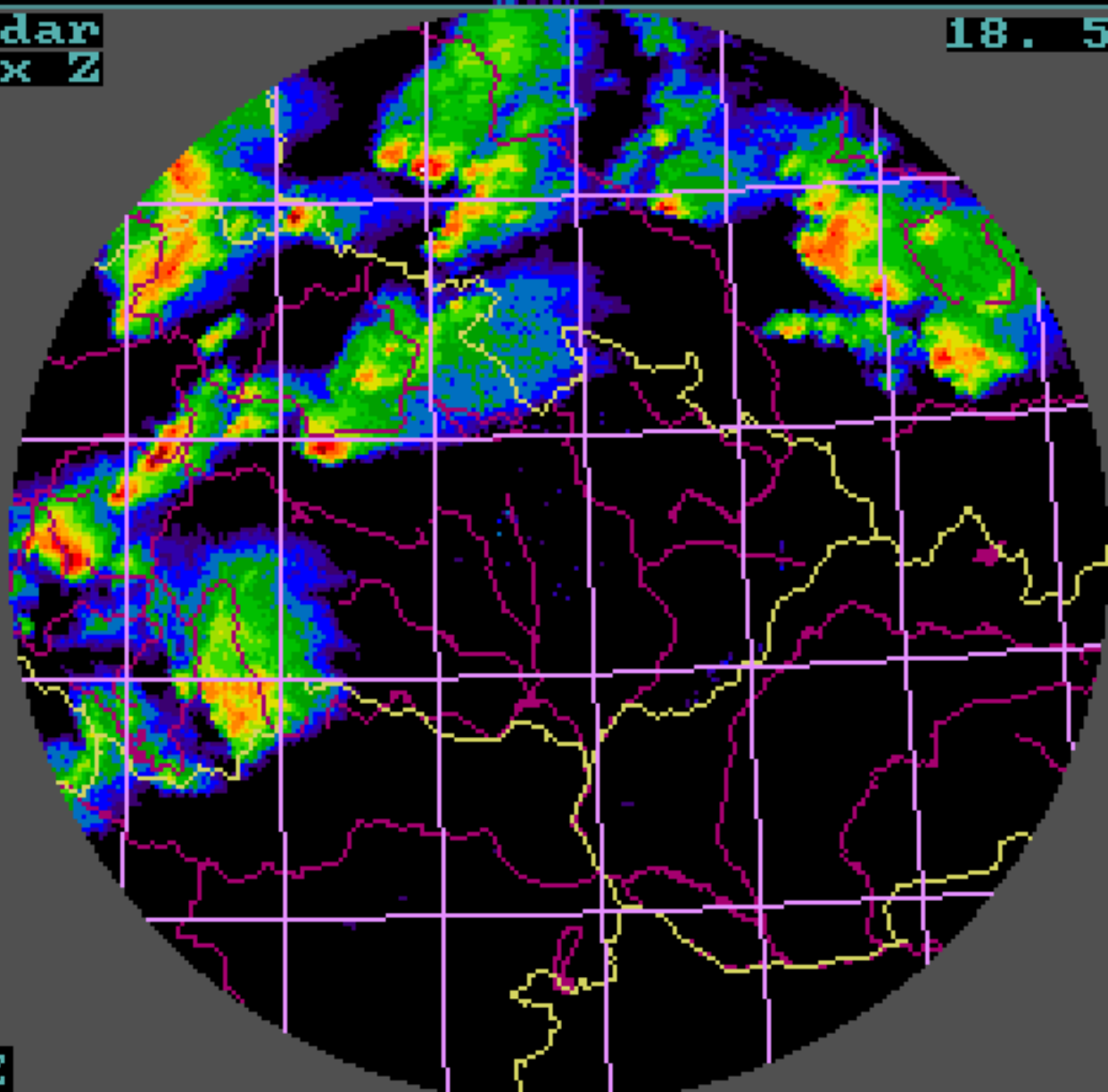


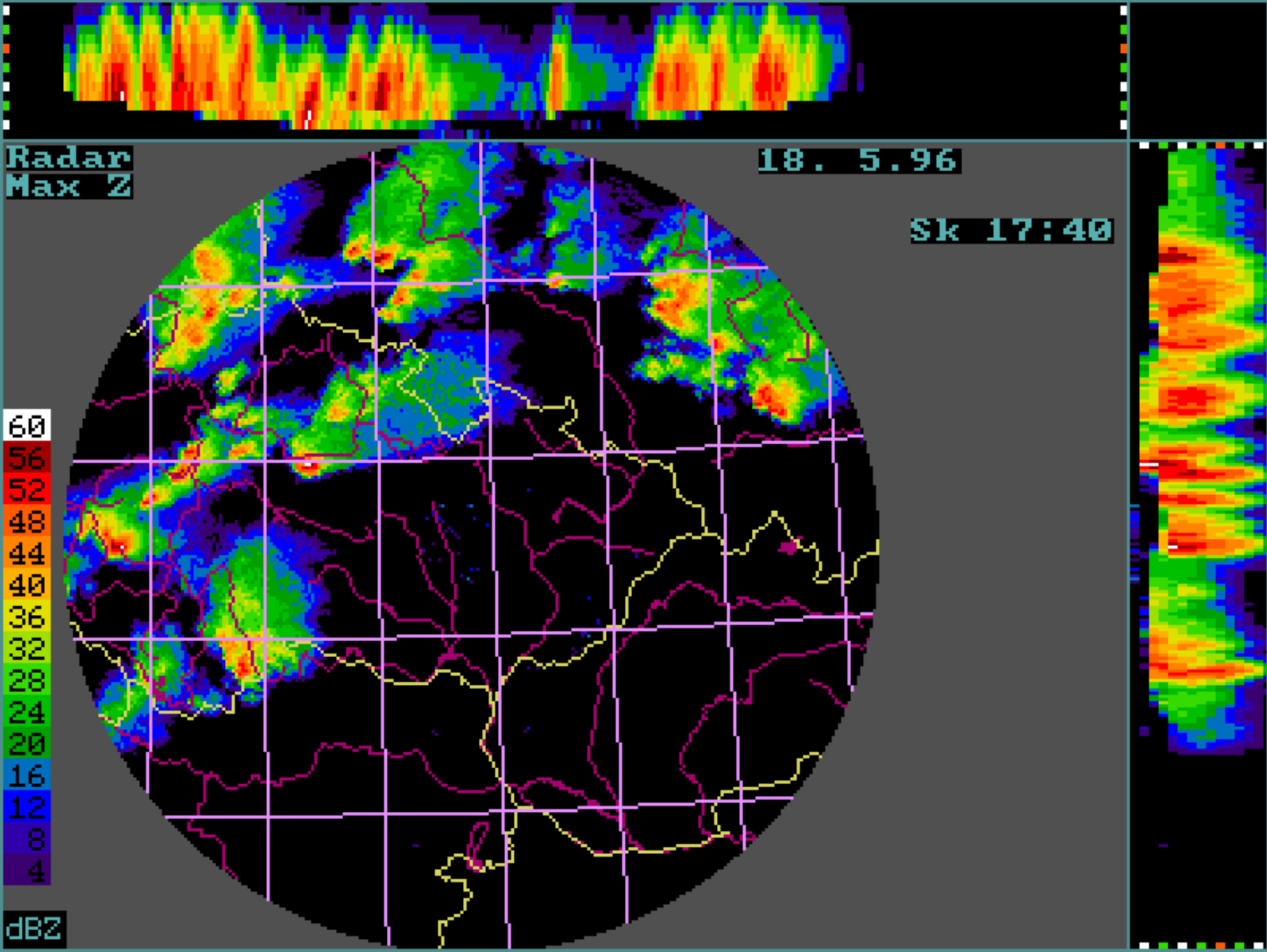
Radar
Max Z

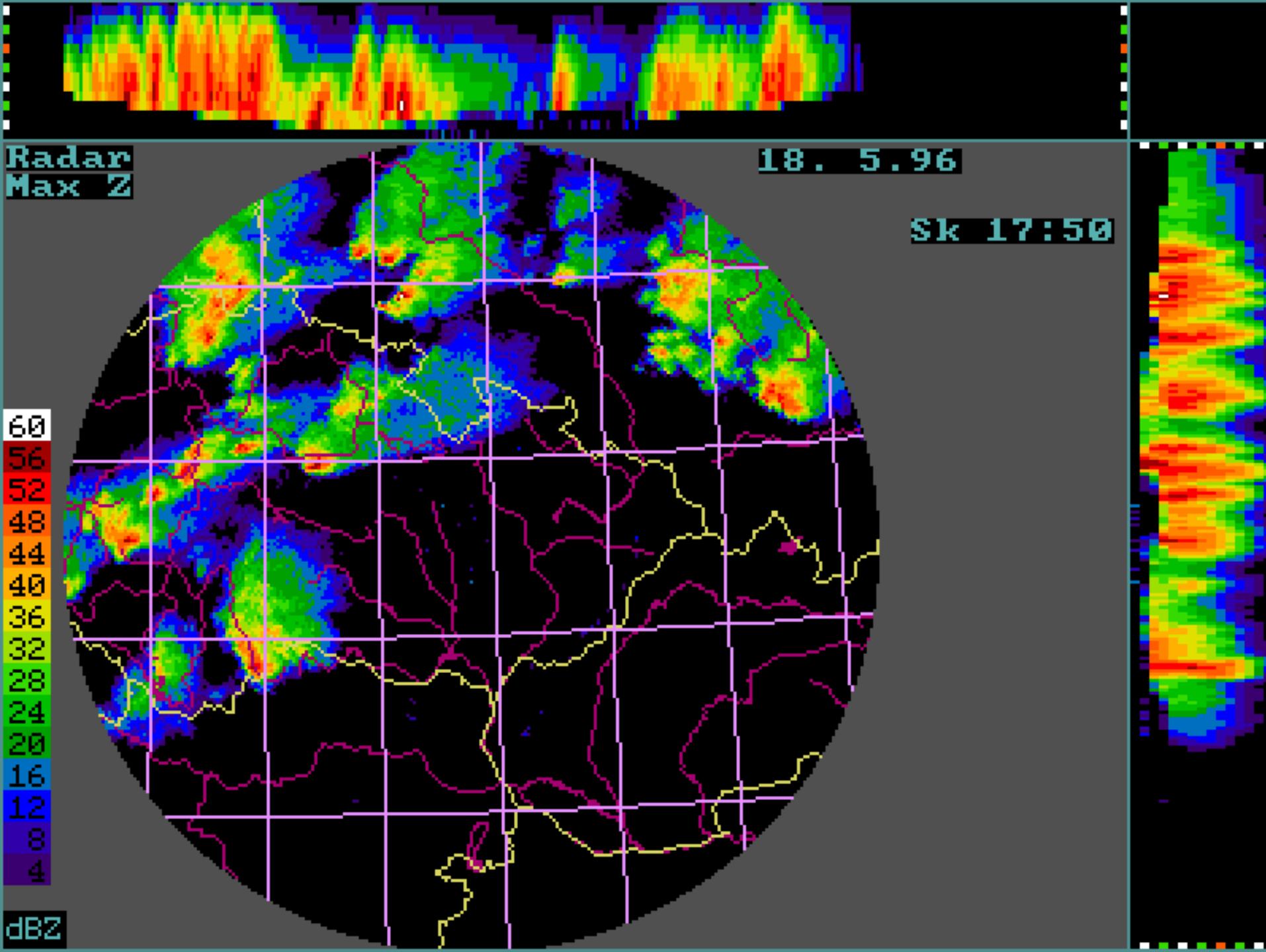
18. 5. 96

Sk 17:30

60
56
52
48
44
40
36
32
28
24
20
16
12
8
4
dBZ







Závěr – výhledy v oblasti meteorologie

- ▶ Trendem v meteorologii je nyní využívání více informačních zdrojů (např. radar+srážkoměr, radar+systémy detekce blesků apod.)
- ▶ Automatizace rutinních činností (robotizace duševní práce, nástup strojového účení)
- ▶ Rychlá aktualizace údajů, nowcasting
- ▶ Pravděpodobnostní výstupy
- ▶ Přechod na místní předpovědi, vliv používání chytrých telefonů a tabletů

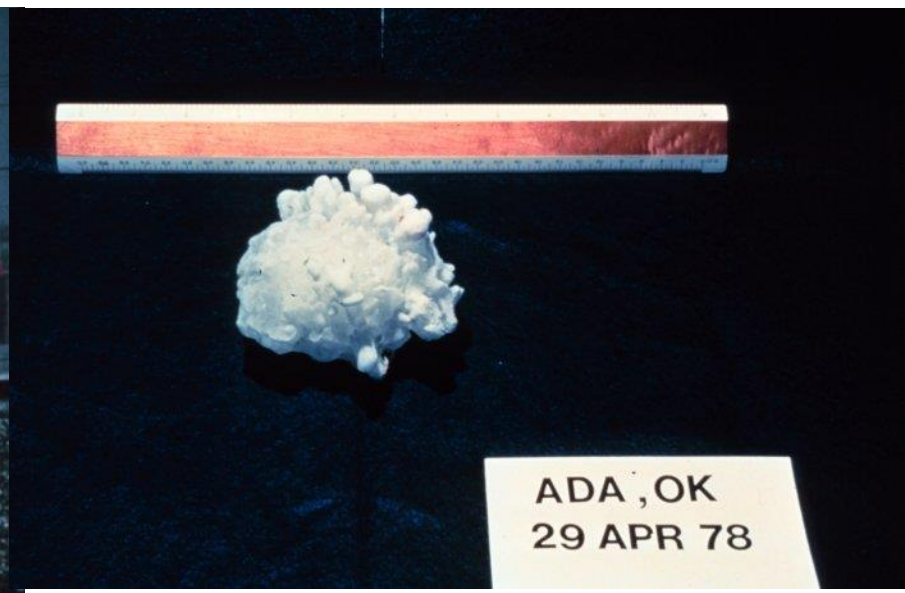
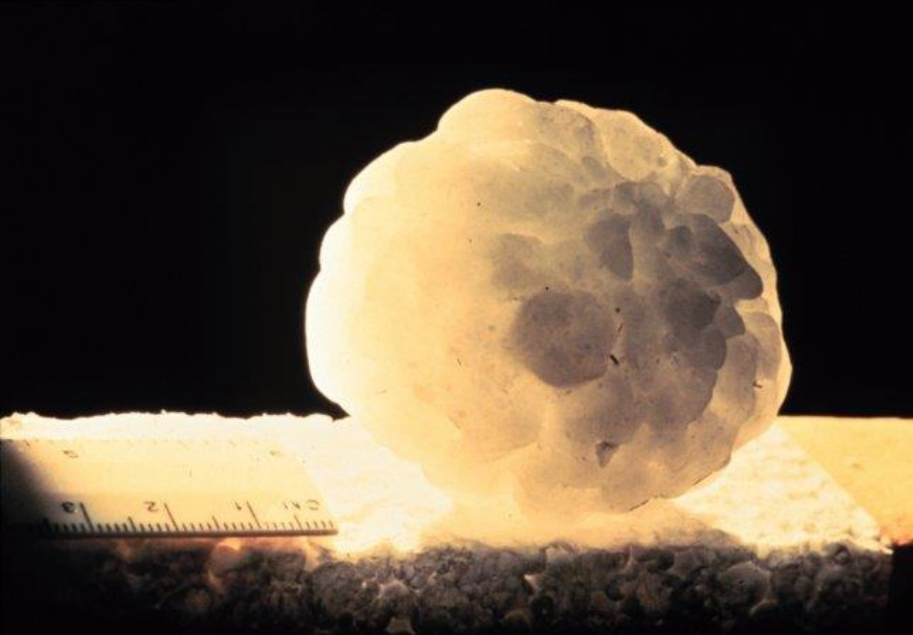
Zajímavosti

Silné bouřky

Následují obrázky krup ze 30.6.1997 u Žďáru nad Sázavou a jejich následků.







Tornáda

- ▶ Tornáda jsou atmosférické víry o typickém rozměru několik **desítek m až stovek m**. Vznikají při silných bouřích v oblastech subtropů a mírných šířek. Nejvíce tornád na km^2 je hlášeno z **Velké Británie**, ale nejsilnější tornáda vznikají v oblasti **Spojených států amerických**.





S 55.

Čertíci, rarášci

- ▶ Malý (a většinou neškodný) příbuzný tornád je tzv. čertík (=rarášek), což je vír s vertikální osou vznikající za málo oblačné oblohy v jarních, případně letních měsících, kdy se přehřátý vzduch z přízemních vrstev atmosféry „zavrtává“ do horních chladnějších vrstev.





Tornáda v České republice?

Ano, též u nás se tornáda vyskytují, ale naštěstí většinou nejsou příliš silná. Přesto mohou způsobit velké škody, jak ukáží další snímky. První dva snímky se týkají tornáda v Lanžhotě 26.5.1994, další popisují následky tornáda v polesí Teplá (západní Čechy) 21. 7. 1998.



Tornádo u Světlé nad Sázavou 31. 5. 2001



A photograph capturing a dramatic sky during a storm. The upper portion of the image is dominated by a massive, dark, and turbulent cumulonimbus cloud. Below this, a bright, white, and textured layer of clouds is visible, suggesting a lightning strike or a very bright part of the storm. The horizon line shows a dark silhouette of trees and possibly a body of water or a flat landscape. In the top right corner, there are faint, diagonal lines that appear to be power or telephone wires.

Tornádo u
Světlé nad
Sázavou 31. 5.
2001



31. května 2001

video závěrečné fáze tornáda, savé víry







Martin Setvák



Martin Setvák



konec dubna 2004 - tři roky „poté“...











Tornádo u Brna 20. 7. 2002



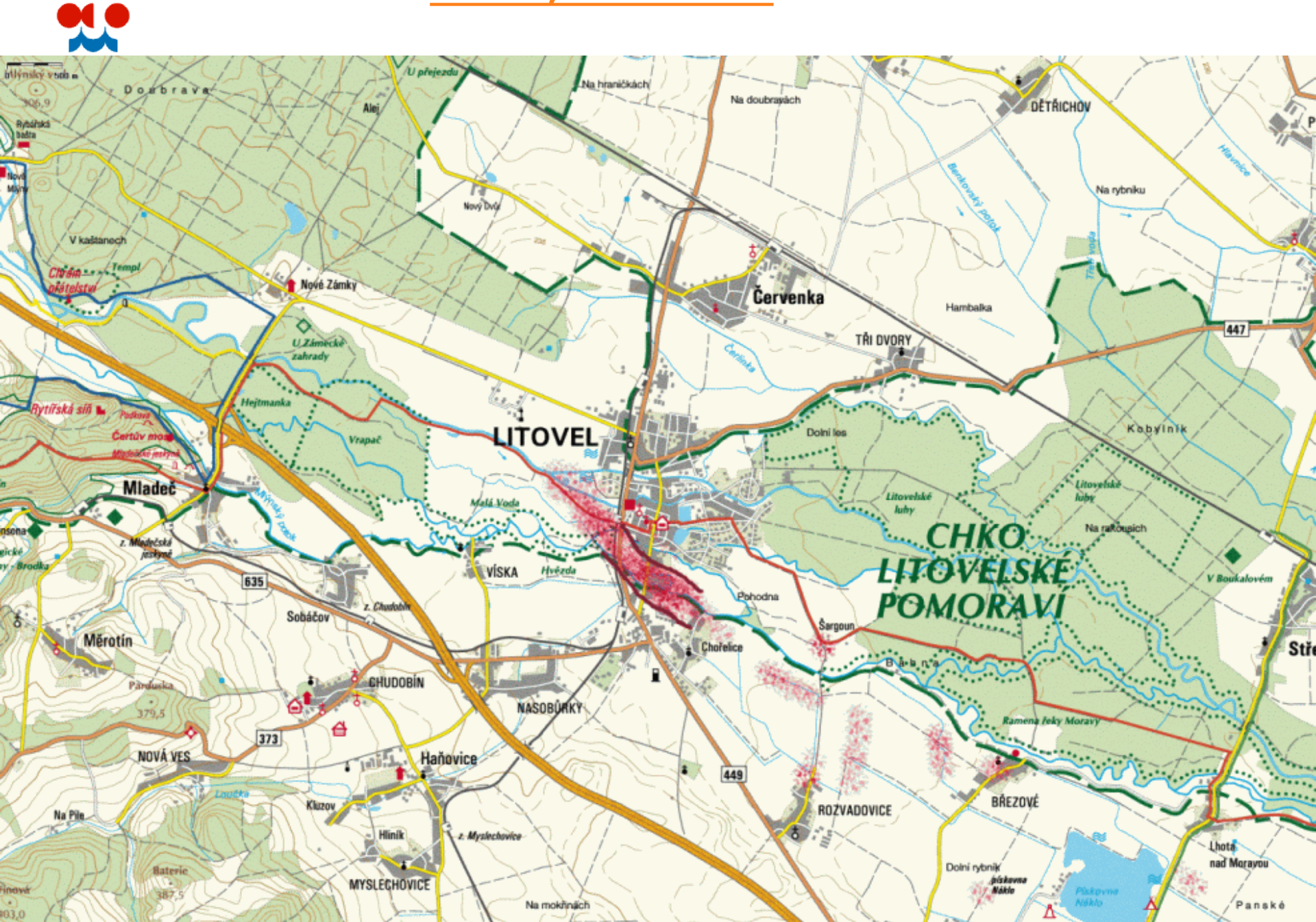
Tornádo u Brna 20. 7. 2002



Tornádo 19. dubna 2000 u obce Studnice, okres Vyškov

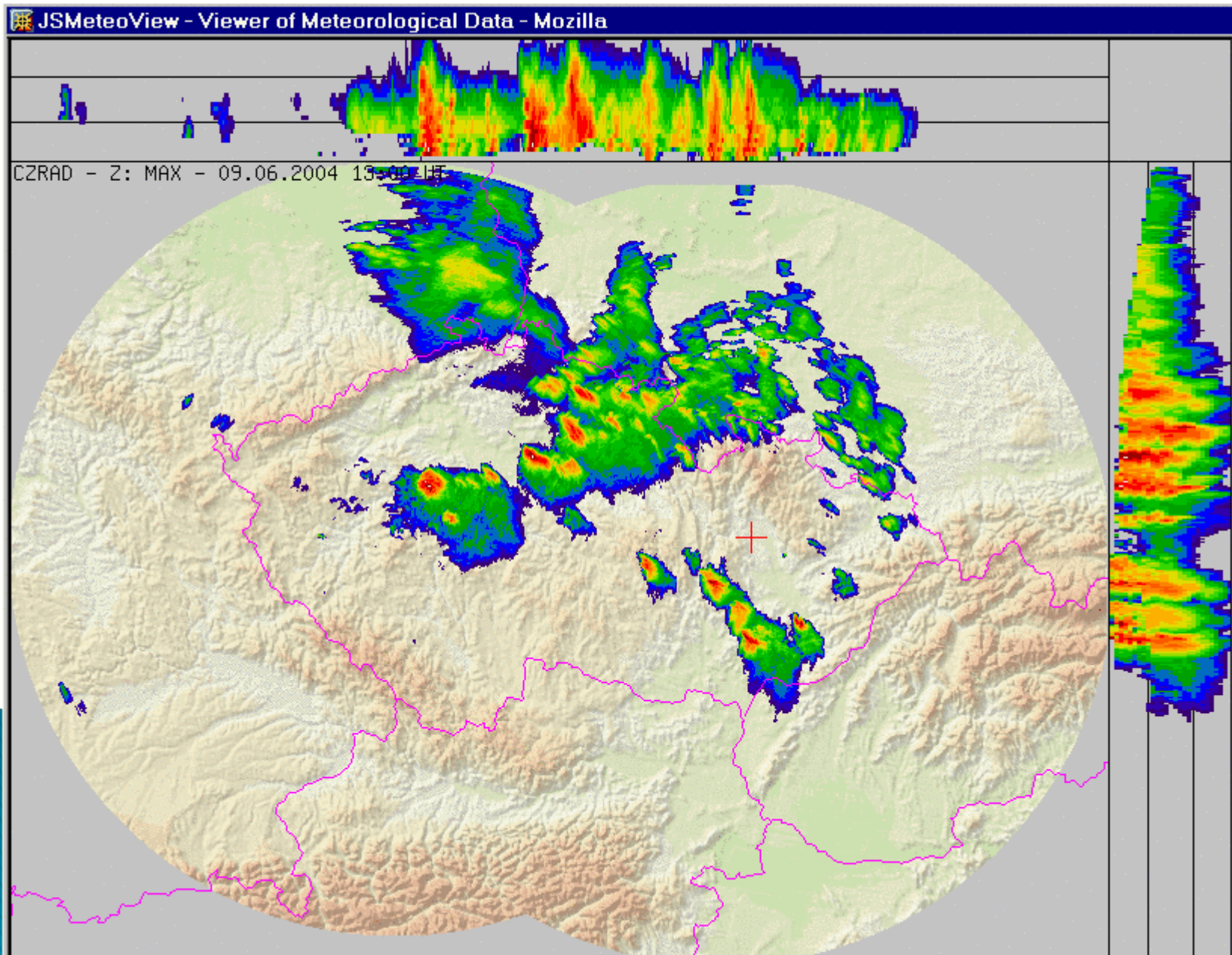


Litovel, 9. 6. 2004





Litovel, 9. 6. 2004





Litovel, 9. 6. 2004





Litovel, 9. 6. 2004





Litovel, 9. 6. 2004



Předpovědi tornád

Předpověď tornáda je jeden z nejsložitějších úkolů meteorologie. V praxi se děje pouze u povětrnostní služby USA, která využívá vysoce výkonné dopplerovské radary detekující radiální složky proudění v měřítku stovek metrů. Takto se podařilo detektovat pravděpodobný vznik tornáda a varovat veřejnost v Oklahomě 3.5.1999 20–30 minut před vlastním příchodem ničivého víru.



Tornadoes in the United States

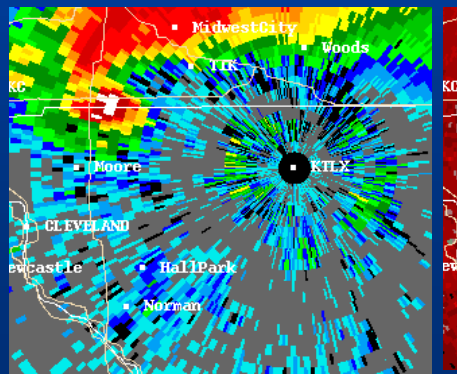
On May 3rd 1999 an F-5 tornado struck Oklahoma City

-2 km wide

-500 km/hr doppler measured winds near the surface

-42 deaths

-7000 homes destroyed



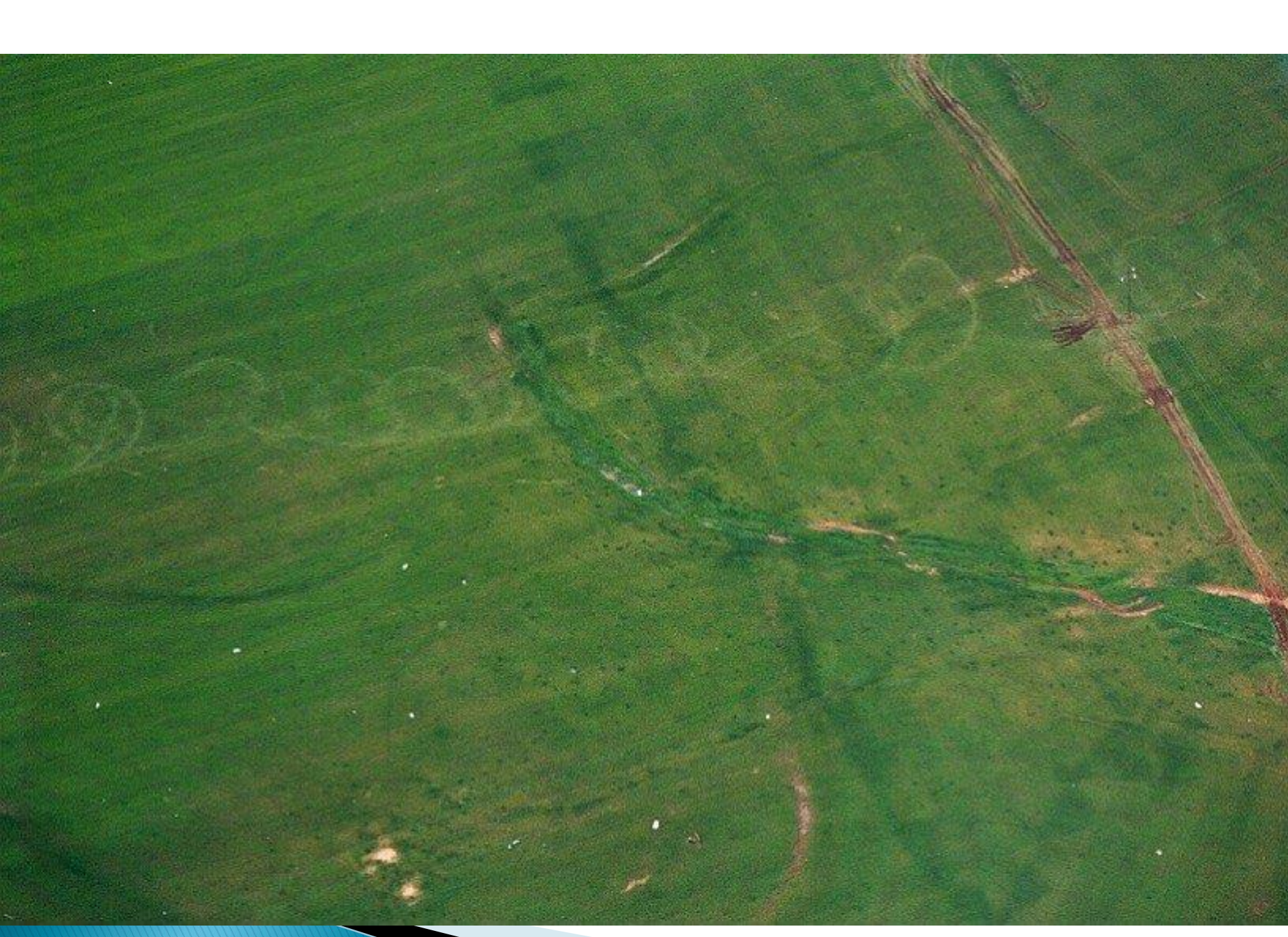








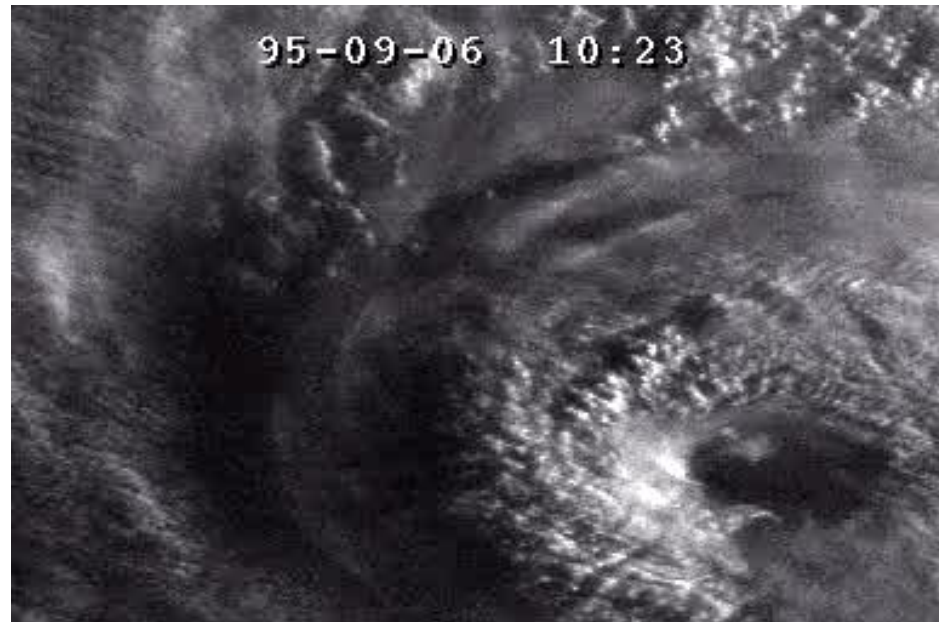
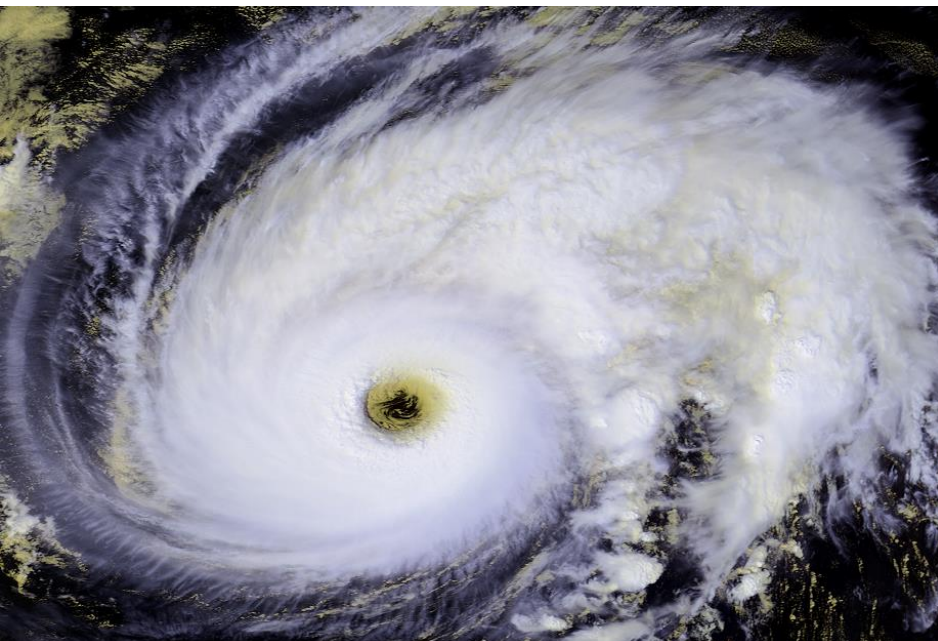




Tropické cyklóny

Velikost: stovky km

Trvání: několik dnů



Karibik: hurikán

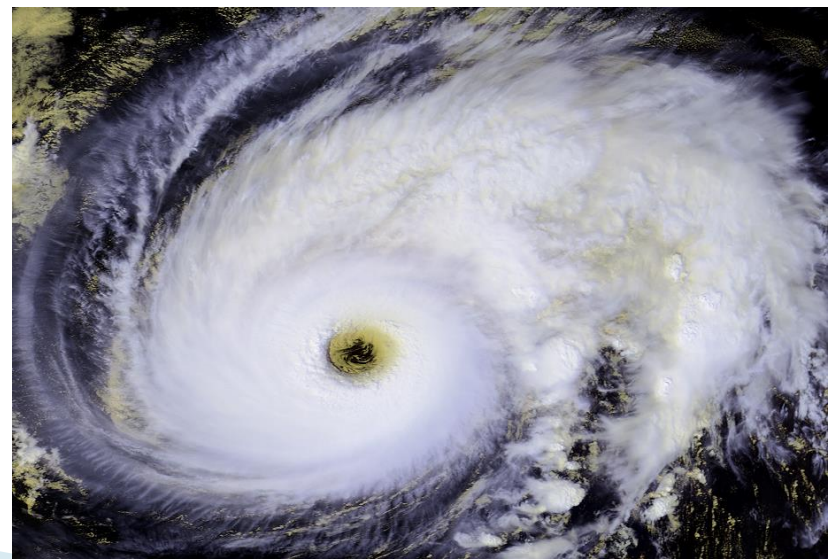
Pacifik: tajfun

Tropické cyklóny

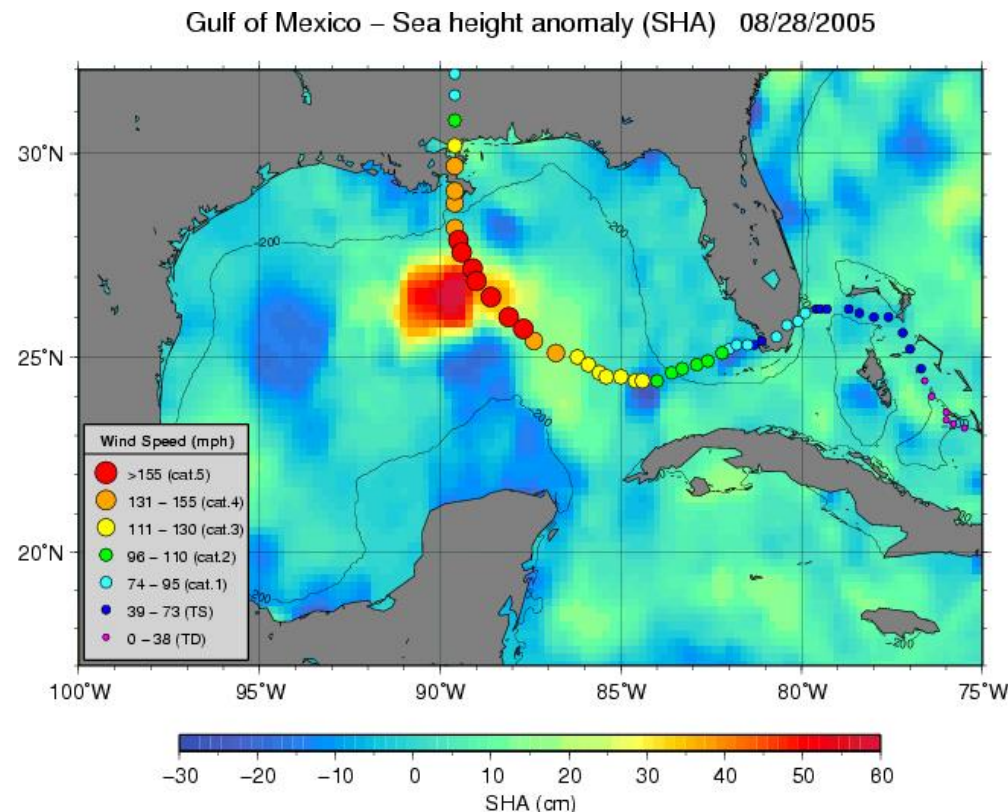
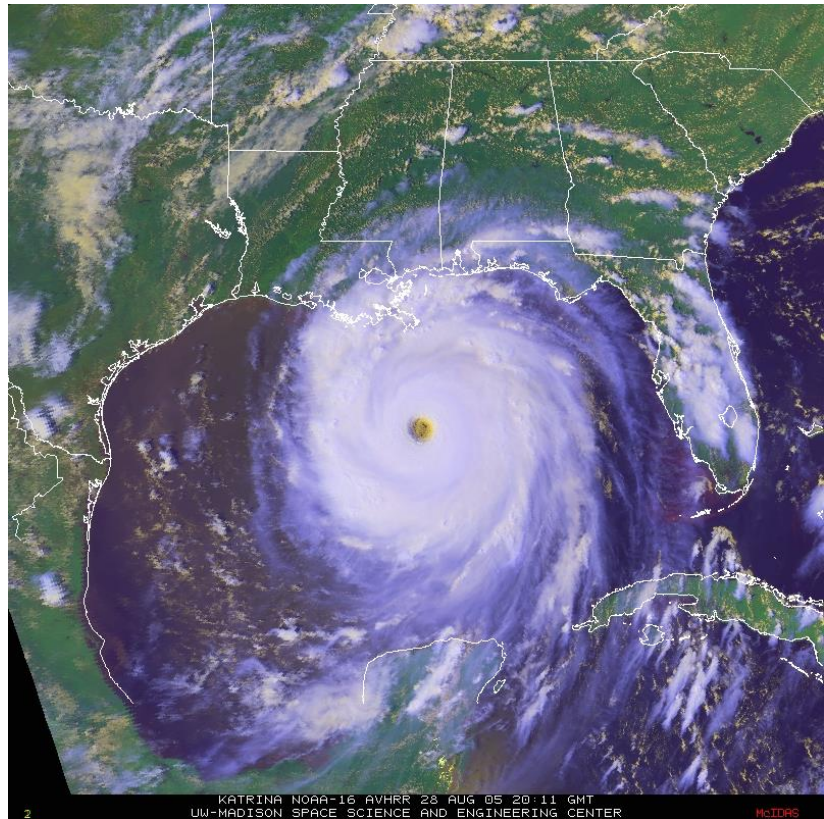
Vznikají v subtropických mořích při teplotě povrchu oceánu nad 26 st. a ohrožují zejména oblasti Karibského moře a tropického Pacifiku i oblasti Afriky.

Indický oceán: cyklon

Austrálie: willy-wily



Hurikán Katrina



Oko hurikánu Katrina

